

VŠST Liberec		Katedra	KTP
Fakulta textilní	Barevné žákárové vzory	DP	str. 1

Autor práce : Jana Guthová
VŠST Liberec, fakulta textilní,
V. ročník.

Specializace: Pletení - oděvnictví

Název práce : Barevné žákárové vzory

Vedeoucí práce: Prof.ing. František Pompe

Konzultant : Ing. Radko Kovář

Počet stran : 85
Počet obrázků : 78
Počet tabulek : 31
Počet příloh : 7

Vysoká škola: strojní a textilní

Katedra: tkalcovství a pletářství

Fakulta: textilní

Školní rok: 1972/73

DIPLOMOVÝ ÚKOL

pro Janu Guthovou

obor 3111-8 Technologie textilu, kůže, gumy a plastických hmot

Protože jste splnil požadavky učebního plánu, zadává Vám vedoucí katedry ve smyslu směrnic ministerstva školství o státních závěrečných zkouškách tento diplomový úkol:

Název tématu: Barevné žákárové vzory .

Pokyny pro vypracování:

- 1/ Proveďte zhodnocení nejdůležitějších typů barevných žákárových vzorů z hlediska vazby a vlastnosti vzorových úpletů i z hlediska výrobního a ekonomického.
- 2/ Navrhňte a vyvzorujte na stroji se stacionárním žákárem v dílnách VŠST skupinu vzorů v provedení:
 - a) jednolící podkládaná
 - b) šestizámková s hladkým rubem
 - c) oboulící s podkládaným lícemVzorky volte tak, aby bylo možné sledovat změny vlastností s ohledem na rozměry barevných ploch v obou směrech.
- 3/ Zjistěte experimentálně nejdůležitější vlastnosti vyvzorovaných úpletů a porovnejte je s teoretickými závěry kapitoly 1.

*Autorizace psárci so řidičem směrnicí MŠMT pro zkoušku
závěrečné zkoušky č. I-31/72, 3111/2 ze dne
31.8.1982 s 15 experimentálními úplaty v rámci zkoušky
31.8.1982 s 15 experimentálními úplaty v rámci zkoušky č. 115/53/54*

V 69/1973 T

**VYSOKÁ ŠKOLA INDUSTRY A TECHNIKY
Ustřední knihovna
LIBEREC I. STUDENTSKÁ 5**

O B S A H

- I. Úvod
- II. Přehled barevných žákárových vzorů
 - 1. Rozdělení
 - 2. Návrh vzorů
 - 2.1. Vazba dvoubarevná jednolící podkládaná
 - 2.2. Vazba dvoubarevná oboulicní s podloženým lícem
 - 2.3. Vazba dvoubarevná šestizámková s hladkým rubem
- III. Rozbor vlastností pletenin
 - 1. Mechanicko - fyzikální vlastnosti
 - 1.1. Pevnost
 - 1.1.1. Pevnost dvoubarevné jednolící podkládané pleteniny
 - 1.1.2. Pevnost dvoubarevné oboulicní pleteniny s podloženým lícem
 - 1.1.3. Pevnost dvoubarevné šestizámkové pleteniny s hladkým rubem
 - 1.2. Tažnost
 - 1.2.1. Vymezení definice tažnosti pletenin
 - 1.2.1.1. Směrová působnost zatěžujících sil
 - 1.2.1.2. Velikost tahového namáhání a jeho časový průběh
 - 1.2.2. Tažnost směrová ε_s , ε_y
 - 1.2.2.1. Stanovení tažnosti obecné pleteniny
 - 1.2.2.2. Tažnost dvoubarevné jednolící podkládané pleteniny
 - 1.2.2.3. Tažnost dvoubarevné oboulicní pleteniny s podloženým lícem
 - 1.2.2.4. Tažnost dvoubarevné šestizámkové pleteniny s hladkým rubem
 - 1.3. Pružnost
 - 1.3.1. Vymezení definice pružnosti
 - 1.3.2. Vymezení podmínek zkoušení
 - 1.3.2.1. Velikost zatěžující síly
 - 1.3.2.2. Způsob zatěžování a odlehčování vzorku v časové závislosti

VŠST Liberec	Barevné žakárové vzory	Katedra KTP
Fakulta textilní		D P str. 5

- 1.3.3. Vlastní měření
 - 1.3.3.1. Podmínky měření
 - 1.3.3.2. Velikost a tvar vzorku
 - 1.3.3.3. Způsob měření
- 1.4. Váha 1 m²
 - 1.4.1. Dvoubarevná jednolící podkládaná pletenina
 - 1.4.2. Dvoubarevná oboulící pletenina s podloženým lícem
 - 1.4.3. Dvoubarevná šestizámková pletenina s hladkým rubem
- 1.5. Tuhost
 - 1.5.1. Vymezení definice tuhosti
 - 1.5.2. Měření tuhosti
- 1.5.2.1. Velikost a tvar vzorku
- 1.5.2.2. Způsob měření
- 2. Užitkové vlastnosti
- 3. Ekonomické vlastnosti

IV. Zhodnocení barevných žakárových vzorků z hlediska výrobního a ekonomického

- 1. Výpočet strojního času na upletení 1 kg úpletu
- 2. Výpočet výkonu **stroje za směnu**
- 3. Výpočet nákladů na upletení 1 m² úpletu

V. Závěr

Seznam použité odborné literatury.

1. Skripta VŠST
 ing. Vl. Kočí
 Teorie pletení
2. Výzkumná zpráva
 ing. Vl. Kočí
 Tažnost, pružnost a únava pletenin
3. A. S. Dalidovič
 Osnovy teorii vjazanija
4. Časopis textil, ročník XX., rok 1965
 článek: Inž. Miloš Konopásek Výzkumný ústav ple-
 tařský, Brno
 Eliška Kuboňová, Universita J. E. Purkyně,
 Brno

 O použití elektronické výpočetní techniky
 při studiu ohybové tuhosti textilních
 materiálů.
5. Diplomová práce ing. Evy Chundelové
6. Diplomová práce ing. Ireny Boušové

I. Úvod

Pletařská výroba má stále stoupající tendenci. Týká se to jak zvětšování objemu výroby, tak i rozšířování sortimentu pletených výrobků. Růst pletařské výroby je podmíněn několika činiteli. Je to především vysoká produktivita pletařské technologie, která se projevuje ve zjednodušení technologického procesu z hlediska přípravy materiálu. K rozvoji pletařského průmyslu přispěla významnou měrou i chemická vlákna, která našla uplatnění zvláště u výroby punčoch, prádlových výrobků a záclonovin. Dalším významným činitelem pro uplatnění pletařské technologie jsou užitné vlastnosti pletenin např. poddajnost, pružnost, splývavost, objemnost, měkkost a pěkný vzhled.

Pletený výrobek se dá posuzovat z několika hledisek např. hledisko výrobní, ekonomické, použití. Neméně důležité je i hledisko vnějšího vzhledu, neboť od něj začíná zájem o výrobek. Výrobci pleteného zboží se proto snaží, aby jejich výrobky upoutaly pozornost spotřebitelů efektním vzhledem.

Barevného efektního vzhledu úpletu lze dosáhnout několika způsoby např. tím, že se vyrobí jednobarevný úplet a ten se barevně potiskuje, nebo se vzoruje použitím určité vazby bez použití další barevné příze, nebo použitím určité vazby a jiné barevné příze. Poslední uvedený způsob tvorby barevných úpletů dal vznik tzv. barevným žákárovým vzorům.

Oběma způsoby barevného vzorování tj. potiskováním i žákársky získáme stejný barevný efekt, ale kvalitnější je žákárový způsob výroby barevných úpletů, neboť lze dosáhnout ostrého ohrazení barevných ploch. Nevýhodou žákárového vzorování je pracnost výrobního postupu a nízká výrobnost žákárových strojů.

II. PŘEHLED BAREVNÝCH ŽAKÁROVÝCH VZORŮ

1. Rozdělení

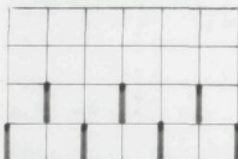
Předmětem diplomové práce je hodnocení nejdůležitějších typů barevných žákárových vzorů. Je proto třeba provést jejich specifikaci.

Barevné žákárové vzory řadíme mezi pleteniny zátažné a to jak jednolící, tak i oboulicní. Barevný efekt vzniká tím, že v rámci jednoho rádku jsou očka tvořena z několika barevných přízí, nejčastěji ze dvou nebo ze tří. Toto střídání barevných oček je umožněno přerušenou činností jehel.

Z jednolících pletenin sem patří

barevná podkládaná pletenina

dvoubarevná



obr. 1

tříbarevná



obr. 2

Z oboulicních pletenin sem patří

- a) pletenina podkládaná
- b) pletenina s vytaženými očky
- c) pletenina dutá

ad a) Barevná pletenina s podloženým lícem

dvoubarevná



obr. 3

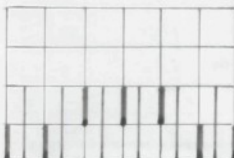
tříbarevná



obr. 4

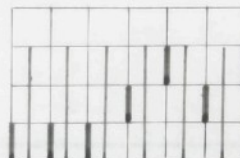
ad b) Barevná šestizámková pletenina s hladkým rubem

dvoubarevná



obr. 5

tříbarevná



obr. 6

Barevná šestizámková pletenina s podloženým rubem

dvoubarevná



obr. 7

tříbarevná



obr. 8

Barevná pletenina reliefní



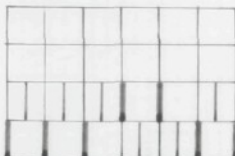
obr. 9

Kombinace pleteniny s podloženým lícem a šesti-zámkové



obr. 10

ad c) Barevná pletenina osmizámková



obr. 11

2. Návrh vzorů

Aby bylo možno sledovat změny vlastností s ohledem na střídu vzoru, byly vzory navrženy takto :

2.1. Vazba dvoubarevná jednolící podkládaná



obr. 12

1 : 1



obr. 13

2 : 2



obr. 14

4 : 4

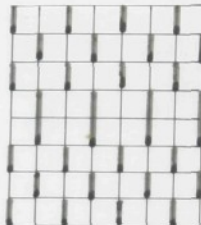


obr. 15

8 : 8



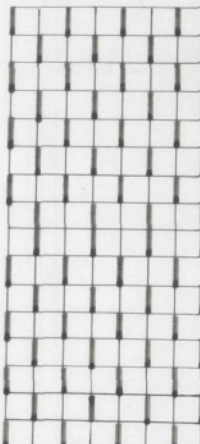
obr. 16

 $2 \times 2 +$ 

obr. 17

 $\frac{2}{2} +$ 

obr. 18

 $4 \times 4 +$ 

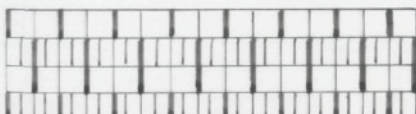
obr. 19

 $\frac{4}{4} +$

Protože vyrobené vzorky nebyly způsobilé pro měření (viz příloha A) bylo nutno návrh vzoru pozměnit tím, že mezi dva vzorové řádky byl vložen řádek hladký.

+

Tato označení jsou volena pro odlišení vzorů se stejnou střídou ve směru řádku.

2.2. Vazba dvoubarevná oboulicní s podloženým lícem.

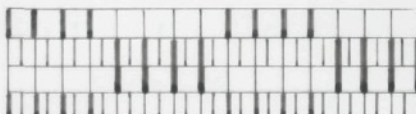
obr. 20

1 : 1



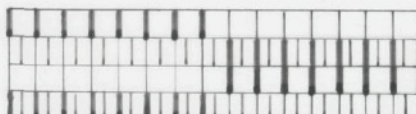
obr. 21

2 : 2



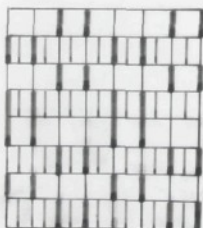
obr. 22

4 : 4



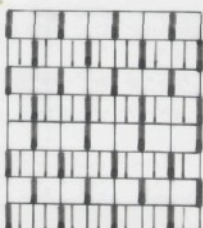
obr. 23

8 : 8



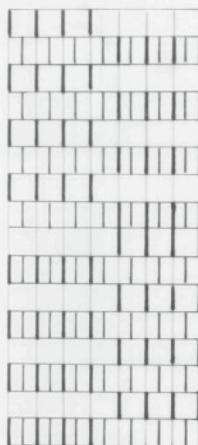
obr. 24

2 x 2



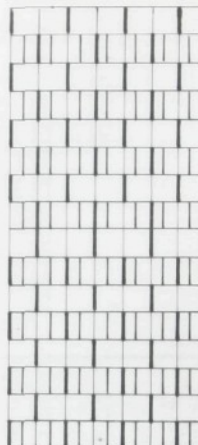
obr. 25

$$\frac{2}{2}$$



obr. 26

4 x 4



obr. 27

 $\frac{4}{4}$

2.3. Vazba dvoubarevná šestizámková s hladkým rubem



obr. 28

1 : 1



obr. 29

2 : 2



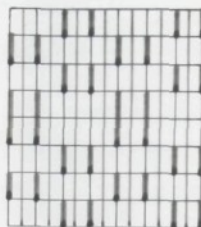
obr. 30

4 : 4

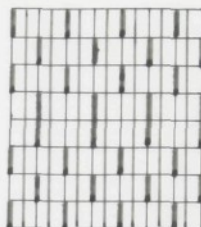


obr. 31

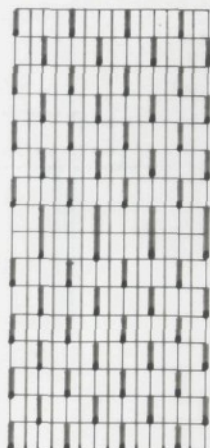
8 : 8



2 x 2

2
2

4 x 4

4
4

Vzorky byly vyrobeny v dílnách VŠST na stroji se stacionárním žákárem.

Parametry stroje:

Výrobce SCHUBERT SALZER

Počet systémů 4

Dělení 8,5

Příkon 0,25 kW

Ø stroje 15" (palců angl.)

Obvod. rychlosť 0,159m/s

Otáčky 14/min

Výkon 16 m²/Shod.

Počet jehel 400

Počet platin 8 x 50

III. ROZBOR VLASTNOSTÍ PLETENIN

Každý textilní výrobek obsahuje souhrn tzv. užitných vlastností, které tvoří jeho hodnotu. Tyto užitné vlastnosti by se daly stručně shrnout do těchto tří skupin:

mechanicko - fyzikální vlastnosti
užitkové vlastnosti
ekonomické vlastnosti

1. Mechanicko - fyzikální vlastnosti

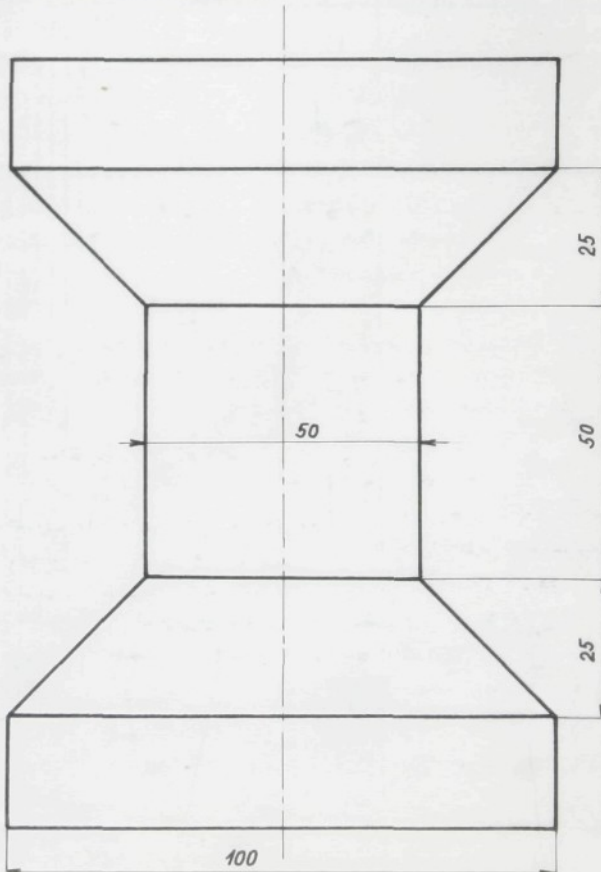
Je to souhrn všech vlastností pleteného výrobku, kterými reaguje na vnější mechanicko - fyzikální působení. Vzhledem k tomu, že toto působení způsobuje většinou určité namáhání výrobku, mluvíme pak o jeho odolnosti či pevnosti vůči tomuto namáhání, např. odolnost vůči tahu, tlaku, oděru, světlu, chemickým činitelům apod. Tato odolnost bude dána převážně již odolností vlastní suroviny - pleteniny, ze které je výrobek zhotoven, částečně také zpracováním (stříhem, šitím a pod.). Zvláštní struktura dává pletenině charakteristické vlastnosti jako je vysoká tažnost a pružnost. Tyto vlastnosti dovolují pletenině přizpůsobit se tvarům těla, což umožňuje pohodlné nošení těchto výrobků a z hlediska konfekčního zpracování nejsou tak náročné požadavky na střihové tvorování. Tažnost je však nežádoucí tam, kde se požaduje tvarová stabilita výrobku. Pleteniny vykazují také dobré tepelně izolační vlastnosti, čímž rozumíme jejich schopnost zpomalovat, nebo zamezit přechod tepla z teplejšího prostředí do chladnějšího a naopak. Tato vlastnost pleteniny je podmíněna její vysokou objemností, která je určena prostorovým uspořádáním strukturálních prvků a tedy vysokým obsahem vzduchu ve struktuře pleteniny. Další předností pleteniny je její prodyšnost důležitá ze zdravotního

VŠST Liberec		Katedra KTP
Fakulta textilní	Barevné žákárové vzory	DP str. 16

hlediska, neboť umožňuje látkovou výměnu, jež se uskutečňuje povrchem těla. Tepelně izolační vlastnost a prodyšnost jsou vlastnosti protichůdné a je proto třeba podle účelu použití pleteného výrobku jednu, nebo druhou vlastnost částečně potlačit. Úplně však nelze vyloučit ani jednu z obou vlastností. Nevýhodou zvláště zátažných pletenin je jejich paratelnost. Nepříjemné je i stáčení okrajů a srážení po praní.

1.1. Pevnost

Pevnost u pletenin není tak důležitá vlastnost, protože pletenina není v praxi namáhána na mez pevnosti. Pevnosti rozumíme odolnost textilie proti destrukci. Východiskem pro určení pevnosti pletenin je norma ČSN 80 0868, podle níž se pevnost měří v kp a vztahuje se na délku 5 cm. Pro měření pevnosti pletenin se používá zkušební vzorek zvláštěho tvaru, který zaručuje objektivnější výsledky měření než vzorek tradičního obdélníkového tvaru, jaký se používá při zkoušení tkanin.



obr. 36

Směrová pevnost pletenin se určuje podle následujícího vztahu

$$K_s(s, \check{r}) = \frac{H_s(\check{r}) * q * k_n}{2 * 10^3} * \gamma \quad (1)$$

K_{ss} pevnost ve směru sloupků
[kp/5 cm]

K_{sr} pevnost ve směru řádků
[kp/5 cm]

$H_s(\check{r})$ hustota sloupků (řádků),
počet sloupků (řádků)/10 cm
podle ČSN 80 0869, pro obou-
lícní pleteninu

$$H_s = H'_s + H''_s$$

H'_s hustota lícních sloupků /10cm

H''_s hustota rubních sloupků /10cm

k_n směrový koeficient

q pevnost příze [p]

γ koeficient využití pevnosti

Pro případ barevné žakárové pleteniny vzorec pro
výpočet K_{sr} rozšíříme o koeficient n , který vyjadřuje
počet příze v jednom řádku.

$$K_{sr} = \frac{H_r * q * k_n * n}{2 * 10^3} * \gamma \quad (2)$$

H_r počet dvoubarevných řádků/10cm

Ve skutečnosti vyjadřuje tento vzorec sumární pevnost
všech přízí, které v daném směru odolávají zatěžující
síle. Je tedy otázka, zda sumární pevnost přízí je
možno považovat za pevnost pleteniny. Praxe potvrdila,
že tyto hodnoty jsou značně rozdílné, a není možno je
ztotožňovat. Skutečná pevnost je daleko nižší a má
jiné závislosti proti výše uvedenému vztahu. Tyto roz-

díly jsou způsobeny hlavně těmito činiteli.

- a) Pevnost svazku nití je vždy menší než sumární pevnost jednotlivých nití. Tato skutečnost bude záviset na přízi samotné a na velikosti svazku nití.
- b) Při natažení vzorku dojde k nerovnoměrné deformaci pleteniny, která závisí především na vazbě pleteniny, a tím také k nerovnoměrnému rozdělení napětí v jednotlivých přízích. Projeví se také vliv odstřížených okrajů tím, že se okrajová očka párají.
- c) Způsob namáhání příze v pletenině je jiný než u zkoušky z hlediska upínací délky a způsobu upnutí. Spiše by vyhovovala zkouška pevnosti příze ve smyčce.
- d) Na konečnou změnu tvaru vzorku budou mít jistě vliv také vlastnosti příze (povrch, koeficient tření, ohybové vlastnosti a pod.)

1.1.1. Pevnost dvoubarevné jednolícení podkládané pleteniny.

$$q = 570 \text{ [p]}$$

$$\gamma = 1$$

$$k_{n(s)} = 2$$

$$k_{n(r)} = 1$$

$$n = 2$$

str.	$H_F^{/10cm}$	$H_S^{/10cm}$	$K_{sr}^{(kp/5cm)}$	$K_{ss}^{(kp/5cm)}$
1:1	75	61	42,8	34,8
2:2	74	60	42,2	34,2
4:4	75	60	42,8	34,2
8:8	75	56	42,8	31,9
2x2	73	62	41,6	35,3
$\frac{2}{2}$	72	62	41,0	34,8
4x4	72	58	41,0	33,0
$\frac{4}{4}$	72	63	41,0	35,9

Tabulka 1 - Vypočtené hodnoty pevnosti

stř.	$[kp/cm]$	$[kp/cm]$	$[kp/cm]$	K_{sr}	$[kp/cm]$	K_{ss1}	$[kp/cm]$	K_{ss2}	$[kp/cm]$	K_{ss3}	$[kp/cm]$
1:1	33	35,4	35	34,5	29,5	31	36,8	32,4			
2:2	33	30	32,3	31,8	37,7	34	30	33,9			
4:4	26,3	28,2	27,2	27,2	22,3	22,8	27,1	24,1			
8:8	22	25,4	22,8	23,4	29,4	23,8	23,6	25,6			
2x2	25	30,2	25,9	27	29,1	29,7	31,2	30			
$\frac{2}{2}$	34,7	32,6	36,5	34,6	36,8	36,6	37,7	37			
4x4	22,9	24,5	24,8	24,1	29	26,5	26,6	27,4			
$\frac{4}{4}$	25,2	30,6	25,3	27	30,1	28,4	29,7	29,4			

Tabulka 2 - Naměřené hodnoty pevnosti .

1, 2, 3 pořadí vzorků

 K_{sr} K_{ss} průměrné hodnoty pevností

Zkoušeno podle ČSN 80 0868

Upínací délka 100 mm

Rychlosť 50 + - 10 sec

Předpětí 0p

Přístroj ZT 100

Rozsah 0 - 100 kp

Úplet byl klimatizován po dobu 24 hodin před zkouškou a zkouška probíhala v klimatizovaném prostředí.

Z h o d n o c e n í :

Jak vyplývá z tabulky 2 klesá hodnota K_{sr} úměrně se střídou vzoru. K_{sr} tedy závisí na délce podloženého úseku a to nepřímoúměrně. Je to způsobeno tím, že v oblasti podloženého úseku je kratší délka příze než v úseku tvořeném očky a při namáhání ve směru rádku je příze podloženého úseku namáhána na tak dříve než příze tvarovaná v očkách. S rostoucí střídou se zvětšuje rozdíl mezi délkou příze obou úseků a tím je dán i pokles pevnosti K_{sr} .

Hodnoty K_{ss} by měly být přibližně stejné, neboť pevnost je dána pevností nejslabšího místa, a to je v tomto případě hladký rádek.

1.1.2. Pevnost dvoubarevné oboulicní pleteniny s podloženým lícem.

stř	H_p / 10cm	$H_s = H_s^u$	[kp/5cm] K_{sr}	[kp/5cm] K_{ss}
1:1	100	52	57	59,3
2:2	98	50	58,6	57
4:4	104	49	59,3	55,9
8:8	107	49	54,7	58,1
2x2	94	53	53,6	60,4
$\frac{2}{2}$	97	58	55,3	66,1
4x4	109	54	62	61,6
$\frac{4}{4}$	91	60	51,9	68,4

$$q = 570 \text{ [p]}$$

$$\gamma = 1$$

$$k_n (s) = 2$$

$$k_n (\check{r}) = 1$$

$$n = 2$$

Tabulka 3 - Vypočtené hodnoty pevnosti.

stř	[kp/5cm] $K_{sr\ 1}$	[kp/5cm] $K_{sr\ 2}$	[kp/5cm] $K_{sr\ 3}$	[kp/5cm] K_{sr}	[kp/5cm] $K_{ss\ 1}$	[kp/5cm] $K_{ss\ 2}$	[kp/5cm] $K_{ss\ 3}$	[kp/5cm] K_{ss}
1:1	72,5	82	74	76,2	59,4	59,4	54,5	57,7
2:2	70,9	68,9	73	70,9	57,6	61,9	53,3	57,6
4:4	59,3	60,5	55,5	58,4	51,5	56,2	50	51,9
8:8	54,6	47,2	46,7	49,5	61	59,1	61,4	60,5
2x2	64,7	65,6	66,8	65,7	54,6	50,2	53,7	52,8
$\frac{2}{2}$	74,7	71	70,3	72	51,2	55,4	60,4	55,7
4x4	57,3	56,2	48,8	54,1	39,2	39,3	45,4	43,4
$\frac{4}{4}$	49,8	49,8	50,5	50	65,2	65	62	64

Tabulka 4 - Naměřené hodnoty pevnosti.

Z h o d n o c e n í :

Hodnoty pevnosti K_{sr} jeví se stoupající střídou klesající tendenci. Důvod je stejný jako u dvoubarevné jednočí podkládané pleteniny.

Hodnoty pevnosti K_{ss} kolísají, tzn. K_{ss} nezávisí na velikosti střídy.

1.1.3. Pevnost dvoubarevné šestizámkové pleteniny s hladkým rubem.

stř.	H_s^{10cm} H_s^{RUBNI}	H_s^{10cm} $H_s = H_s''$	$[kp/5cm]$ K_{sr}	$[kp/5cm]$ K_{ss}
1:1	130	56	37	63
2:2	133	56	37,6	63
4:4	134	58	38,2	66,1
8:8	138	54	39,3	61,6
2x2	128	59	36,5	67,3
$\frac{2}{2}$	120	59	34,2	67,3
4x4	125	57	35,3	65
$\frac{4}{4}$	126	60	35,9	68,4

$$q = 570 \quad [\text{p}]$$

$$\gamma = 1$$

$$k_{n(s)} = 2$$

$$k_{n(r)} = 1$$

$$n = 2$$

Tabulka 5 - Vypočtené hodnoty pevnosti .

stř.	$[kp/5cm]$ K_{sr1}	$[kp/5cm]$ K_{sr2}	$[kp/5cm]$ K_{sr3}	$-[kp/5cm]$ K_{sr1}	$[kp/5cm]$ K_{ss1}	$[kp/5cm]$ K_{ss2}	$[kp/5cm]$ K_{ss3}	$[kp/5cm]$ K_{ss}
1:1	28	33	30,4	30,5	49	52,8	57,4	53,1
2:2	40,4	35,6	36,2	37,4	65	64,5	58,8	62,8
4:4	29,8	29,9	29	29,6	50	52	50,5	50,8
8:8	27,8	29,2	30,8	29,2	50	52,2	45,4	49,2
2x2	32,6	30	33,8	32,1	51,9	51,6	50,6	51,4
$\frac{2}{2}$	34,4	34,8	35	34,7	55	51,9	58,8	55,2
4x4	31,2	30,4	30,8	30,8	56	59,2	56	57,1
$\frac{4}{4}$	36,8	36,2	35,2	36,1	62,5	72,1	70	68,2

Tabulka 6 - Naměřené hodnoty pevnosti .

Z h o d n o c e n í :

Hodnoty K_{sr} i K_{ss} kolísají. Z toho je zřejmé, že K_{sr} a K_{ss} nezávisí na délce střídy.

Porovnání pevnosti K_{sr} a K_{ss} daných tří vazeb.

Jak je vidět z tabulek naměřených i vypočtených hodnot největší hodnotu pevnosti K_{sr} má dvoubarevná oboulicní pletenina s podloženým lícem, nejmenší dvoubarevná jednolící podkládaná pletenina.

Dvoubarevná šestizámková pletenina s hladkým rubem a dvoubarevná oboulicní pletenina s podloženým lícem dosahují přibližně stejných hodnot K_{ss} oproti dvoubarevné jednolící podkládané pletenině, jež vykazuje hodnotu K_{ss} podstatně nižší.

1.2. Tažnost

1.2.1. Vymezení definice tažnosti pletenin

Obecně se definuje tažnost jako schopnost nějakého materiálu měnit svůj tvar vlivem vnějších zatěžujících sil. Tažnost je schopnost, tedy pojem a nedá se vyjádřit v nějakých konkrétních hodnotách. Abychom ji mohli měřit, musíme si určit způsob a podmínky, za kterých toto budeme provádět. Vzhledem k tomu, že způsob a podmínky jsou pak subjektivní, volitelné může vzniknout mnoho metod pro určení tažnosti. Tato situace nastává zvláště u textilních plošných útvarů, kde podmínky mají daleko větší rozsah než v jiných oblastech (např. u kovů). Tím více toto platí u pletenin, které jsou textilním plošným útvarem nejsložitějším.

Kritérium pro vymezení nejlepšího způsobu měření tažnosti pletenin nutno hledat v podmínkách, které nastávají při používání pleteniny. Vzhledem k tomu, že mluvíme o tažnosti plošného textilního útvaru, jehož třetí rozměr zanedbáváme, budeme uvažovat zatěžující síly v rovině pleteniny a to síly, které působí její roztažení - namáhání pleteniny na tah. Zde vyvstávají 2 důležitá hlediska.

1.2.1.1. Směrová působnost zatěžujících sil

Pletenina má ve své struktuře ostře vyhraněné osy, směry podle kterých se také ve velké míře mění vlastnosti pleteniny. Osa podélná - označení ve směru sloupců, osa příčná - označení ve směru řádků.

Je nutno sledovat působnost zatěžujících sil vzhledem k těmto dvěma osám pleteniny a skutečnost, zda je pletenina zatížena jednosměrně, nebo plošně, tj. ve více směrech současně.

Při vlastním používání je pletenina namáhána vždy plošně, přičemž jeden směr má vždy převažující význam.

1.2.1.2. Velikost tahového namáhání a jeho časový průběh.

a) Dlouhodobé namáhání s malým zatížením, které vznikne tím, že se pletený výrobek přizpůsobí tvarovým proporcím.

b) Namáhání s větším zatížením, většinou krátkodobé, které vznikne při oblékání, nebo momentálními situacemi při nošení. Toto namáhání bude cyklické s nepravidelnou frekvencí a různou amplitudou. Mimo to bude v časovém období používání vždy období namáhání (nošení) a období klidu (odložení oděvu). Tato složitost namáhání povede k složitým tvarovým změnám, které by se žádnou zkouškou nedaly vyjádřit. Bude proto nutné tento systém namáhání zjednodušit a namáhání redukovat na 2 případy a podle toho uvažovat 2 typy zkoušek.

Zkoušku, u které se zjistí jednorázovým způsobem tvarová změna výrobku - tažnost při určitém zatížení. Tato zkouška odpovídá schopnosti pleteniny přizpůsobit se tvarově.

Zkoušku, u které se zjistí tvarová změna vlivem cyklického namáhání. Zkouška odpovídá delšímu časovému období používání. Vzhledem k tomu, že se bude jednat o zhoršení vlastností pleteniny, o jisté unavení pleteniny, označujeme ji jako únavu.

1.2.2. Tažnost směrová ε_s , $\varepsilon_{\check{r}}$

Za zásadní pramen je nutno považovat normu ČSN 80 0868 pro zkoušení pevnosti, tažnosti a roztažnosti pletenin.

Tažnost směrová ε_s , $\varepsilon_{\check{r}}$ (ve směru sloupků a řádků) je zde definována jako protažení vzorku pleteniny při přetruhu vyjádřené v procentech upínací délky,

$$\varepsilon_{s,\check{r}} = \frac{l - l_{\max}}{l} \cdot 100 \quad [\%] \quad (3)$$

l upínací délka vzorku [100 mm]

l_{\max} délka vzorku při přetření [mm]

ε_s tažnost ve směru sloupků [%]

$\varepsilon_{\check{r}}$ tažnost ve směru řádků [%]

Zkušební vzorek má stejný tvar jako vzorek na zkoušení pevnosti. Aby byl vyloučen vliv čelistí na deformaci pleteniny v jednotlivých částech, upíná se vzorek ve stočeném tvaru.

Zkouška se provádí na běžných dynamometrech pro zkoušení tkanin s úpravou čelistí na upínací délku 100 mm.

Tato metoda zjištování tažnosti má četné nevýhody :

- Tažnost se zjišťuje při přetruhu, což neodpovídá běžné praxi používání pletenin. Namáhaní tkaniny při používání jako oděvu se odhaduje na 15 % přetrvkové pevnosti, u pletenin to bude vzhledem k vyšší tažnosti ještě méně.
- Není možno použít vzorku stejně šíře po celé délce. Proměnlivá šířka vzorku zkresluje naměřené hodnoty.
- Běžné dynamometry jsou upraveny pro maximální protažení 250 mm, což je často pro pleteniny nedostačující. Nadměrné protažení vedlo také jistě k volbě poměrně krátké upínací délky 100 mm.

1.2.2.1. Stanovení tažnosti obecné pleteniny

a) Tažnost ve směru rádků $\varepsilon_{\check{r}}$

Pro směrovou tažnost platí vztah

$$\varepsilon_{\check{r},s} = \frac{l_{\max} - l}{l} \cdot 100 \quad [\%]$$

Vyjádříme-li l a l_{\max} pomocí šířky očka A a maximální hodnoty šířky očka A_{\max}

$$\varepsilon_{\check{r}} = \frac{p \cdot A_{\max} - p \cdot A}{p \cdot A} \cdot 100 \quad [\%]$$

Po zkrácení dostaneme

$$\varepsilon_{\check{r}} = \frac{A_{\max} - A}{A} \cdot 100 \quad [\%] \quad (4)$$

Hodnotu A vypočteme ze vztahu

$$A = \frac{100}{H_s} \quad [mm] \quad (5)$$

Pro hodnotu A_{\max} byl odvozen vztah

$$A_{\max} = l_o - \frac{8}{3} \pi d^* \quad \text{pro jednolící hladkou pleteninu} \quad (6)$$

$$A_{\max} = 2 l_o - \frac{16}{3} \pi d^* \quad \text{pro oboulicí hladkou pleteninu} \quad (7)$$

l_o^* délka očka při zatížení [mm]

p počet oček v úseku tvořeném očky.

d^* průměr příze při zatížení $d^* = \frac{K}{\sqrt{C_m}}$ [mm]

$K_{ba}^* = 0,92$
 l_o^* určíme jako součin tažnosti příze ε_p a délky očka l_o vypočtené podle Dalidoviče

$$l_o^* = \varepsilon_p \cdot l_o \quad [mm]$$

Dalidovičův vzorec pro délku očka

$$l_0 = \frac{\pi}{2} A + \pi d + 2 \sqrt{B^2 + d^2} \quad [\text{mm}] \quad (8)$$

ϵ_p tažnost příze [%] $\epsilon_p = 4,85\%$

π Ludolfovo číslo 3,14

A šířka očka [mm]

d průměr příze [mm]

B výška očka [mm]

K koeficient závislý na materiálu
příze $K_{ba} = 1,25$

\check{c}_m číslo metrické příze [m/g] $\check{c}_m = 56/2 \times 2$

Hodnotu d určíme ze vztahu

$$d = \frac{K}{\check{c}_m}$$

Hodnotu B určíme ze vztahu

$$B = \frac{100}{H_{\check{x}}} \quad (9)$$

Tím máme určeny všechny hodnoty a můžeme podle vztahu (4) vypočítat tažnost $\epsilon_{\check{x}}$

b) Tažnost ve směru sloupků ϵ_s .

Uvaha pro výpočet tažnosti ϵ_s je stejná jako u $\epsilon_{\check{x}}$, jen místo A a A_{max} ve vzorci pro $\epsilon_{\check{x}}$ jsou hodnoty B a B_{max}, což je maximální výška očka.

$$\epsilon_s = \frac{B_{\max} - B}{B} \cdot 100 \% \quad (10)$$

Pro B_{max} byl odvozen vztah

$$B_{\max} = \frac{l_0 - \frac{8}{3} \pi d}{2} \quad \begin{array}{l} \text{pro jednolící} \\ \text{hladkou pleteninu} \end{array} \quad (11)$$

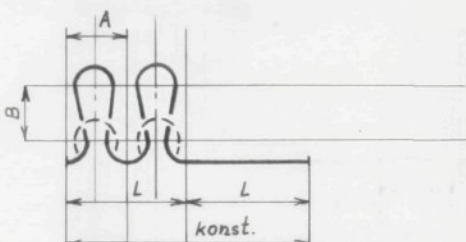
$$B_{\max} = \frac{l_0 - \frac{7}{3} \pi d}{2} \quad \begin{array}{l} \text{pro oboušícní} \\ \text{hladkou pleteninu} \end{array} \quad (12)$$

1.2.2.2. Tažnost dvoubarevné jednolící podkládané pleteniny.

Jeden rádek této pleteniny je tvořen ze dvou přízí.

Jedna příze v určitém úseku plete a v druhém úseku podkládá. Druhá příze ji vazebně doplňuje. Každý úsek pleteniny je tvořen dvěma vazebními prvky ; očky a podloženými kličkami.

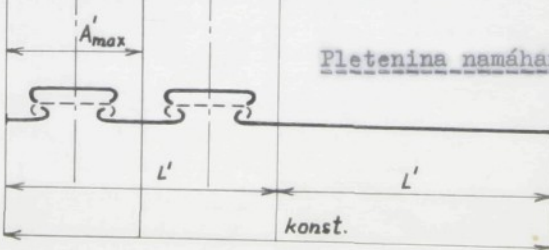
Ve zjednodušení vypadá jednolící podkládaná pletenina takto (pro jednoduchost je znázorněna jen jedna příze).



obr. 37

a) Tažnost ve směru řádků ϵ_x

Při namáhání pleteniny ve směru řádků dochází k deformaci úseku tvořeného očky i podloženého. Očko se deformeuje do šířky, tzn. zvětšuje se šířka očka A a podložený úsek se prodlužuje jednak tím, že vytahuje přízi z oček a jednak tažnosti příze ϵ_p . Tím, že podložený úsek vytahuje přízi z očka, délka očka se zkracuje oproti původní délce a důsledek je ten, že se sníží tažnost ϵ_x jednolící podkládané pleteniny oproti tažnosti ϵ_x jednolící hladké pleteniny.



obr. 38

Vlastní výpočet tažnosti $\varepsilon_{\text{ř}}$

Při určování tažnosti se vychází z tohoto předpokladu:

Pro nezatíženou pleteninu platí, že součet délky úseku tvořeného očky (nikoliv délky příze) a délky úseku podloženého je konstantní. S ohledem na to, jak byly vzorky navrženy, platí, že délky obou úseků jsou shodné a jsou rovny L.

$$L = p \cdot t$$

Pro zatíženou pleteninu platí totéž s tím rozdílem, že délky jsou rovny L'.

$$L' = p \cdot (A_{\max} - \Delta A) = p \cdot (t \cdot \varepsilon_p + \Delta A)$$

Pro jedno očko platí

$$A_{\max} - \Delta A = t \cdot \varepsilon_p + \Delta A = A_{\max} \quad (13)$$

L délka podloženého úseku při nulovém zatížení [mm]

L' délka podloženého úseku při maximálním zatížení [mm]

A_{max}..... maximální šířka očka jednolící hladké pleteniny [mm]

ΔA úbytek délky příze z jednoho očka [mm]

A_{max'}..... maximální šířka očka jednolící podkládané pleteniny [mm]

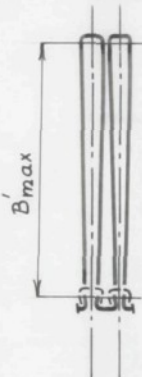
t rozteč jehel [mm] $t = 3m_1 m_2$

Tažnost $\varepsilon_{\text{ř}}$ dvoubarevné jednolící podkládané pleteniny bude dána tímto vztahem:

$$\varepsilon_{\text{ř}} = \frac{A_{\max} - A}{A} \cdot 100 \% \quad (14)$$

b) Tažnost ve směru sloupků ϵ_s^*

Je-li pletenina namáhána ve směru sloupků, deformuje se oba úseky tím způsobem, že se zvětšuje výška očka B a délka podloženého úseku se zkracuje tím, že očko z něj vytahuje přízi. Toto probíhá tak dlouho, dokud se celá délka příze L z podloženého úseku nerozdělí mezi očka. Tím se úseky oček tvořené jednou přízí k sobě přiblíží a pletenina se vyboulí.



Pletenina namáhána ve směru sloupků.

obr. 39

Vlastní výpočet tažnosti ϵ_s^*

$$L = p \cdot t \cdot \epsilon_p$$

Na jedno očko připadá délka příze $\frac{L}{p} = t \cdot \epsilon_p$

B_{max} vzroste o hodnotu $\frac{L}{2p}$ na B_{max} , což je maximální výška očka jednolící podkládané pleteniny.

Důsledek zvětšení B_{max} na B_{max} se projeví ve zvětšení tažnosti ϵ_s^* .

$$\epsilon_s^* = \frac{B_{max} - B}{B} \cdot 100 \quad [\%] \quad (15)$$

Toto je teoretický vztah pro určení tažnosti ϵ_s^* jednolící podkládané pleteniny. Protože však u skutečně vyrobených úpletů byl mezi dva vzorové řádky vložen řádek hladký, neodpovídá vztah (15) skutečnosti.

Tažnost pleteniny je dána tažnosti nejméně tažného úseku a tím je právě již zmíněný hladký rádeček. Tažnost ϵ_s bude určena tažnosti hladké jednolícní pleteniny.

	$\epsilon_{r1} [\%]$	$\epsilon_{r2} [\%]$	$\epsilon_{r3} [\%]$	$\bar{\epsilon}_r [\%]$	$\epsilon_{s1} [\%]$	$\epsilon_{s2} [\%]$	$\epsilon_{s3} [\%]$	$\bar{\epsilon}_s [\%]$
1:1	125	142	125	131	91	92	97	93
2:2	125	120	127	124	92	92	85	90
4:4	124	119	113	118	74	80	71	75
8:8	117	114	115	115	89	85	85	86
2x2	144	144	145	144	73	82	79	78
$\frac{2}{2}$	156	154	154	155	96	97	99	97
4x4	124	117	141	127	82	81	75	79
$\frac{4}{4}$	142	145	132	140	85	89	77	84

Tabulka 7 - Naměřené hodnoty tažnosti
1, 2, 3 pořadí vzorků

$\bar{\epsilon}_r$, $\bar{\epsilon}_s$ průměrné hodnoty tažnosti

	1:1	2:2	4:4	8:8	2x2	$\frac{2}{2}$	4x4	$\frac{4}{4}$
$H_f / 10cm$	75	74	75	75	73	72	72	72
$H_s / 10cm$	61	60	60	56	62	62	58	63
$A [mm]$	1,64	1,67	1,67	1,78	1,61	1,61	1,72	1,58
$B [mm]$	1,33	1,35	1,33	1,33	1,37	1,39	1,39	1,39
$l [mm]$	6,35	6,44	6,4	6,57	6,36	6,43	6,6	6,38
$l' [mm]$	6,66	6,75	6,71	6,89	6,67	6,74	6,92	6,67
$A_{max} [mm]$	4,74	4,83	4,79	4,98	4,75	4,82	5	4,75
$A'_{max} [mm]$	3,94	3,98	3,97	4,06	3,9	3,98	4,07	3,9
$B_{max} [mm]$	2,37	2,41	2,39	2,49	2,37	2,41	2,5	2,37
$\epsilon_r [\%]$	140	138	137	128	142	147	136	146
$\epsilon_s [\%]$	77	78	80	86	73	73	79	70

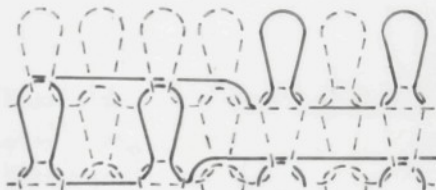
Tabulka 8 - Vypočtené hodnoty tažnosti

Z hodnocení:

Výsledky tabulek 7 a 8 potvrzují správnost předpokladu, že tažnost ϵ_s klesá se vzrůstající střídou vzoru. Hodnoty tažnosti ϵ_s by měly být přibližně stejné, neboť představují tažnost ϵ_s hladké jednolícní pleteniny.

1.2.2.3. Tažnost dvoubarevné oboulicní pleteniny s podloženým lícem.

Jeden řádek této pleteniny tvoří dvě příze. Jedna plete na rubu i na lici a to vždy úsek oboulicní a jednolícni. Druhá příze plete jen na lici jednolícni úsek a podkládá. Struktura dvoubarevné oboulicní pleteniny s podloženým lícem.



obr. 40

a) Tažnost ve směru řádků $\epsilon_{\text{ř}}$.

Tažnost pleteniny by měla být dána tažnosti nejméně tažného úseku a to je v tomto případě úsek tvořený přízí, která plete jen na licní straně, tzn. střídá se úsek oček a úsek podložených kliček. Tažnost $\epsilon_{\text{ř}}$ se tedy vyjádří stejně jako u dvoubarevné jednolícni podkládané pleteniny

$$\epsilon_{\text{ř}} = \frac{A_{\max} - A}{A} \cdot 100 \quad [\%]$$

b) Tažnost ve směru sloupců ϵ_{s} .

Při namáhání ve směru sloupců se jako méně tažný jeví úsek tvořený přízí, která plete na lici i na rubu, tzn. střídá se úsek oboulicní a jednolícni pleteniny. Jde nyní o to vybrat úsek s nejmenší tažností ϵ_{s} .

Pro tažnost ϵ_s byl odvozen vztah

$$\epsilon_s = \frac{B_{\max} - B}{B} \cdot 100 \quad [\%]$$

ϵ_s závisí přímoúměrně na hodnotě B_{\max} .

Pro B_{\max} byl odvozen vztah

$$B_{\max} = \frac{1 - \frac{2}{3}\pi d}{2} \quad \text{pro jednolící pleteninu}$$

$$B_{\max} = \frac{1 - \frac{7}{3}\pi d}{2} \quad \text{pro obouliční pleteninu}$$

Z uvedených vztahů vyplývá, že pro jednolící pleteninu je B_{\max} menší, a tím tedy má jednolící pletenina menší tažnost ϵ_s . Tažnost ϵ_s dvoubarevné obouliční pleteniny s podloženým lícem je dána tažností jednolícího úseku pleteniny.

$$\epsilon_s = \frac{B_{\max} - B}{B} \cdot 100 \quad [\%]$$

	$\epsilon_{s1} [\%]$	$\epsilon_{s2} [\%]$	$\epsilon_{s3} [\%]$	$\bar{\epsilon}_s [\%]$	$\epsilon_{s1} [\%]$	$\epsilon_{s2} [\%]$	$\epsilon_{s3} [\%]$	$\bar{\epsilon}_s [\%]$
1:1	122	130	129	127	104	105	104	104
2:2	113	108	104	108	100	95	106	100
4:4	101	93	95	96	99	95	89	98
8:8	75	87	85	82	98	100	96	98
2x2	138	147	147	144	92	79	83	84
$\frac{2}{2}$	139	166	137	147	93	89	86	89
4x4	113	100	104	106	88	74	76	80
$\frac{4}{4}$	130	147	134	137	96	95	86	92

Tabulka 9 - Naměřené hodnoty tažnosti.

	$1:1$	$2:2$	$4:4$	$8:8$	2×2	$\frac{2}{2}$	4×4	$\frac{4}{4}$
$H_S / 10cm$	100	98	104	107	94	97	109	91
$H_S' = H_S'' / 10cm$	52	50	49	49	53	58	54	60
$A [mm]$	1,92	2	2,04	2,04	1,88	1,72	1,85	1,65
$B [mm]$	1	1,02	0,96	0,93	1,06	1,03	0,91	1,09
$L [mm]$	6,15	6,32	6,26	6,2	6,2	5,9	5,86	5,89
$\ell' [mm]$	6,45	6,62	6,56	6,5	6,5	6,2	6,14	6,17
$A_{max} [mm]$	4,53	4,7	4,64	4,57	4,57	4,27	4,22	4,25
$A'_{max} [mm]$	3,84	3,92	3,88	3,86	3,87	3,7	3,7	3,7
$\varepsilon_F [\%]$	100	96	90	87	105	115	100	124
$\varepsilon_J [\%]$ JEĐNOLÍCNÍ	136	135	127	124	143	148	128	157
$\varepsilon_O [\%]$ OBOUJEDNÍ	372	370	354	348	386	396	356	414
$B_{max} [\%]$ JEĐNOLÍCNÍ	2,26	2,35	2,32	2,28	2,28	2,13	2,11	2,12
$B_{max} [\%]$ OBOUJEDNÍ	2,34	2,43	2,4	2,37	2,37	2,22	2,19	2,2
$\varepsilon_S [\%]$	126	130	141	145	115	106	132	94

Tabulka 10 - Vypočtené hodnoty tažnosti

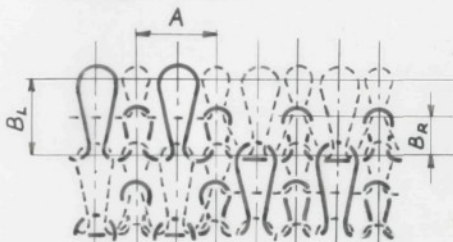
Z h o d n o c e n í :

Jak plyně z tabulek 9 a 10 klesá hodnota tažnosti ε_F se stoupající střídou vazby, čímž byl potvrzen výchozí předpoklad. Také hodnoty tažnosti ε_S klesají se stoupající střídou vazby, což je podmíněno rostoucí délkou jednolícního úseku.

1.2.2.4. Tažnost dvoubarevné šestizámkové pleteniny s hladkým rubem.

Tato pletenina je charakteristická tím, že na jeden rádek lícních oček připadají dva rádky rubních oček. Jeden barevný rádek je tvořen ze dvou přízí. Jedna příze plete úsek oboušní a úsek jednolící pleteniny, druhá ji vazebně doplňuje tím způsobem, že ve směru rubních sloupků na sebe navazují vždy dvě očka jednolící a dvě oboušní.

Struktura dvoubarevné šestizámkové pleteniny s hladkým rubem.

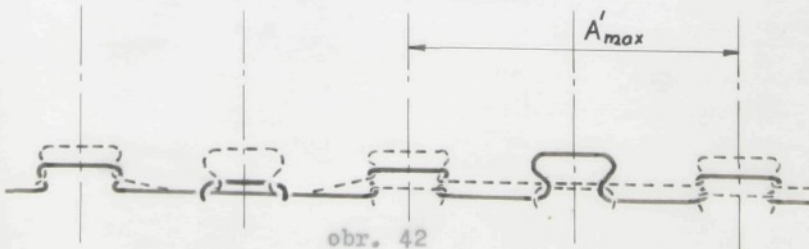


obr. 41

a) Tažnost ve směru rádků ε_x

Je-li pletenina namáhána ve směru rádku, zvětšuje se šířka očka z A na A_{\max} , kdy se vzorek přetrhne. Tako probíhá deformace u pletenin s konstatní délkou očka. Protože šestizámková pletenina obsahuje očka dvojí délky: l_L (délka lícního očka) a l_R (délka rubního očka), bude deformace probíhat takto: Úsek jednolící pleteniny bude vytahovat přízi z úseku oboušního, až se vyrovnají maximální šířky oček obou úseků.

Pletenina namáhaná ve směru rádků.



obr. 42

$$A_{\max j} + \Delta A = A_{\max 0} - \Delta A = A'_{\max} \quad (16)$$

$$\varepsilon_{\bar{x}} = \frac{A'_{\max} - A}{A} \cdot 100 \quad [\%] \quad (17)$$

$A_{\max j}$ maximální šířka očka jednolícniho úseku [mm]

$A_{\max 0}$ maximální šířka očka obouličniho úseku [mm]

b) Tažnost ve směru sloupků ε_s

Při namáhání ve směru sloupků je nutno jako základní jednotku uvažovat jedno očko lícni a dvě očka rubní.

Pro nezatiženou pleteninu platí

$$\lambda_L + 2\lambda_R = \text{konst.} \quad (18)$$

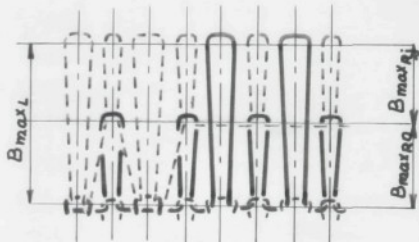
Pro zatiženou pleteninu platí

$$\lambda'_L + 2\lambda'_R = \text{konst.} \quad (19)$$

Rubní očka jsou dvojího druhu : obouliční a jednolícni

$$2\lambda'_R = \lambda'_{R0} + \lambda'_{Rj} \quad (20)$$

Pletenina namáhaná ve směru sloupků.



obr. 43

Pro výpočet se použije vztah $B_{\max Rj} = \frac{\lambda'_{Rj} - \frac{8}{3}\pi d'}{2}$

$$B_{\max RO} = \frac{\lambda'_{RO} - \frac{7}{3}\pi d'}{2}$$

$$B_{\max_L} = \frac{\ell'_L - \frac{7}{3}\pi d'}{2}$$

z nichž se vyjádří ℓ'_{Rj} , ℓ'_{RO} , ℓ'_{L} a dosadí se do (19)

$$2 B_{\max_L} + \frac{7}{3}\pi d' + 2 B_{\max_{Rj}} + \frac{8}{3}\pi d' + 2 B_{\max_{RO}} + \\ + \frac{7}{3}\pi d' = \ell'_{L} + \ell'_{Rj} + \ell'_{RO} \quad (21)$$

Mezi výškami rubního a lícního očka platí vztah

$$2 B_R = B_{Rj} + B_{RO} = B_L \quad (22)$$

$$2 B_{\max_R} = B_{\max_{Rj}} + B_{\max_{RO}} = B_{\max_L} \quad (23)$$

Řešením rovnic (21) a (23) je B_{\max_L} .

Tažnost ε_s šestizámkové pleteniny s hladkým rubem je dána vztahem

$$\varepsilon_s = \frac{B_{\max_L} - B_L}{B_L} \cdot 100 \quad [\%]$$

ℓ'_L	délka zatíženého lícního očka [mm]
ℓ'_R	délka zatíženého rubního očka [mm]
ℓ'_{RO}	délka zatíženého oboulicního rubního očka [mm]
ℓ'_{Rj}	délka zatíženého jednolicního rubního očka [mm]
$B_{\max_{Rj}}$	max. výška jednolicního rubního očka [mm]
$B_{\max_{RO}}$	max. výška oboulicního rubního očka [mm]
B_{\max_L}	max. výška lícního očka [mm]
B_R	výška rubního očka [mm]
B_L	výška lícního očka [mm]

	$E_{r1} [\%]$	$E_{r2} [\%]$	$E_{r3} [\%]$	$\bar{E}_r [\%]$	$E_{s1} [\%]$	$E_{s2} [\%]$	$E_{s3} [\%]$	$\bar{E}_s [\%]$
1:1	185	178	194	186	92	88	86	89
2:2	162	174	180	172	88	92	91	90
4:4	159	174	167	167	81	90	78	83
8:8	166	168	155	163	93	88	90	90
2x2	172	178	187	179	72	76	78	75
$\frac{2}{2}$	191	196	196	194	88	87	88	88
4x4	180	167	181	176	90	86	81	86
$\frac{4}{4}$	188	191	192	190	80	89	82	85

Tabulka 11 - Naměřené hodnoty tažnosti.

	1:1	2:2	4:4	8:8	2x2	$\frac{2}{2}$	4x4	$\frac{4}{4}$
H_{rR}^v / mm	130	133	134	138	128	120	125	126
H_{rL}^v / mm	65	66,5	67	69	64	60	62,5	63
$H_s' = H_s^v / \text{mm}$	56	56	58	54	59	59	57	60
$A [\text{mm}]$	1,78	1,78	1,72	1,84	1,69	1,69	1,75	1,66
$B_R [\text{mm}]$	0,77	0,75	0,72	0,71	0,78	0,83	0,8	0,79
$L_R [\text{mm}]$	5,49	5,48	5,3	5,49	5,4	5,5	5,5	5,34
$l'_R [\text{mm}]$	5,76	5,75	5,55	5,75	5,63	5,73	5,73	5,6
$l_L [\text{mm}]$	6,97	6,92	6,68	6,87	6,89	7,07	7,04	6,86
$l'_L [\text{mm}]$	7,31	7,26	7,0	7,2	7,22	7,4	7,39	7,2
A_{max}	3,83	3,82	3,63	3,83	3,7	3,8	3,85	3,68
A_{max}	9,22	9,15	8,7	9,1	9,0	9,29	9,31	8,95
A'_{max}	6,52	6,48	6,16	6,45	6,35	6,54	6,57	6,3
JEDNOLÍČNÍ $E_r^v [\%]$	115	114	111	108	118	124	120	121
OBDOBULÍČNÍ $E_r^v [\%]$	418	414	405	394	432	450	432	439
$E_r^v [\%]$	266	260	258	251	275	286	276	280
B_{maxR}	1,91	1,91	1,81	1,91	1,85	1,9	1,92	1,84
B_{maxL}	2,77	2,75	2,62	2,72	2,73	2,82	2,81	2,72
JEDNOLÍČNÍ $E_S [\%]$	148	154	151	169	137	128	140	133
OBDOBULÍČNÍ $E_S [\%]$	80	80	82	90	75	70	75	72
$E_S [\%]$	115,8	120,4	118,4	128,7	107,6	101	109,3	103,6

Tabulka 12 - Vypočtené hodnoty tažnosti.

Z h o d n o c e n í :

Hodnoty tažnosti ε_x klesají se stoupající střídou vazby. Vypočtené hodnoty jsou vyšší než naměřené. Tato pletenina je tvořena úseky oboulicními a jednolicními. Jednolící pletenina má nižší tažnost ε_x než oboulicní a protože se pletenina nedeformuje ideálně, tzn. že každé rubní jednolící očko nevytahne z očka lícovního stejnou délku příze, leží naměřené hodnoty tažnosti ε_x mezi hodnotami vypočtenými a hodnotami tažnosti hladké jednolící pleteniny.

Porovnání tažností daných tří vazeb:

Největší tažnost ε_x má dvoubarevná šestizámková pletenina s hladkým rubem, nejnižší oboulicní pletenina s podloženým lícem.

Největší tažnost ε_s vykazuje oboulicní pletenina s podloženým lícem, nejnižší jednolící podkládaná pletenina.

1.3. Pružnost.

1.3.1. Vymezení definice pružnosti.

Pružnost je jednou z nejcharakterističtějších vlastností pletenin. Obecně se definuje jako schopnost materiálu deformovat se vlivem zatěžující síly a vrátit se opět do původního tvaru. Je zřejmé, že jde o pojem, který musíme pro měření koncretizovat. Jak vyplývá z definice, bude muset hodnocení pružnosti opět vycházet z deformačních vlastností pletenin, stejně jako u tažnosti.

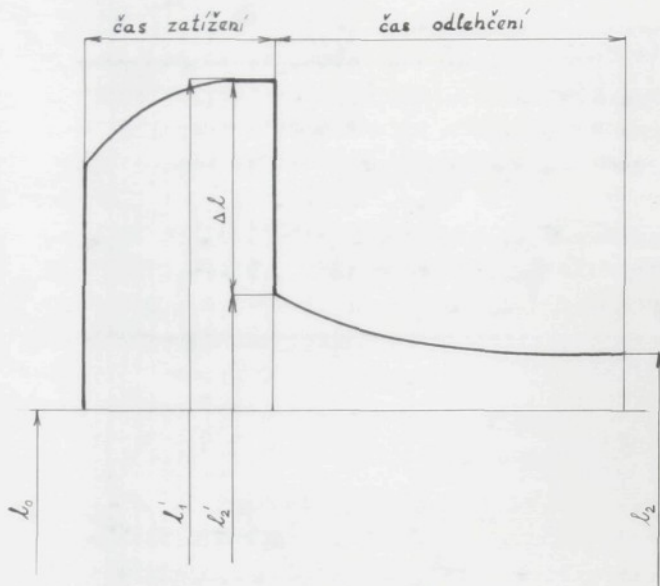
Musíme řešit tyto problémy:

směrové působení zatěžujících sil,
velikost tahového namáhání a jeho časový průběh.

Protože je pružnost závislá na existenci tažnosti, řešení se shoduje a je možno vyvodit tytéž závěry. Bude tedy nutné sledovat pružné vlastnosti pletenin ve směru sloupků a řádků a při jednorázovém a více-cyklovém namáhání, tj. při únavě.

Bude správné vycházet při hodnocení pružných vlastností pletenin vždy z protažení po zatížení a smrštění po odlehčení, což nejvíce vyhovuje definici pružnosti.

Je-li pletenina zatížena určitou silou, deformuje se tzn. zvětšuje se její rozměr ve směru namáhání. Po odlehčení dochází k okamžitému smrštění pleteniny, ale ne na původní rozměr. V průběhu odlehčování se pletenina dále pozvolna smrštěje, neboli zotavuje. Teoreticky by pletenina měla po někonečně dlouhém zotavovacím čase nabýt opět původních rozměrů. Prakticky však pletenině zůstane určitý podíl deformace, tzv. deformace zbytková neboli trvalá. Velikost trvalé deformace závisí na druhu příze a jejích vlastnostech, na vazbě pleteniny, hustotě atd. Obr. 44 znázorňuje průběh deformace při jednocyklovém namáhání, tj. zatížení a odlehčení.



obr. 44

$l_1^* - l_2^* = \Delta l$ deformace pružná

$l_2^* - l_2$ deformace pružná, ale časová
(elasticická)

$l_1^* - l_2$ deformace vratná,

$l_2 - l_0$ deformace trvalá (plasticická,
nevratná)

$l_1^* - l_0$ deformace celková

Pro vyjádření pružnosti bychom měli použít hodnotu pružné deformace Δl . Rychlosť vzniknutí této deformace bude totožná s rychlosťí odlehčovania, což téměř znemožňuje odečítání. Pokud používame systém odečítání, který vyžaduje určité časové období, počítáme vždy k pružné deformaci také časť deformacie elastickej. Elasticická deformacie je také pružná ale její rychlosť narúšaní je značne menší. V praxi se proto většinou pružná a elasticická deformacie slúčujú a označuje sa ako deformacie vratná. Tretí časť deformacie se pone-

chává samostatně jako deformace nevratná (trvalá). Velikost elastickej deformace, která se do vratné zahrnuje, závisí na době, za kterou odečítáme. Vzhledem k tomu, že není možno používat pro více měření dlouhé časové období (několik dní), je nutné počítat s jistou nepřesností a je třeba dobu odečítání přesně vymezit a zachovávat stejnou.

Stupeň pružnosti pleteniny se vyjadřuje pomocí modulu pružnosti E, který se dá vyjádřit několika způsoby. Nejčastěji se vyjadřuje jako podíl vratné deformace ku celkové a udává se v %.

$$E = \frac{l_1 - l_2}{l_1 - l_0} \cdot 100 \% \quad (25)$$

1.3.2. Vymezení podmínek zkoušení.

1.3.2.1. Velikost zatěžující síly.

Při zjišťování pružnosti pletenin je třeba se co nejvíce přiblížit praktickému používání. Velikost zatěžující síly byla volena tak, aby tato byla úměrná pevnosti pleteniny a naměřené hodnoty byly srovnatelné. Experimentálně se zjistilo, že nejlépe vyhovuje hodnota zatížení 5 % pevnosti pleteniny.

1.3.2.2. Způsob zatěžování a odlehčování vzorku v časové závislosti.

Vzhledem k tomu, že deformace pleteniny je závislá také na čase, je nutno vymezit působnost času již během zkoušky pružnosti pleteniny. Toto vymezení se bude týkat dvou období zkoušky.

- a) období vlastního zatěžování vzorku,
- b) období při zatíženém vzorku na plnou hodnotu.

Z tohoto hlediska můžeme vymezit dva druhy zkoušek pružnosti.

1. Postupné zatěžování vzorku pleteniny až do určité meze,
2. okamžité zatížení pleteniny zatěžující silou a sledování protažení vzorku pleteniny při tomto zatížení v závislosti na čase. Tento proces se označuje jako r e t a r d a c e. Sledována je pak závislost protažení - čas. Tento případ je však poněkud zidealizován, protože přístroje nemohou provádět okamžité zatěžování. Pro dokonalou srovnatelnost jednotlivých měření by se mělo daného zatížení dosáhnout vždy za stejnou dobu, což je ve skutečnosti neproveditelné. Pro r e l a - x a c i nebo li samovolné smrštování odlehčení pleteniny platí podobné závěry jen s tím rozdílem, že nepřesnost dodržování časových úseků závisí jen na obsluze.

1.3.3. Vlastní měření

1.3.3.1. Podmínky měření

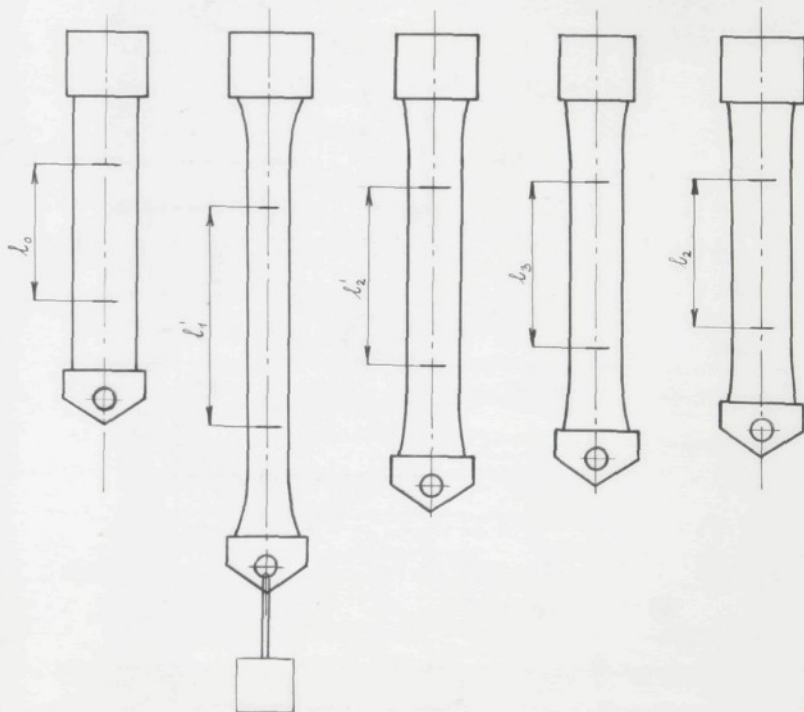
Měření se provádí u pleteniny ve stabilním stavu. Pletenina v nestabilním stavu se musí stabilizovat v klimatizovaném prostředí po dobu 12 dní. Pletenina ve stabilním stavu se nechá 24 hodin před zkouškou v klimatizovaném prostředí, kde probíhá i měření.

1.3.3.2. Velikost a tvar vzorku

Pro měření bylo použito obdélníkového vzorku rozměrů 50 x 200 mm s konci pro upnutí. Ve vnitřní části byly vyznačeny dvě rysky ve vzdálenosti 100 mm. Vzorky byly upnuty do čelisti mimo přístroj a jako celek umístěny do přístroje. Váha spodní čelisti a držáku byla zahrnuta do celkové zatěžující síly. Byla použita spodní čelist váhy 21,2 p a držák závaží 44,8 p.

1.3.3.3. Způsob měření

Připravený vzorek byl zavěšen pomocí horní čelisti na rám přístroje, takže spodní čelist tvořila jakési předpětí. Po dvou minutách byla odečtena délka měřeného úseku l_0 . Pak bylo na spodní čelist zavěšeno závaží, jehož hodnota odpovídala 5 % pevnosti příslušné pleteniny. Od tohoto okamžiku byl sledován čas zatěžování. Deformace vzorku nastala okamžitě po zatížení, dosáhla určité hodnoty a s časem narůstala velice málo. Po dvou minutách byla odečtena hodnota protaženého vzorku l_1 . Závaží bylo sejmuto a od tohoto okamžiku byl sledován čas odlehčení. Okamžitě po sejmnutí závaží byla změřena délka l_2 po dvou minutách l_3 a po šedesáti minutách l_4 .



		č.	po řádku				po sloupci			
			5%K[kp] L ₁ [mm] L ₂ [mm]	L ₁ [mm] L ₂ [mm]	L ₃ [mm] L ₂ [mm]	L ₂ [mm] L ₃ [mm]	5%K[kp] L ₁ [mm] L ₂ [mm]	L ₁ [mm] L ₃ [mm] L ₂ [mm]	L ₂ [mm] L ₁ [mm] L ₃ [mm]	
1:1	1.	1.	203	135	125	121	158	121	111	106
		2.	1,72	199	134	124	118	1,62	156	120
		3.		205	136	127	116		158	121
	průměr			203	135	125	118		157	121
	2:2	1.	202	133	127	120	1,70	157	120	109
		2.	1,59	203	133	123	117		159	121
		3.		203	133	120	116		151	120
	průměr			203	133	123	118		156	120
4:4	1.	1.	192	132	119	111	1,20	152	116	112
		2.	1,36	193	133	120	111		143	114
		3.		194	133	119	111		148	114
	průměr			193	133	119	111		148	115
	8:8	1.	180	119	109	105	1,28	144	112	108
		2.	1,17	180	119	108	103		148	114
		3.		175	118	107	103		143	112
	průměr			178	119	108	104		145	113
2x2	1.	1.	201	132	124	119	1,50	150	118	106
		2.	1,35	195	130	123	118		149	117
		3.		195	130	120	115		150	118
	průměr			197	131	122	117		150	118
	2/2	1.	207	145	131	123	1,85	155	120	108
		2.	1,73	207	145	130	124		157	120
		3.		199	143	125	120		157	120
	průměr			204	144	129	122		156	120
4x4	1.	1.	187	128	113	109	1,37	150	116	105
		2.	1,20	190	129	115	113		143	113
		3.		186	127	113	111		145	114
	průměr			188	128	114	111		146	114
	4/4	1.	198	137	123	115	1,47	148	114	109
		2.	1,35	197	137	125	119		148	113
		3.		197	136	123	117		153	114
	průměr			197	137	124	117		150	114

Tabulka 13 - Naměřené hodnoty deformace při jednocyklovém namáhání dvoubarevné jednolící podkládané pleteniny

		odlehčení											
		0 min.				2 min.				60 min.			
str.	směr	E_1 [%]	E_2 [%]	E_3 [%]	\bar{E} [%]	E_1 [%]	E_2 [%]	E_3 [%]	\bar{E} [%]	E_1 [%]	E_2 [%]	E_3 [%]	\bar{E} [%]
1:1	s	63	64	63	63	81	85	80	82	89	87	85	87
	ř	66	65	65	65	75	75	74	75	79	81	84	81
2:2	s	65	64	60	63	84	80	84	83	87	83	90	86
	ř	67	68	68	68	73	77	80	76	80	83	84	82
4:4	s	69	67	70	69	76	90	89	85	82	97	98	92
	ř	65	64	64	64	79	78	79	79	88	89	90	89
8:8	s	72	70	72	71	81	89	90	86	95	95	97	96
	ř	76	76	76	76	88	90	90	89	93	97	96	95
2x2	s	64	65	64	64	88	89	90	89	90	94	92	92
	ř	68	68	68	68	76	75	78	76	81	81	84	82
$\frac{2}{2}$	s	63	65	65	64	85	84	82	84	89	91	91	90
	ř	58	58	56	57	71	72	74	72	78	77	79	78
4x4	s	67	68	68	68	90	90	91	90	94	97	95	95
	ř	68	70	69	69	85	83	84	84	89	85	87	87
$\frac{4}{4}$	s	70	73	73	72	81	87	81	83	87	89	86	87
	ř	62	62	62	62	76	74	76	75	84	80	82	82

Tabulka 14 - Vypočtené hodnoty modulu pružnosti dvoubarevné jednolícní podkládané pleteniny.

Průběh deformace při jednocyklovém namáhání dvoubarevné jednolící podkládané pleteniny.



$$\Delta l'_1 = \frac{l'_1 - l_0}{2}$$

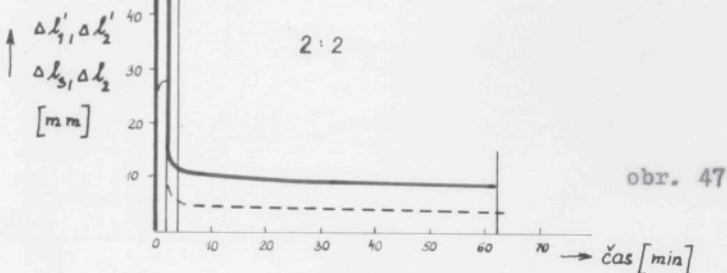
$$\Delta l'_2 = \frac{l'_2 - l_0}{2}$$

$$\Delta l'_3 = \frac{l'_3 - l_0}{2}$$

$$\Delta l'_4 = \frac{l'_4 - l_0}{2}$$

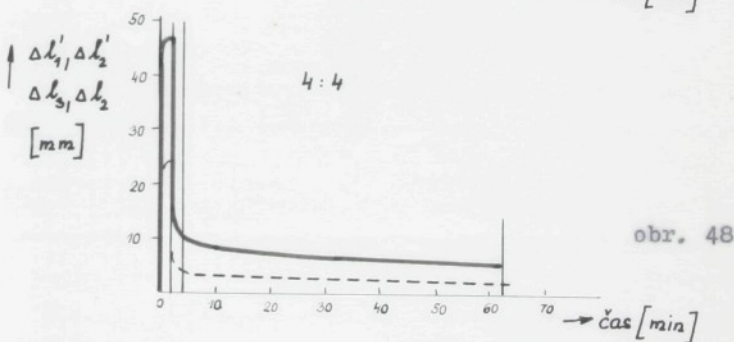
1 : 1

obr. 46



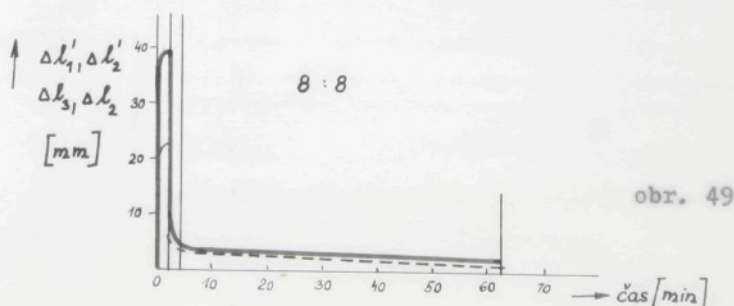
2 : 2

obr. 47



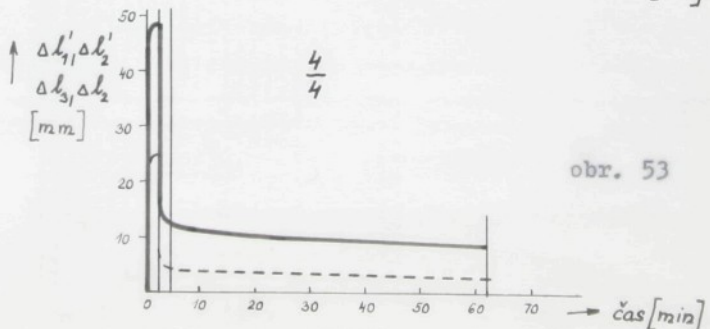
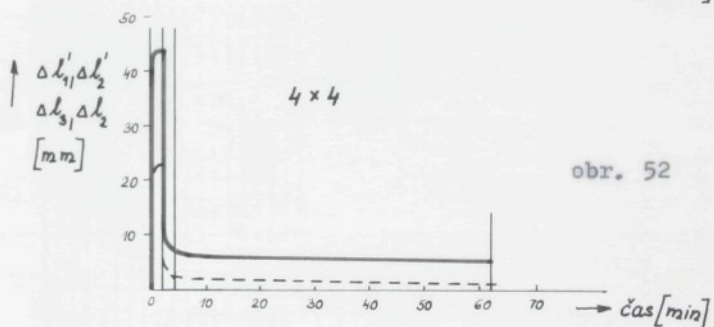
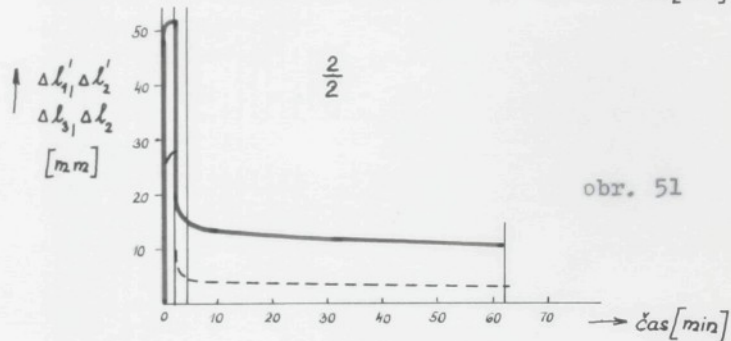
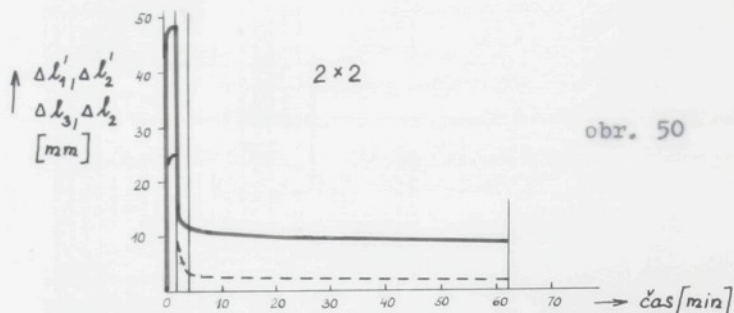
4 : 4

obr. 48



8 : 8

obr. 49



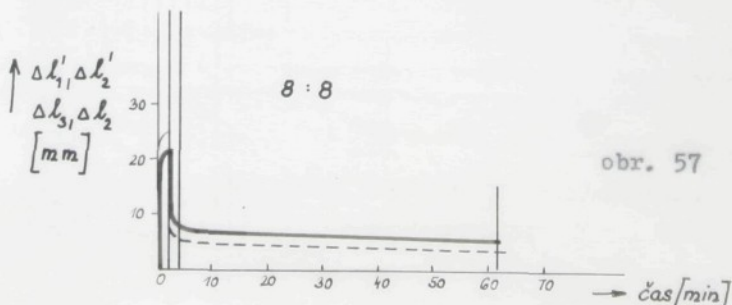
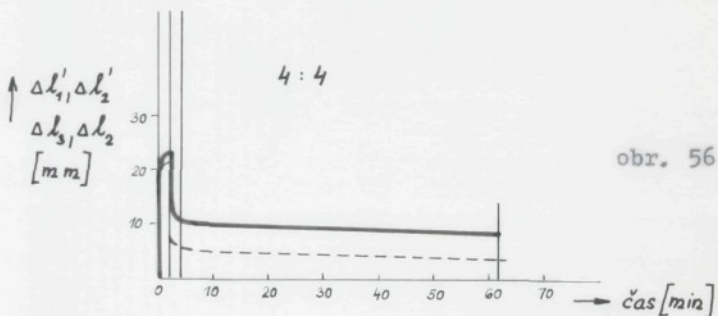
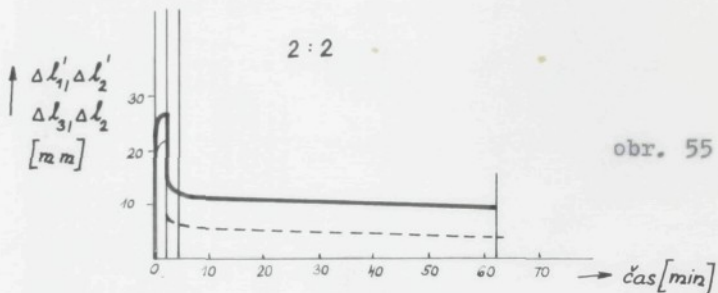
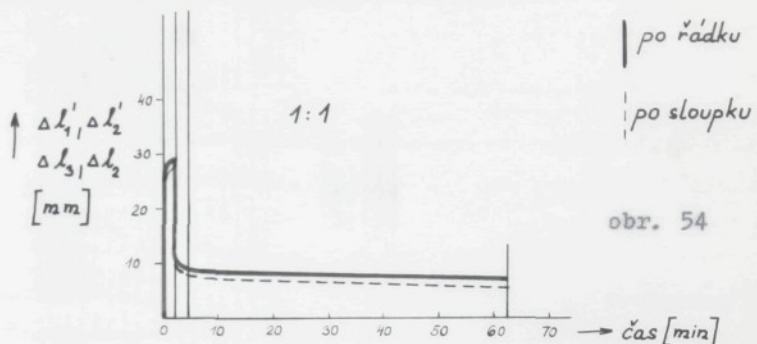
stř.		č.	po řádku					po sloupci				
			5%K[kp]	$L_1[m_m]$	$L_2[m_m]$	$L_3[m_m]$	$L_4[m_m]$	5%K[kp]	$L_1[m_m]$	$L_2[m_m]$	$L_3[m_m]$	$L_4[m_m]$
1:1	1.	1.		158	123	120	117	2,89	154	119	115	113
		2.	3,81	159	122	117	115		156	120	116	111
		3.		155	122	115	112		157	119	115	112
	průměr			157	122	117	115		156	119	115	112
	2:2	1.	3,54	153	128	123	120	2,88	141	112	108	106
		2.		153	127	122	119		151	116	115	111
		3.		154	128	123	119		143	114	112	107
4:4	průměr			153	128	123	119		145	114	112	108
	1.	1.	2,92	144	122	118	114	2,59	144	112	109	107
		2.		145	123	120	116		144	113	110	108
		3.		146	123	120	118		151	113	112	109
	průměr			145	123	119	116		146	113	110	108
	8:8	1.	2,47	143	121	116	110	3,02	146	113	106	105
		2.		141	119	112	108		148	114	111	107
		3.		142	119	112	108		152	116	111	108
2x2	průměr			142	119	113	109		150	114	109	107
	1.	1.	3,28	167	129	120	114	2,64	147	117	109	105
		2.		168	129	119	113		147	117	108	105
		3.		167	129	120	114		138	116	107	104
	průměr			167	129	120	114		144	117	108	105
	$\frac{2}{2}$	1.	3,60	176	133	123	118	2,79	152	115	110	108
		2.		185	134	125	120		146	114	108	106
		3.		170	131	116	112		153	114	108	107
4×4	průměr			177	133	121	117		150	114	109	107
	1.	1.	2,71	157	131	119	114	2,17	133	112	105	103
		2.		162	131	118	113		135	112	106	103
		3.		155	130	115	111		141	113	107	104
	průměr			158	131	117	113		136	112	106	103
	$\frac{4}{4}$	1.	2,50	178	134	120	116	3,20	138	111	105	104
		2.		177	134	119	115		138	111	106	105
		3.		177	133	118	114		135	110	104	103
	průměr			177	134	119	115		137	111	105	104

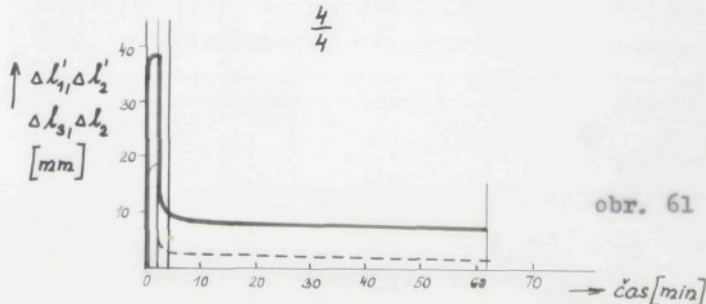
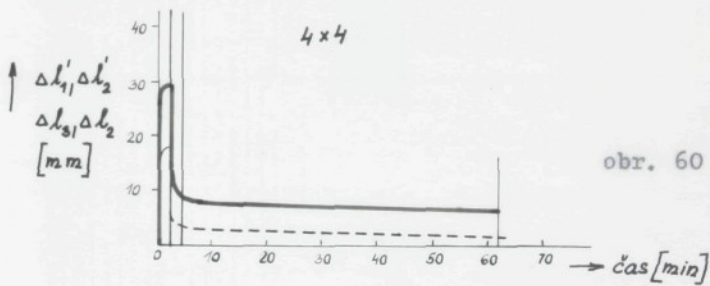
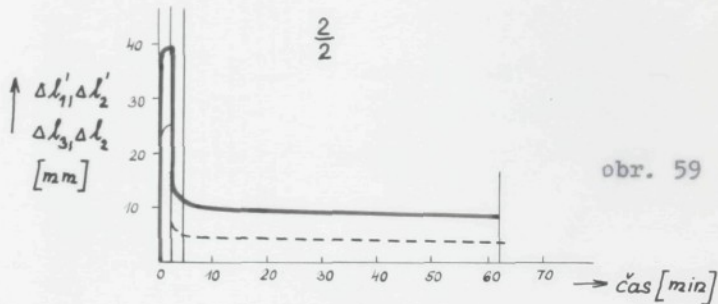
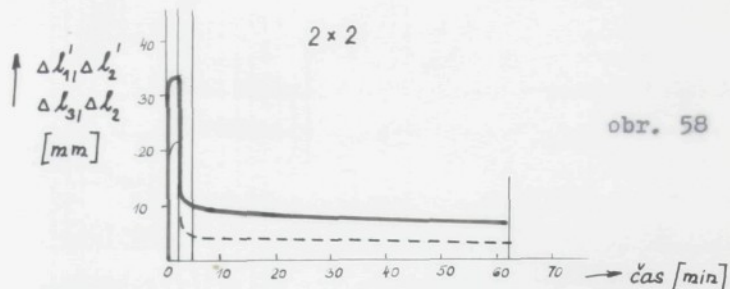
Tabulka 15 - Naměřené hodnoty deformace při jednocyklovém namáhání dvoubarevné oboušlití pleteniny s podloženým licem.

		odlehčení											
		0 min.				2 min.				60 min.			
stř.	smár	E_1 [%]	E_2 [%]	E_3 [%]	\bar{E} [%]	E_1 [%]	E_2 [%]	E_3 [%]	\bar{E} [%]	E_1 [%]	E_2 [%]	E_3 [%]	\bar{E} [%]
1:1	s	65	64	66	65	72	71	73	72	76	80	78	78
	ř	60	62	60	61	64	71	72	69	70	74	78	74
2:2	s	70	68	67	68	80	70	72	74	85	80	81	82
	ř	47	49	48	48	56	58	57	57	62	64	65	64
4:4	s	72	70	74	72	79	77	76	77	84	82	82	83
	ř	50	48	50	49	59	55	56	57	68	64	60	64
8:8	s	70	70	69	70	87	77	78	81	89	85	85	86
	ř	51	53	54	53	62	70	71	68	76	80	80	79
2x2	s	64	64	58	62	80	83	81	81	89	89	89	89
	ř	56	57	56	56	70	72	70	71	79	80	79	79
$\frac{2}{2}$	s	71	69	73	72	80	82	84	82	84	87	86	86
	ř	56	60	56	57	69	70	77	72	76	76	82	78
4x4	s	63	65	68	65	84	83	83	83	90	91	90	90
	ř	45	50	44	46	66	71	72	70	75	79	80	78
$\frac{4}{4}$	s	71	71	71	71	86	84	88	86	89	87	91	89
	ř	56	55	57	56	74	75	76	75	79	80	81	80

Tabulka 16 - Vypočtené hodnoty modulu pružnosti dvoubarevné oboušicí pleteniny s podloženým lícem.

Průběh deformace při jednocyklovém namáhání dvoubarevné oboušícní pleteniny s podloženým lícem,





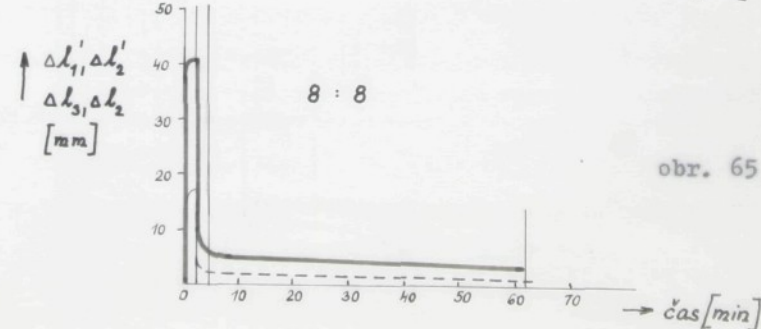
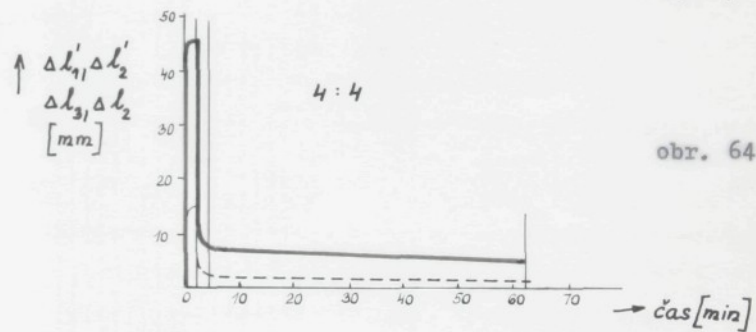
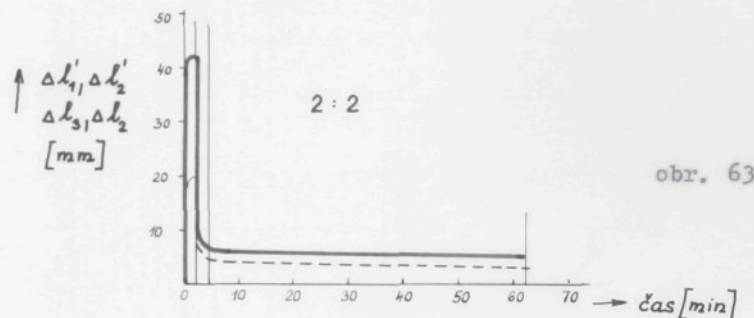
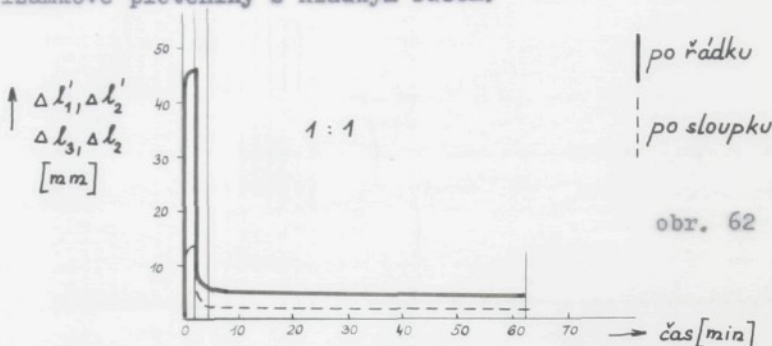
stř.	č.	po řádku					po sloupci				
		5%K [kp] l ₁ [mm]	l ₂ [mm]	l ₃ [mm]	l ₄ [mm]	5%K [kp] l ₁ [mm]	l ₂ [mm]	l ₃ [mm]	l ₄ [mm]		
1:1	1.	190	119	111	109	2,65	128	110	104	104	
	2.	1,51	195	120	112		126	109	103	103	
	3.	192	117	112	110		126	110	103	102	
	průměr	192	119	112	110		127	110	103	103	
	1.	182	123	113	110		138	118	107	105	
	2.	1,48	183	122	112		138	117	107	105	
2:2	3.	186	124	114	111	2,54	140	119	107	106	
	průměr	184	123	113	110		139	118	107	105	
	1.	189	123	115	111		129	109	103	102	
	2.	1,46	193	123	115		129	108	103	103	
	3.	192	122	114	111		129	110	102	102	
	průměr	191	123	115	111		129	109	103	102	
4:4	1.	185	122	113	108	3,14	135	109	106	103	
	2.	1,87	180	120	112		132	109	103	102	
	3.	182	121	110	106		131	110	103	101	
	průměr	182	121	112	107		133	109	104	102	
	1.	213	136	123	119		135	113	104	103	
	2.	1,61	212	135	121		134	112	104	103	
8:8	3.	206	133	119	116	2,57	134	113	104	103	
	průměr	210	135	121	118		134	113	104	103	
	1.	196	125	116	109		137	111	105	103	
	2.	1,74	195	123	115		137	111	105	103	
	3.	192	121	112	109		135	110	104	103	
	průměr	194	123	114	109		136	111	105	103	
2x2	1.	191	123	114	106	2,85	136	110	104	102	
	2.	1,54	192	123	113		141	111	105	103	
	3.	189	122	113	107		134	109	103	102	
	průměr	191	123	113	106		137	110	104	102	
	1.	203	148	120	116		142	115	105	104	
	2.	1,80	205	148	118		137	114	105	104	
4x4	3.	204	147	118	115	3,41	137	114	104	104	
	průměr	204	148	119	115		139	114	105	104	
	1.	203	148	120	116						
	2.	205	148	118	115						
	3.	204	147	118	115						
	průměr	204	148	119	115						

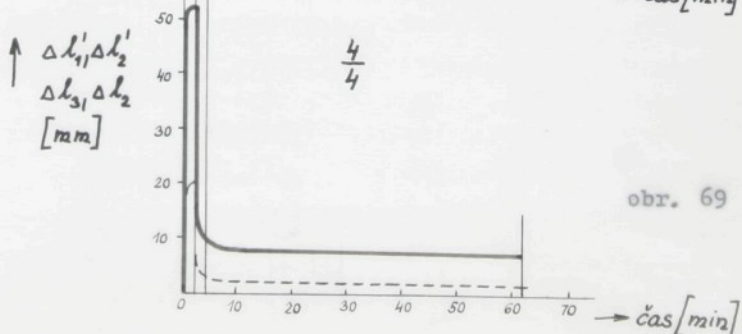
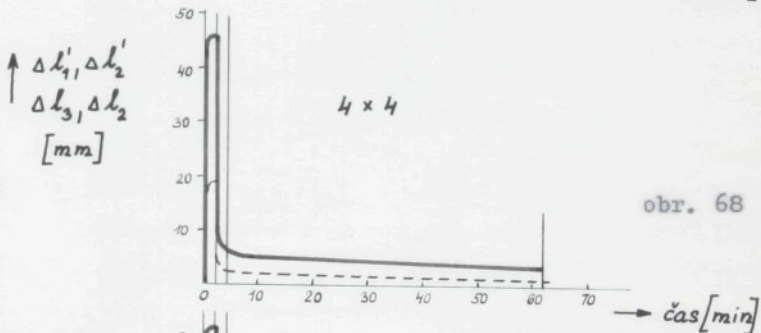
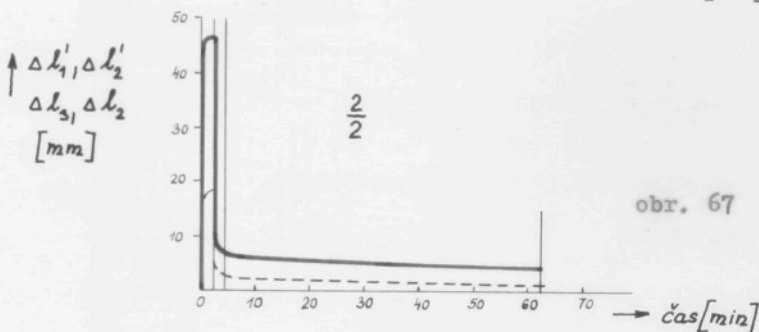
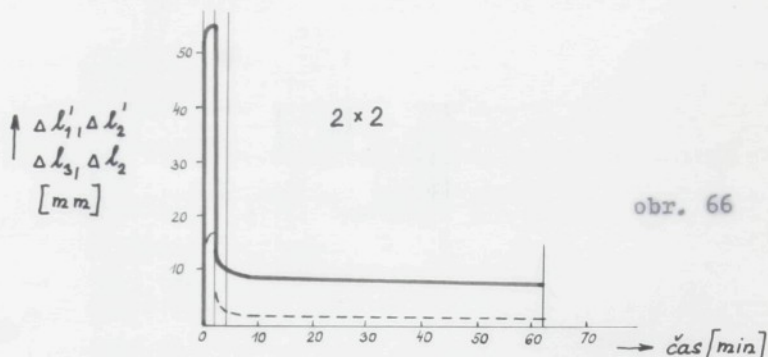
Tabulka 17 - Naměřené hodnoty deformace při jednocyklovém namáhání dvoubarevné šestizámkové pleteniny s hladkým rubem.

		odlehčení															
		0 min.				2 min.				60 min.							
stř.	směr	[%]	E ₁	[%]	E ₂	[%]	E ₃	[%]	E	[%]	E ₁	[%]	E ₂	[%]	E ₃	[%]	E
1:1	s	64	65	61	63	85	88	88	87	85	88	92	89				
	ř	79	79	81	80	87	87	87	87	90	89	89	89				
2:2	s	52	55	52	53	81	81	82	81	87	87	85	86				
	ř	72	73	72	72	84	85	83	84	87	89	87	88				
4:4	s	68	72	65	68	89	89	90	89	93	89	93	92				
	ř	74	75	76	75	83	83	84	83	87	87	88	87				
8:8	s	74	72	68	71	82	90	90	87	91	93	96	93				
	ř	73	72	74	73	84	85	87	85	90	92	92	91				
2x2	s	63	65	62	63	88	88	88	88	91	91	91	91				
	ř	68	68	68	68	79	81	82	81	83	83	84	83				
$\frac{2}{2}$	s	70	70	71	70	86	86	88	87	91	91	91	91				
	ř	74	75	77	75	83	84	86	84	90	91	90	90				
4x4	s	72	73	73	73	88	87	91	89	94	92	94	93				
	ř	74	75	75	75	84	85	85	85	93	93	92	93				
$\frac{4}{4}$	s	64	62	62	63	88	86	89	88	90	89	89	89				
	ř	53	54	55	54	80	82	82	81	84	85	85	85				

Tabulka 18 - Vypočtené hodnoty modulu pružnosti dvoubarevné šestizámkové pleteniny s hladkým rubem.

Průběh deformace při jednocyklovém namáhání dvoubarevné šestizámkové pleteniny s hladkým rubem.





Porovnání pružnosti daných tří vazeb.

Hodnoty modulu pružnosti E dvoubarevné jednolící podkládané pleteniny vesměs stoupají se stoupající střídou vazby a to po sloupu i po řádku, přičemž po sloupu jsou hodnoty E větší. Hodnoty E zbylých dvou vazeb kolísají. Nejvyšších hodnot E dosahuje dvoubarevná šestizámková pletenina s hladkým rubem a to po sloupu i po řádku.

1.4. Váha 1 m²

Váha 1 m² je důležitý parametr pleteniny z hlediska výrobce i spotřebitele. Čím vyšší váha 1 m², tím je vyšší spotřeba materiálu a roste tím i cena výrobku. Váha 1 m² závisí na vazbě pleteniny, celkové hustotě pleteniny, délce očka a na čísle metrickém použité příze.

Výpočet váhy 1 m²1.4.1. Dvoubarevná jednolící podkládaná pletenina

Celkovou váhu 1 m² (G) pleteniny uvažujeme jako součet dvou dílčích vah : váhy plochy pleteniny tvořené očky (G₁) a váhy plochy pleteniny tvořené podloženými úsekly (G₂).

$$G = G_1 + G_2 \quad [g/m^2] \quad (26)$$

$$G_1 = \frac{H_s \cdot H_r \cdot l}{10 \text{ cm}} \quad [g/m^2] \quad (27)$$

$$G_2 = \frac{H_s \cdot H_r \cdot t}{10 \text{ cm}} \quad [g/m^2] \quad (28)$$

Vzhledem k úpravě, kterou bylo nutno provést u vzorků dvoubarevné jednolící podkládané pleteniny, bude váha 1 m², této pleteniny vyjádřena takto :

$$G = G_1 + G_2 \quad [g/m^2] \quad (29)$$

$$G_1 = \frac{H_s \cdot H_r \cdot l}{10 \text{ cm}} \quad [g/m^2] \quad (30)$$

$$G_2 = \frac{\frac{H_s}{2} \cdot H_r \cdot t}{10 \text{ cm}} \quad [g/m^2] \quad (31)$$

1.4.2. Dvoubarevná oboulicní pletenina s podloženým lícem.

Úvaha je úplně stejná jako pro dvoubarevnou jednolící podkládanou pleteninu.

$$G = G_1 + G_2 \quad [g/m^2] \quad H_s = H'_s + H''_s \quad (32)$$

$$G_1 = \frac{H'_s \cdot H'_x \cdot l}{10 \text{ cm}} \quad [g/m^2] \quad (33)$$

$$G_2 = \frac{\frac{H''_s}{2} \cdot H''_x \cdot t}{10 \text{ cm}} \quad [g/m^2] \quad (34)$$

1.4.3. Dvoubarevná šestizámková pletenina s hladkým rubem.

Celkovou váhu 1 m² (G) uvažujeme jako součet dvou dílčích vah : váhy plochy pleteniny tvořené lícními očky (G₁) a váhy plochy pleteniny tvořené rubními očky (G₂).

$$G = G_1 + G_2 \quad [g/m^2] \quad (35)$$

$$G_1 = \frac{H'_s \cdot \frac{H'_x}{2} \cdot l_L}{10 \text{ cm}} \quad [g/m^2] \quad (36)$$

$$G_2 = \frac{H''_s \cdot H''_x \cdot l_R}{10 \text{ cm}} \quad [g/m^2] \quad (37)$$

H _s	hustota sloupků	/ 10 cm
H _x	hustota řádků (rub.)	/ 10 cm
H' _s	hustota lícních sloupků	/ 10 cm
H'' _s	hustota rubních sloupků	/ 10 cm
l	délka očka	[mm]
l _L	délka lícního očka	[mm]
l _R	délka rubního očka	[mm]
čm	číslo metrické příze	[m/g]
t	rozteč jehel	[mm]

váha 1dm ² [g/dm ²]				
střída	č.	jednolící	podložený líc	šestizámek
1:1	1.	2,5273	4,9782	4,9896
	2.	2,536	4,8013	4,821
	3.	2,5328	5,0448	4,8356
	prům.	2,576	4,9444	4,8821
2:2	1.	2,5724	4,5539	4,8622
	2.	2,5194	4,6103	4,9978
	3.	2,6364	4,7409	4,7058
	prům.	2,532	4,635	4,87
4:4	1.	2,5214	4,411	5,0244
	2.	2,4676	4,6752	5,0592
	3.	2,4055	4,8277	4,8054
	prům.	2,4648	4,3046	4,963
8:8	1.	2,3316	4,789	5,0341
	2.	2,4126	4,9203	4,8155
	3.	2,4254	4,8483	4,8624
	prům.	2,3898	4,8525	4,904
2x2	1.	2,5973	5,0004	4,6279
	2.	2,5432	4,972	4,7707
	3.	2,5272	5,0043	4,6809
	prům.	2,5559	4,9922	4,6932
$\frac{2}{2}$	1.	2,6631	5,028	4,843
	2.	2,6276	4,9618	4,8525
	3.	2,5783	5,0091	4,8532
	prům.	2,6096	4,9996	4,8495
4x4	1.	2,454	5,1844	4,7068
	2.	2,4961	5,01	4,6978
	3.	2,4718	4,9938	4,7398
	prům.	2,4739	5,0627	4,7148
$\frac{4}{4}$	1.	2,5594	5,2321	4,7049
	2.	2,5858	5,3606	4,6455
	3.	2,5688	5,3486	4,7721
	prům.	2,5713	5,3137	4,7075

Tabulka 19 - Naměřené hodnoty váhy 1 dm²

střída	jednolící							
	1:1	2:2	4:4	8:8	2x2	$\frac{2}{2}$	4x4	$\frac{4}{4}$
$H_f / 10\text{cm}$	75	74	75	75	73	72	72	72
$H_s / 10\text{cm}$	61	60	60	56	62	62	58	63
$l [mm]$	6,4	6,4	6,4	6,6	6,4	6,4	6,6	6,4
$G_1 [g/m^2]$	207,5	204,2	205,7	197,1	205,6	202,9	196,8	206,7
$G_2 [g/m^2]$	49	47,5	48,2	45	48,5	47	44,7	48,6
$G [g/m^2]$	256,5	251,7	253,9	242,1	254,1	249,9	241,5	255,3

Tabulka 20 - Vypočtené hodnoty váhy 1 m² dvoubarevné jednolící podkládané pleteniny.

střída	podložený líc							
	1:1	2:2	4:4	8:8	2x2	$\frac{2}{2}$	4x4	$\frac{4}{4}$
$H_f / 10\text{cm}$	100	98	104	107	94	97	109	91
$H_s / H_f / 10\text{cm}$	52	50	49	49	53	58	54	60
$l [mm]$	6,2	6,3	6,3	6,3	6,2	5,9	5,9	5,9
$G_1 [g/m^2]$	456,8	442,2	455,6	462,6	441,2	474,2	492,7	460,2
$G_2 [g/m^2]$	55,7	52,4	54,6	55,8	53,3	60,1	63,1	58,4
$G [g/m^2]$	512,5	494,6	510,2	518,4	494,5	534,3	555,8	518,6

Tabulka 21 - Vypočtené hodnoty váhy 1 m² dvoubarevné obouličení pleteniny s podloženým lícem.

střída	šestizámek							
	1:1	2:2	4:4	8:8	2x2	$\frac{2}{2}$	4x4	$\frac{4}{4}$
$H_f / 10\text{cm}$ RUBBNI	130	133	134	138	128	120	125	126
$H_s / H_f / 10\text{cm}$	56	56	58	54	59	59	57	60
$l [mm]$	6,97	6,92	6,68	6,87	6,89	7,07	7,04	6,96
$l_R [mm]$	5,49	5,48	5,3	5,49	5,4	5,5	5,5	5,34
$G_1 [g/m^2]$	181,2	184,1	185	182,7	185,3	178,2	178,8	185,2
$G_2 [g/m^2]$	285,5	291,5	293,6	292,1	290,5	277,2	279,4	288,4
$G [g/m^2]$	466,7	475,6	478,6	474,8	475,8	455,4	458,2	473,6

Tabulka 22 - Vypočtené hodnoty váhy 1 m² dvoubarevné šestizámkové pleteniny s hladkým rubem.

váha 1m ² [g/m ²]			
střída	jednolící	podložený líc	šestizámk
1:1	257,6	494,14	488,21
2:2	253,2	463,5	487
4:4	246,8	430,46	496,3
8:8	238,98	485,25	490,4
2x2	255,59	499,22	469,32
$\frac{2}{2}$	260,96	499,96	484,95
4x4	247,39	506,27	471,48
$\frac{4}{4}$	257,13	531,37	470,75

Tabulka 23 - Průměrné naměřené hodnoty váhy 1 m²Způsob měření.

Zkouška byla provedena v klimatizovaném prostředí. Vzorky velikosti 100 x 100 mm byly zváženy na laboratorních vahách. Váha 1 m² pleteniny se získá přepočtem.

Porovnání váhy 1 m² daných tří vazeb.

Největší hodnotu váhy 1 m² vykazuje dvoubarevná obou-lící pletenina s podloženým lícem, nejmenší dvoubarevná jednolící podkládaná pletenina. Naměřené a vypočtené hodnoty váhy 1 m² si odpovídají.

1.5. Tuhost

1.5.1. Vymezení definice tuhosti

Ohybová tuhost zůstává jednou z nejhůře prozkoumaných a nejméně známých vlastností textilních materiálů. Tato skutečnost je v příkrém rozporu s důležitou a leckdy dokonce hlavní úlohou, kterou ohyb hraje při výrobě, zpracování a použití textilních materiálů a výrobků. Důležitost zkoumání a hodnocení ohybových vlastností textilních vláken přitom ve spojitosti s rozvojem výroby a zpracování chemických vláken stále vzrůstá.

Vliv ohybových vlastností textilních vláken se zvláště výrazně projevuje při tvoření oček pletenin, dále v mačkavosti a splývavosti plošných textilních útvarů, ve struktuře a deformačních vlastnostech pletenin, ve vlastnostech tvarovaných nití a v mnoha jiných případech.

Východiskem při exaktním zkoumání jak samotných ohybových vlastností vláken, tak i jejich vlivu na výše uvedené i jiné procesy a vlastnosti výrobků musí být bezpodmínečně kvantitativní vyjádření vztahu mezi,

1. ohybovou tuhostí vláken (popřípadě nití, tkanin, pletenin aj.),
2. působícími vnějšími silami a momenty,
3. tvarem vláken, nití a jiných útvarů.

Použití obecně platných vztahů pro čistý ohyb, prostý tah (tlak) a čistý zkrut při zkoumání deformací tex-

tilních materiálů je značně ztíženo výraznou a složitou závislostí koeficientů úměrnosti namáhání a deformace na velikosti namáhání, na jeho časovém průběhu a na vlivu prostředí (zejména teploty a vlhkosti).

Studium ohybových deformací textilních materiálů je však navíc zkomplikováno tím, že na rozdíl od prostého tahu nebo zkrutu

- a) ohybové namáhání je v praxi vždy doprovázeno jiným druhem namáhání (nejčastěji tahem a smykiem) a prakticky ani pro experimentální účely nelze upravit pokus na čistý ohyb a
- b) v důsledku toho křivost ohybové čáry (jakožto míra ohybové deformace) podél zkoumaného vlákná (případně niti, řezu tkaniny, pleteniny a pod.), bývá obvykle proměnná.

Obtíže spojené s bodem a) lze vyloučit tak, že při studiu ohybové deformace zanedbáme důsledky ostatních druhů namáhání.

Tento krök je z praktického hlediska zcela přípustný, neboť např. významné protažení vlákna nastává teprve působením tak velkých zatěžujících sil, že se nit chová téměř jako dokonale ohebná, takže její tvar je dán geometrickými vazbami a nikoliv vztahem ohybového momentu a ohybové tuhosti.

Okolnost naznačenou v bodě b) vyloučit ani obejít nelze. Právě ona má za následek značné potíže spojené s experimentálním zjišťováním ohybové tuhosti textilních materiálů a s matematickým řešením ohybové čáry a to i za zjednodušujícího předpokladu, že ohybová tuhost je konstantní.

Z uvedeného vyplývá, že ohybová tuhost textilních materiálů, definovaná jako koeficient úměrnosti ohybového momentu a křivosti neutrální osy, hraje důležitou úlohu v textilní praxi. Východiskem při zkoumání jevů spojených s ohybem textilních materiálů je znalost vztahů mezi jejich ohybovou tuhostí, působícími vnějšími silami a tvarem neutrální osy. Tyto vztahy se vyjadřují soustavami nelineárních diferenciálních rovnic, které v jednodušších případech mají složitá implicitní řešení a v obecném případě nemají analytické řešení vůbec.

1.5.2. Měření tuhosti

Vztahy uvedené v kapitole 1.5.1. jsou velice složité a předpokládají podrobný rozbor ohybových vlastností měřené textilie, jenž nelze uskutečnit v rámci našich možností. Jelikož v této diplomní práci nejde o to určit absolutní hodnotu tuhosti měřené textilie, ale o to získat hodnoty za účelem srovnání ohybových vlastností navržených vzorů, musí být voleny takové metody měření, které danou problematiku podstatně zjednoduší.

Pro měření tuhosti byla zvolena metoda CANTILEVER. Je to gravimetrická metoda, která vyjadřuje tuhost jako funkci specifické váhy textilie, délky převisu a úhlu převisu.

$$T = m \cdot l^3 \cdot \frac{\cos 0,5\alpha}{8 \operatorname{tg} \alpha} \quad [\text{mpcm}]$$

T tuhost textilie [mpcm]

m specifická váha textilie [mp/cm²]

l délka převisu [cm]

α úhel převisu [$^\circ$]

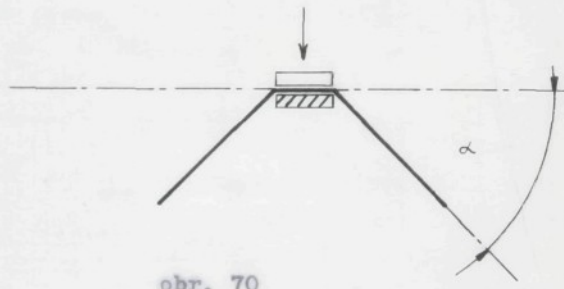
1.5.2.1. Velikost a tvar vzorku

Měření se provádí na vzorcích obdélníkového tvaru roz-
měru 70 x 25 mm, kde směr řádků svírá s delší stranou
vzorku úhel 0° , 22° 30° , 67° 30° a 90° .

45°

1.5.2.2. Způsob měření

Vzorek byl vložen střední částí mezi dvě destičky tak,
aby délky převisu na obou stranách činily 30 mm.
Vrchní destičkou byl regulován přitlak tak, aby hrana
destičky byla průsečnicí roviny destičky a plochy
tvořené převislým koncem vzorku. Potom byl změřen
úhel převisu předního a zadního konce vzorku na obou
stranách po líci i po rubu.



obr. 70

Vzhledem ke stáčení okrajů vzorků pletenin ve vazbě
jednolící podkládané a šestizámkové s hladkým rubem
mohlo být měření provedeno jen na vzorcích ve vazbě
oboučení s podloženým lícem.

stř.	směr řádků	LÍC	RUB	LÍC	RUB	LÍC	RUB	LÍC	RUB						
1:1	0°	10	11	23	20	12	14	10	24	20	26	10	14	14°	18°
		8	11	32	21	12	11	14	20	15	17	17	10		
	22°30'	15	18	18	21	27	31	16	26	25	28	10	24	24°20'	19°40'
		20	16	26	14	24	29	26	20	36	23	20	15		
	45°	24	38	22	10	27	39	8	13	38	46	5	8	36°15'	10°45'
		31	35	17	13	33	34	15	5	47	43	8	5		
2:2	67°30'	27	23	11	10	30	28	10	4	23	17	7	7	25°45'	7°30'
		28	24	11	5	27	34	7	4	20	28	7	7		
	90°	23	15	8	5	22	19	3	5	31	15	15	3	19°	5°
		14	18	2	5	11	26	3	6	19	13	2	3		
	0°	13	22	16	17	19	28	19	19	26	37	20	16	24°	16°45'
		27	19	12	15	19	22	14	19	33	24	20	14		
4:4	22°30'	21	16	28	17	10	24	20	14	34	20	16	14	20°40'	12°25'
		19	16	16	18	24	20	11	10	24	20	10	10		
	45°	25	28	10	10	33	32	6	15	17	29	8	9	26°	9°10'
		25	20	15	4	38	27	14	7	15	24	3	9		
	67°30'	23	13	20	4	27	19	3	3	23	22	21	9	20°10'	17°25'
		22	20	5	8	24	17	1	3	20	22	5	17		
	90°	28	23	5	6	13	11	8	3	15	24	6	0	18°	3°45'
		28	23	5	6	8	11	3	3	9	24	0	0		
	0°	25	29	23	15	24	17	19	15	26	20	23	14	22°10'	17°25'
		25	16	23	15	35	17	19	15	15	17	14	14		
	22°30'	25	20	22	16	23	24	19	13	26	37	16	12	24°	14°40'
		25	17	14	14	20	24	15	10	23	25	13	12		
	45°	36	25	19	15	30	24	19	14	27	19	19	16	24°15'	14°10'
		31	14	10	15	23	17	4	14	26	19	19	16		
	67°30'	15	18	9	19	14	17	9	10	12	16	19	14	12°30'	12°
		12	10	14	4	10	10	9	12	8	9	12	14		
	90°	10	10	7	12	12	13	17	5	9	17	8	10	10°	8°
		10	5	7	8	10	4	8	5	10	9	5	4		

Tabulka 24 - Naměřené hodnoty úhlu převisu $\alpha [^{\circ}]$

str.	směr řadků	LÍC	RUB	LÍC	RUB	LÍC	RUB	LÍC	RUB	
8:8	0°	31 21 26 15 29 26 28 15 30 20 19 17								24° 18°15'
		29 19 19 17 28 18 16 15 20 20 15 17								
	22°30'	21 22 23 14 32 16 18 9 15 15 19 11								19° 13°10'
		21 15 12 11 23 16 10 9 15 15 11 11								
	45°	22 13 13 6 13 14 13 9 19 21 9 5								15°10' 8°
		22 13 5 6 6 14 13 9 12 21 2 5								
	67°30'	18 4 7 8 11 4 9 0 14 12 7 5								9°30' 5°
		7 11 5 3 7 14 9 0 8 5 2 5								
2x2	90°	5 13 7 11 8 9 8 7 8 4 8 9								7°20' 8°
		5 9 4 11 8 9 8 7 5 4 8 9								
	0°	57 52 37 38 49 42 42 38 56 63 40 54								52°45' 40°25'
		65 43 50 38 43 40 35 44 60 63 37 32								
	22°30'	32 38 37 28 30 33 26 23 53 57 39 38								39°50' 29°25'
		37 35 30 20 35 33 26 30 50 45 23 33								
	45°	23 28 20 26 39 26 23 24 34 28 22 23								30° 22°40'
		26 26 15 24 35 23 20 30 39 33 20 25								
2/2	67°30'	29 32 27 17 36 28 24 29 24 32 23 27								29°15' 22°20'
		32 30 22 17 29 25 15 20 29 25 17 20								
	90°	26 26 10 10 18 16 8 10 15 24 11 10								19°25' 9°
		28 29 6 4 15 16 5 12 10 20 10 10								
	0°	35 30 42 26 21 28 23 35 36 37 36 39								31° 32°40'
		35 30 35 21 24 27 23 37 33 35 36 39								
	22°30'	26 29 28 26 27 26 15 28 37 32 39 25								28°20' 24°50'
		22 29 24 22 31 26 15 28 30 25 25 23								
	45°	20 22 23 25 36 24 28 22 22 30 19 26								24°25' 21°25'
		16 22 13 25 30 24 21 24 20 27 8 23								
	67°30'	40 30 35 30 17 22 19 22 21 24 15 12								25°20' 21°40'
		31 30 42 16 27 20 19 20 18 24 10 14								
	90°	20 16 17 18 24 23 15 17 22 23 26 23								20°20' 19°20'
		16 16 17 15 29 17 15 14 20 18 26 19								

Tabulka 25 - Naměřené hodnoty úhlu převisu $\alpha [^{\circ}]$

str.	směr rádků	LÍC	RUB	LÍC	RUB	LÍC	RUB	LÍC	RUB
4x4	0°	55	41	33	24	33	47	35	26
		50	43	22	24	35	47	31	26
	22°30'	34	28	30	23	34	34	25	30
		31	34	25	29	30	43	23	26
	45°	21	20	17	12	20	22	23	16
		23	24	17	18	20	19	18	24
	67°30'	24	22	14	9	20	17	15	9
		20	22	10	5	18	16	15	12
	90°	12	12	9	5	17	7	15	11
		9	9	9	5	11	7	10	11
$\frac{4}{4}$	0°	50	63	38	39	53	63	33	41
		55	63	52	34	63	42	32	31
	22°30'	56	54	34	44	41	52	17	29
		56	52	29	44	40	50	17	29
	45°	23	32	39	29	29	24	33	22
		23	30	37	22	29	24	30	17
	67°30'	17	23	24	15	21	22	28	17
		22	20	22	15	16	18	15	15
	90°	20	17	10	15	17	13	16	11
		10	17	7	11	10	16	19	11

Tabulka 26 - Naměřené hodnoty úhlu převisu $\alpha [{}^{\circ}]$

	1 : 1	2 : 2	4 : 4	8 : 8	2 x 2	$\frac{2}{2}$	4 x 4	$\frac{4}{4}$
0°	664	344	350	360	198	271	169	225
22°30'	360	408	319	469	190	304	238	172
45°	216	313	315	572	282	363	437	394
67°30'	337	419	651	975	292	348	503	499
90°	478	476	821	1270	471	448	875	656

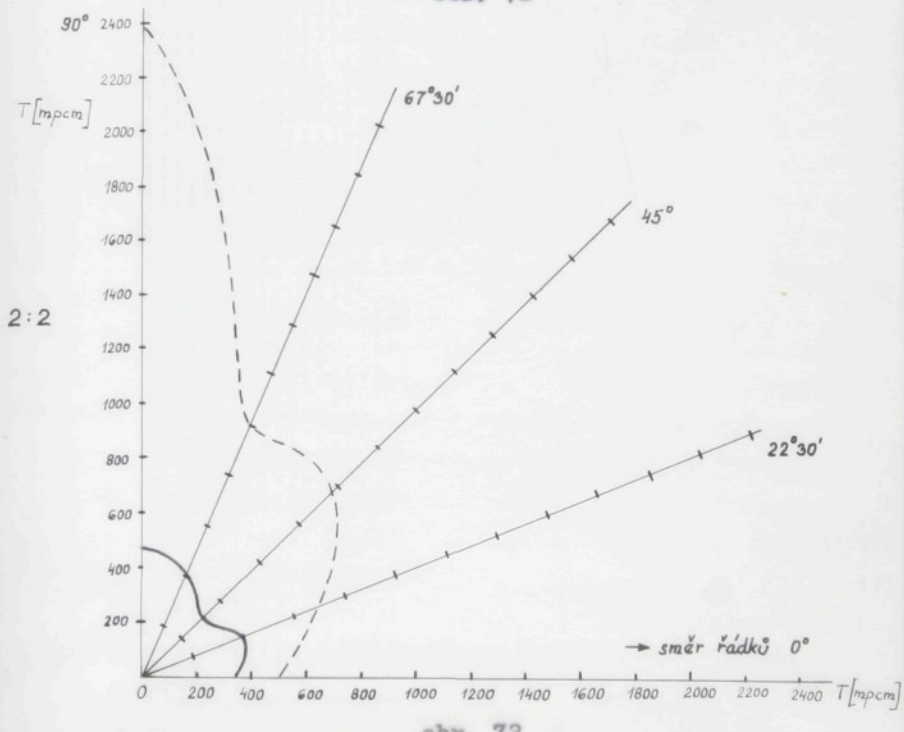
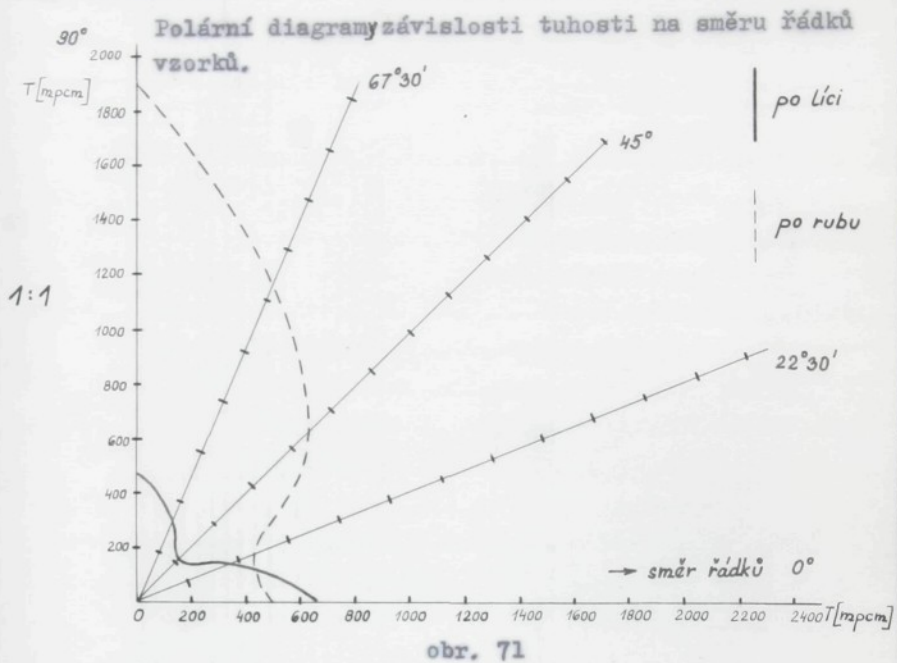
Tabulka 27 - Vypočtené hodnoty tuhosti T [mpcm] po líci

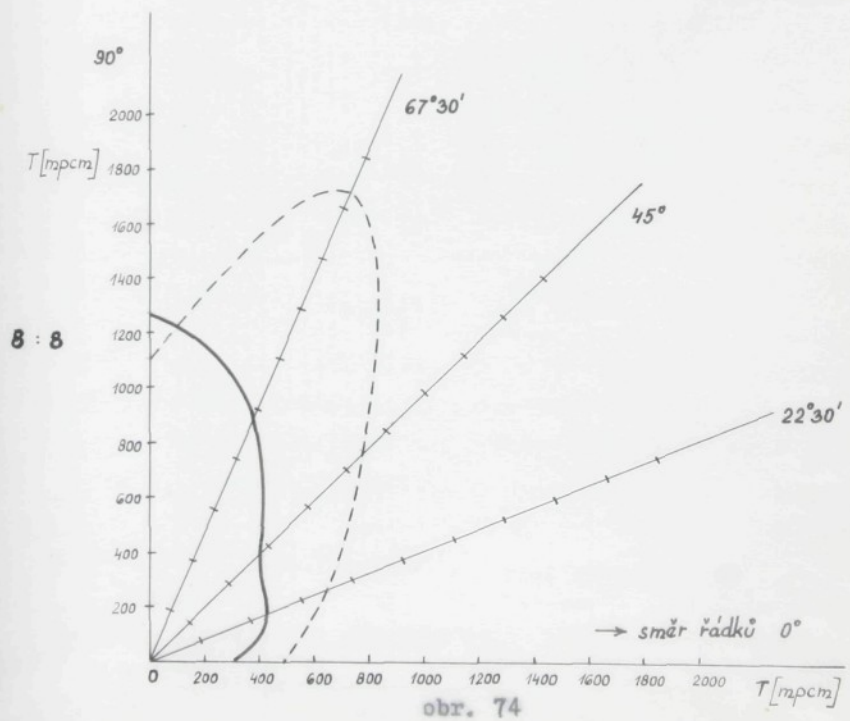
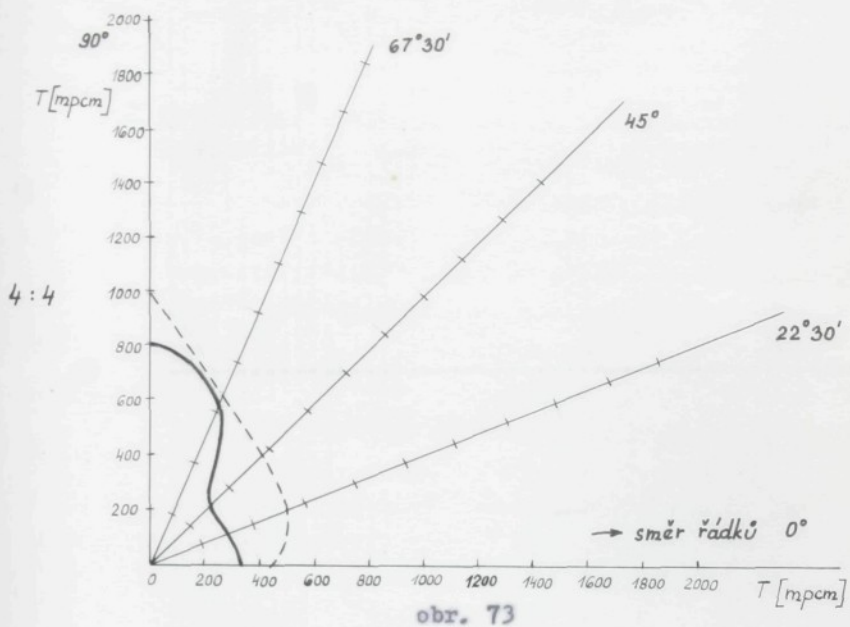
	1:1	2:2	4:4	8:8	2x2	$\frac{2}{2}$	4x4	$\frac{4}{4}$
0°	507	514	458	491	186	253	329	227
22°30'	460	706	551	695	289	356	565	317
45°	874	966	571	1163	395	423	506	370
67°30'	1263	1076	680	1870	402	429	829	485
90°	1904	2383	1031	1163	1060	475	1074	853

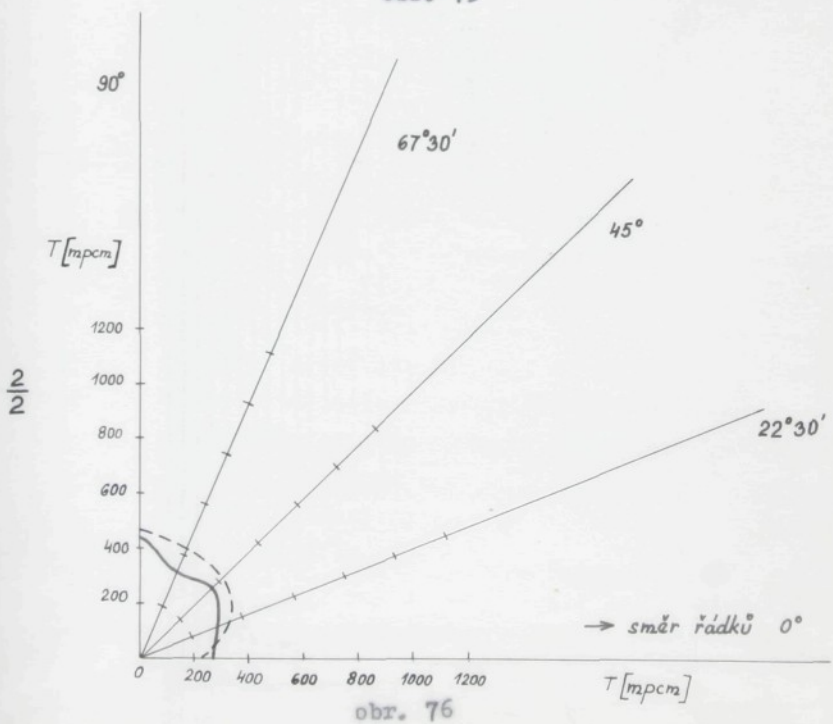
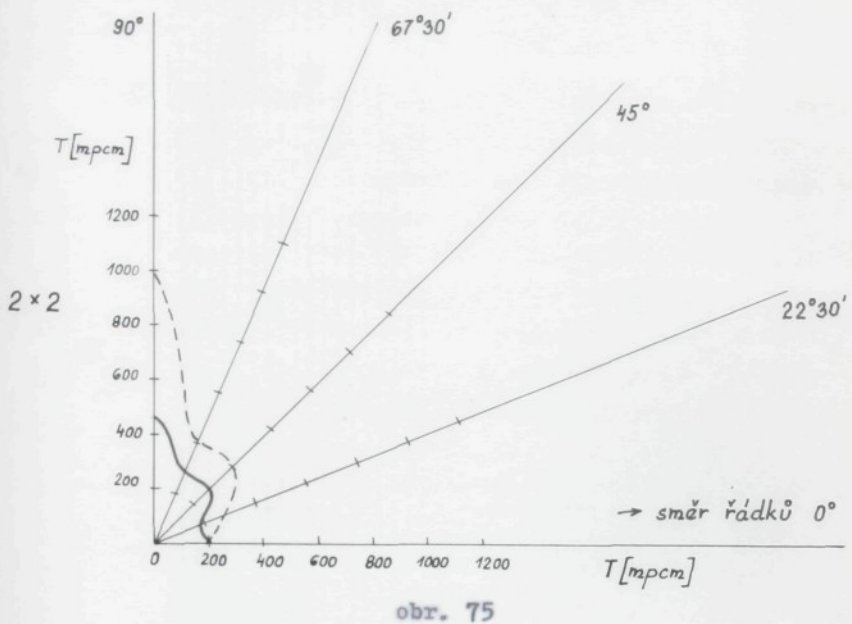
Tabulka 28 - vypočtené hodnoty tuhosti T [mp cm] po rubu

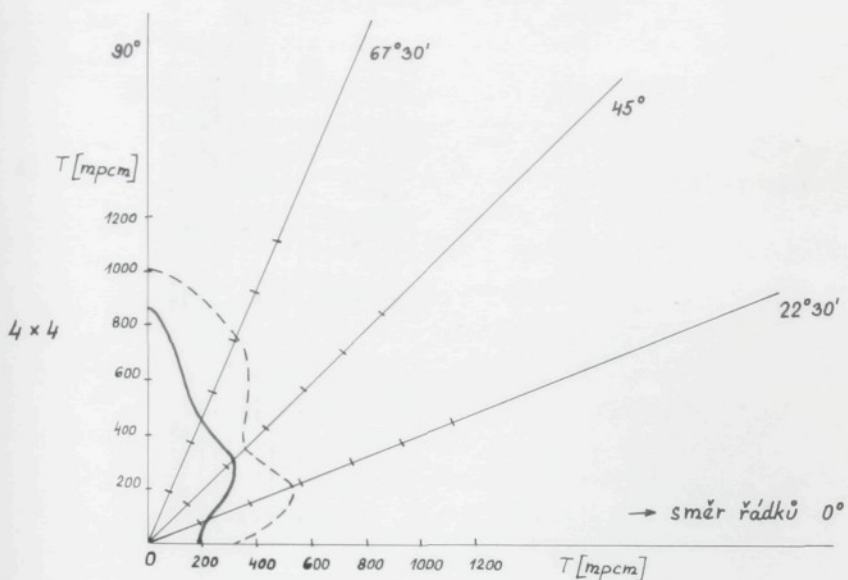
Z h o d n o c e n í:

Jak je vidět z tabulky 27 a 28 s rostoucí střídou vazby roste i hodnota tuhosti T, a to po lící i po rubu. Výjimku tvoří střídy 1 : 1, 2 : 2, 4 : 4 a 8 : 8 po rubu, jejichž hodnoty T kolísají.

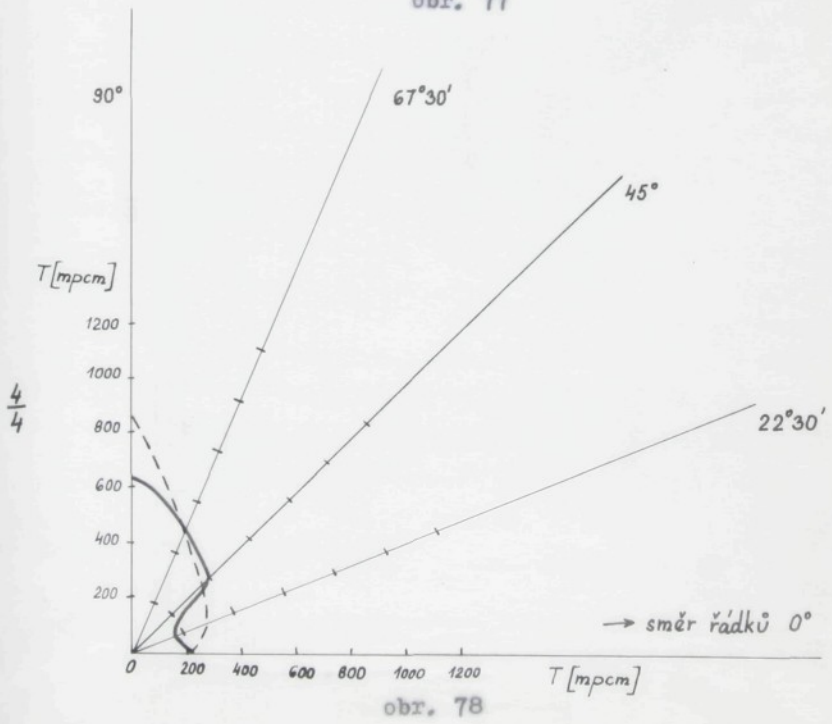








obr. 77



obr. 78

2. Užitkové vlastnosti

Je to souhrn vlastností, které dávají výrobku tvar, estetický vzhled, módnost, sezónnost apod. Částečně jsou tyto vlastnosti dány již při výrobě pleteniny (vazba, druh materiálu, vzor), částečně při zhodovení výrobku.

3. Ekonomické vlastnosti

Výrobek musí mít jistou ekonomickou hodnotu. Musí být prodejný z hlediska ceny, v závislosti na ceně musí mít určitou trvanlivost, zachování módnosti, sezónnosti apod.

IV. Z H O D N O C E N č B A R E V N Ŷ C H Ž A K Á -
R O V Ŷ C H V Z O R Ŗ Z H L E D I S K A
V Ÿ R O B N Ŧ H O A E K O N O M I C K Ŧ H O

Aby bylo možno úplety daných vazeb vzájemně porovnat, je třeba, aby byly pleteny na jednom stroji a použitý materiál musí být shodný pro všechny vazby.

Pro tyto účely bylo použito stroje ODZI výrobce ZŘR Vsetín.

Parametry stroje:

průměr	30,7 "
počet systémů	36
dělení	18 angl.
otáčky	16 ot/min.
využití	70 %
obsluhovost	3
el.příkon	2,2 kW
cena stroje	142 000,-- Kčs
životnost	11 let
odpis stroje	9 %
provozní plocha	9,5 m ²
odpis prov.plochy	2 %
náhradní díly	7 %
údržba	5 %

Srovnání bylo provedeno u dvou materiálů

ba Čm 40/1	cena 1 kg	26,52 Kčs
PAD Td 120	cena 1 kg	37,60 Kčs

1. Výpočet strojního času na upletení 1 kg úpletu:

$$T_s = \frac{1000}{v_s} \quad (38)$$

$$v_s = v_t \cdot \gamma \quad (39)$$

$$v_t = \frac{i \cdot m \cdot n \cdot G}{H_{sp} \cdot H_{rp} \cdot 100} \quad (40)$$

T_s skutečný strojní čas na výrobu
1 kg úpletu [min/kg]

v_t teoretický výkon stroje [g/min]

v_s skutečný výkon stroje [g/min]

γ koeficient využití

i počet jehel
 $i = \pi \cdot \text{průměr stroje} \cdot 18 = 1705$

π Ludolfovo číslo

m počet systémů tvořících jeden rádek

n otáčky / min $m = 2$

G váha 1 m² [g/m²]

H_{sp} hustota sloupek (počet sloupků/10 cm)

H_{rp} hustota řádků (počet řádků / 10 cm)

Ve vzorci pro výpočet v_t jsou hodnoty H_{sp} a H_{rp} neznámé a nelze je určit ze vzorků, jelikož tyto nebyly k dispozici. Hodnoty H_{sp} a H_{rp} se stanoví teoreticky výpočtem za použití známých parametrů úpletů z kapitoly III.

$$h = \frac{H_{rp}}{H_s} = \frac{\frac{100}{B}}{\frac{100}{A}} = \frac{A}{B} \quad (41)$$

$$k_d = \frac{\sum_{j=1}^k \frac{1}{j}}{d} \quad (42) \quad j = 1, 2, \dots, k = 8$$

$$l_p = k_d \cdot d_p \quad (43)$$

$$d_p = \frac{K}{\sqrt{C_m p}} \quad (44) \quad K_{ba} = 1,25 \\ K_{PAD} 1,3$$

l_p se dosadí do Dalidovičova vzorce pro délku očka

$$l_p = \frac{\pi}{2} A_p + \pi d_p + 2 \sqrt{B_p^2 + d_p^2} \quad (45)$$

A_p a B_p jsou neznámé
100

$$h = \frac{H_{\check{r}p}}{H_{sp}} = \frac{\frac{B_p}{100}}{\frac{A_p}{A_p}} = \frac{B_p}{A_p} \Rightarrow A_p = h \cdot B_p$$

Za A_p se dosadí do rovnice (45) a vypočte se neznámá B_p . Pomocí parametrů A_p a B_p se určí $H_{\check{r}p}$ a H_{sp} . Parametr t pro výpočet G (váhy 1 m²) je roven 1,4 mm.

H_s průměrná hustota sloupku vzorků dané vazby /10 cm

$H_{\check{r}}$ průměrná hustota řádku vzorků dané vazby /10 cm

h hustotní součinitel

A průměrná šířka očka vzorků dané vazby [mm]

B průměrná výška očka vzorků dané vazby [mm]

l_j délka očka určité vazby [mm]

d průměr příze použité na vzorky [mm]

k_d délkový koeficient plnosti

l_p délka očka počítaného úpletu [mm]

d_p průměr příze počítaného úpletu [mm]

K materiálová konstanta

\check{C}_m_p číslo metrické příze počítaného úpletu [m / g]

A_p šířka očka počítaného úpletu [mm]

B_p výška očka počítaného úpletu [mm]

H_{sp} hustota sloupku počítaného úpletu /10 cm

H_{rp} hustota řádku počítaného úpletu /10cm
 t rozteč jehel [mm]

	jednolícni'		podložený líc		šestizámek	
mat.	ba	PAD	ba	PAD	ba	PAD
h	1,22	1,22	1,85	1,85	1,12	1,12
k_d	19	19	18,5	18,5	21	21
l_p [mm]	3,8	2,66	3,7	2,6	4,2	2,94
H_{rp} /10cm	143	161	164	232	106	149
H_{sp} /10cm	118	133	90	125	95	133
A_p [mm ²]	0,85	0,75	1,12	0,8	1,05	0,75
B_p [mm]	0,7	0,62	0,61	0,43	0,94	0,67
G [g/m ²]	219,3	115,9	298,8	228	271,8	199,1
V_t [g/min]	63,8	26,5	49,6	19,3	44,1	16,4
T_s [min/kg]	22,3	54	28,7	74	32,3	87

Tabulka 29 - Parametry počítaného úpletu.

2. Výpočet výkonu stroje za směnu:

upletení 1 kg úpletu trvá T_s [min]upletení 1 m² úpletu (G kg) trvá t_s [min]

$$t_s = T_s \cdot G \quad (46)$$

Upletení 1 m² úpletu trvá t_s [min]upletení N_s m² úpletu trvá 1 směnu = 8 x 60 = 480 [min]

$$N_s = \frac{480}{t_s} \quad [m^2/1 \text{ směnu}] \quad (47)$$

	jednolícni'		podložený líc		šestizámek	
mat.	ba	PAD	ba	PAD	ba	PAD
t_s [min/m ²]	489	6,24	8,58	16,87	8,78	17,27
N_s [m ² /1 směnu]	98,1	76,6	55,7	28,2	54,6	27,4

Tabulka 30 - Výkon stroje za směnu.

3. Výpočet nákladů na upletení 1 m² úpletu

Ve výrobní režii se projeví tyto náklady:

a) Odpis stroje

$$\text{cena stroje} \quad 142\ 000 \text{--- Kčs}$$

$$\text{odpis} \quad 9 \quad \%$$

$$\text{roční fond pracovní doby} \quad 244 \text{ dní} \quad \dots \dots \quad 234 \quad 240 \text{ min}$$

$$O_1 = \frac{142\ 000 \cdot 0,09}{234\ 240} = 0,054 \quad [\text{Kčs/min}]$$

$$O = O_1 \cdot t_s \quad [\text{Kčs}] \quad (48)$$

b) odpis provozní plochy

Cena 1 m² provozní plochy se dle stáří pohybuje v širokém rozmezí. Zde se cena provozní plochy uvažuje 1000,-- Kčs/m².

$$\text{Cena plochy pro 1 stroj} \quad 9\ 500,-- \text{ Kčs}$$

$$F_1 = \frac{9500 \cdot 0,02}{234\ 240} = 0,0008 \quad [\text{Kčs/min}]$$

$$F = F_1 \cdot t_s \quad [\text{Kčs}] \quad (49)$$

c) náhradní díly

$$D_1 = \frac{142\ 000 \cdot 0,07}{234\ 240 \cdot 11} = 0,004 \quad [\text{Kčs/min}]$$

$$D = D_1 \cdot t_s \quad [\text{Kčs}] \quad (50)$$

d) údržba

$$U_1 = \frac{142\ 000 \cdot 0,05}{234\ 240} = 0,03 \quad [\text{Kčs/min}]$$

$$U = U_1 \cdot t_s \quad [\text{Kčs}] \quad (51)$$

e) elektrická energie

příkon stroje 2,2 kW
cena 1 kW 0,3 Kčs

$$E_1 = \frac{2,2 + 0,3}{60} = 0,011 \quad [\text{Kčs/min}]$$

$$E = E_1 \cdot t_s \quad [\text{Kčs}] \quad (52)$$

Náklady na upletení 1 m² tvoří

Náklady na materiál	G . cena 1 kg příze
mzdové náklady	minutový tarif plet.-t s
režijní náklady celkem	obsluhovost
	0 + F + D + U + E

Hodinový (minutový) tarif pletařky 5,80 (0,097)
[Kčs]

	jednolící		podložený líc		šestizámk	
materiál	ba	PAD	ba	PAD	ba	PAD
odpis stroje	0,26	0,34	0,46	0,91	0,47	0,93
odpis provozní plochy	0,004	0,005	0,007	0,01	0,007	0,014
náhradní díly	0,02	0,02	0,034	0,07	0,04	0,07
údržba	0,15	0,19	0,26	0,51	0,26	0,52
el. energie	0,05	0,07	0,09	0,02	0,1	0,19
režijní náklady celkem	0,484	0,625	0,851	1,52	0,877	1,724
mzdové náklady	0,15	0,19	0,28	0,51	0,26	0,52
náklady na materiál	5,82	4,36	7,92	8,57	7,21	7,48
náklady celkem	6,454	5,175	9,051	10,60	8,347	9,724

Tabulka 31 - Náklady [Kčs]

Z h o d n o c e n í :

Jak vyplývá z tabulky 31 nejvyšší celkové náklady se projevují při výrobě dvoubarevné oboulicní pleteniny s podloženým lícem z materiálu PADTd 120 a nejnižší při výrobě dvoubarevné jednolící podkládané pleteniny z téhož materiálu. Vzhledem k tomu, že také skutečný výrobní čas 1 m² a výkon stroje za směnu při výrobě dvoubarevné jednolící podkládané pleteniny vykazují nejoptimálnější hodnoty, je výroba této pleteniny nejvýhodnější.

VŠST Liberec	Barevné žakárové vzory	Katedra KTP
Fakulta textilní		DP str. 83

Z Á V Ě R

Předpokládám, že jsem touto svou diplomovou prací splnila zadané téma a že se mi podařilo alespoň ve formě srovnání zhodnotit některé důležité vlastnosti barevných žakárových úpletů.

Ke své práci jsem použila podkladů dostupných v rámci mých možností.

Zároveň děkuji ing. R. Kovářovi za odborné vedení při vypracování této diplomové práce.

S e z n a m p ř í l o h .

- Příloha A : Pletenina dvoubarevná jednolící podkládaná bez hladkého řádku
u všech vzorků: Č_m 56/2 x 2, materiál
100 % bavlna
- Příloha B : Pletenina dvoubarevná jednolící podkládaná s hladkým řádkem

list 1 střídy 1 : 1, 2 : 2, 4 : 4,
8 : 8
list 2 střídy 2 x 2, $\frac{2}{2}$, 4 x 4, $\frac{4}{4}$
- Příloha C : Pletenina dvoubarevná oboulicní s položeným lícem

list 1 střídy 1 : 1, 2 : 2, 4 : 4 ,
8 : 8
list 2 střídy 2 x 2 $\frac{2}{2}$, 4 x 4, $\frac{4}{4}$
- Příloha D : Pletenina dvoubarevná šestizámková
s hladkým rubem

list 1 střídy 1 : 1, 2 : 2, 4 : 4,
8 : 8
list 2 střídy 2 x 2, $\frac{2}{2}$, 4 x 4, $\frac{4}{4}$

Příloha E : Grafy průběhu pevnosti a tažnosti do přetahu pleteniny dvoubarevné jednolící podkládané

list 1 střída 1 : 1
 list 2 střída 2 : 2
 list 3 střída 4 : 4
 list 4 střída 8 : 8
 list 5 střída 2 x 2
 list 6 střída $\frac{2}{2}$
 list 7 střída 4 x 4
 list 8 střída $\frac{4}{4}$

Příloha F : Grafy průběhu pevnosti a tažnosti do přetahu pleteniny dvoubarevné oboulicní, s podloženým lícem

list 1 střída 1 : 1
 list 2 střída 2 : 2
 list 3 střída 4 : 4
 list 4 střída 8 : 8
 list 5 střída 2 x 2
 list 6 střída $\frac{2}{2}$
 list 7 střída 4 x 4
 list 8 střída $\frac{4}{4}$

Příloha G : Grafy průběhu pevnosti a tažnosti do přetahu pleteniny dvoubarevné šestizámkové s hladkým rubem

list 1 střída 1 : 1
 list 2 střída 2 : 2
 list 3 střída 4 : 4
 list 4 střída 8 : 8
 list 5 střída 2 x 2
 list 6 střída $\frac{2}{2}$
 list 7 střída 4 x 4
 list 8 střída $\frac{4}{4}$

Príloha A



Príloha B - list 1



Príloha B - list 2



Príloha C - list 1



Príloha C - list 2



Priloha D - list 1

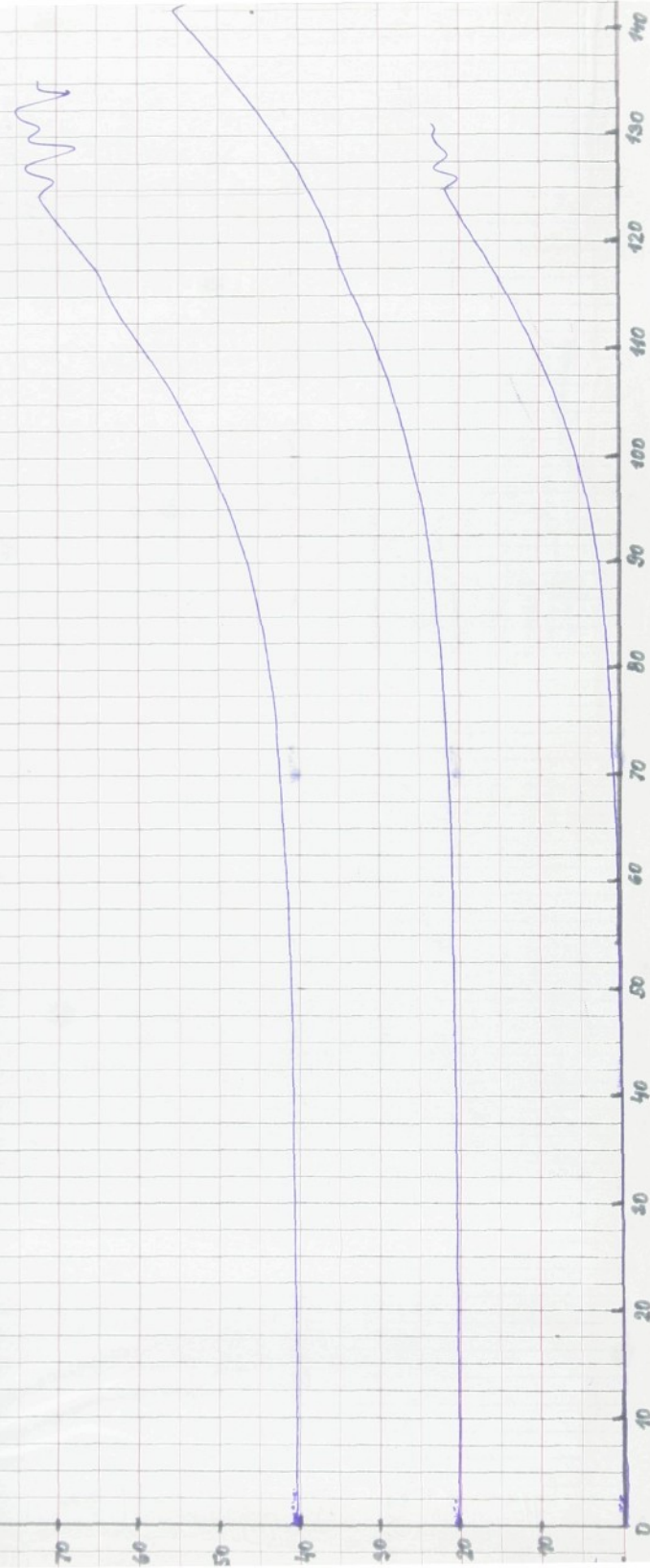


Příloha D - list 2

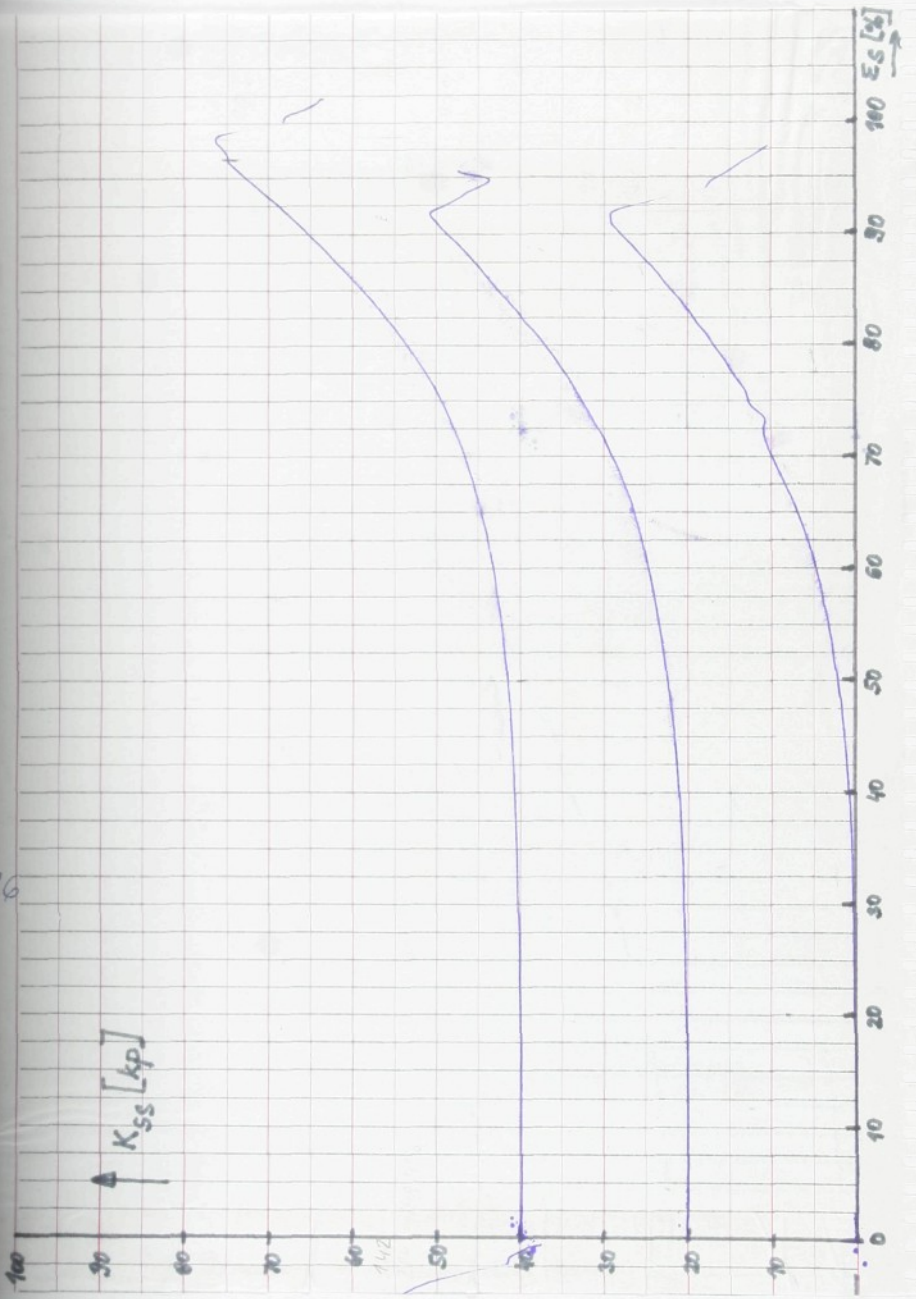


K_{SP} [k_p]

Príloha E - list 1



26



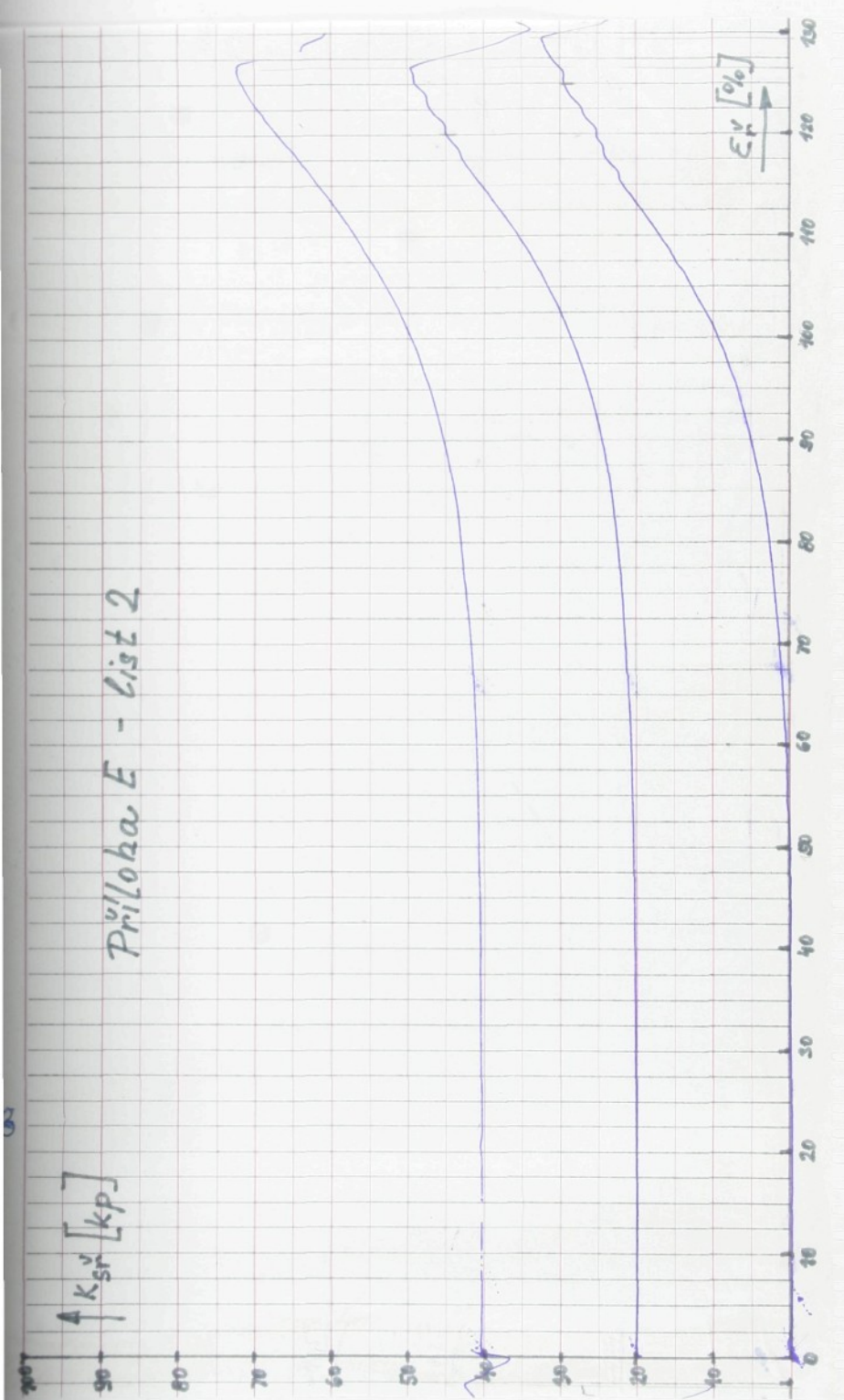
3

4

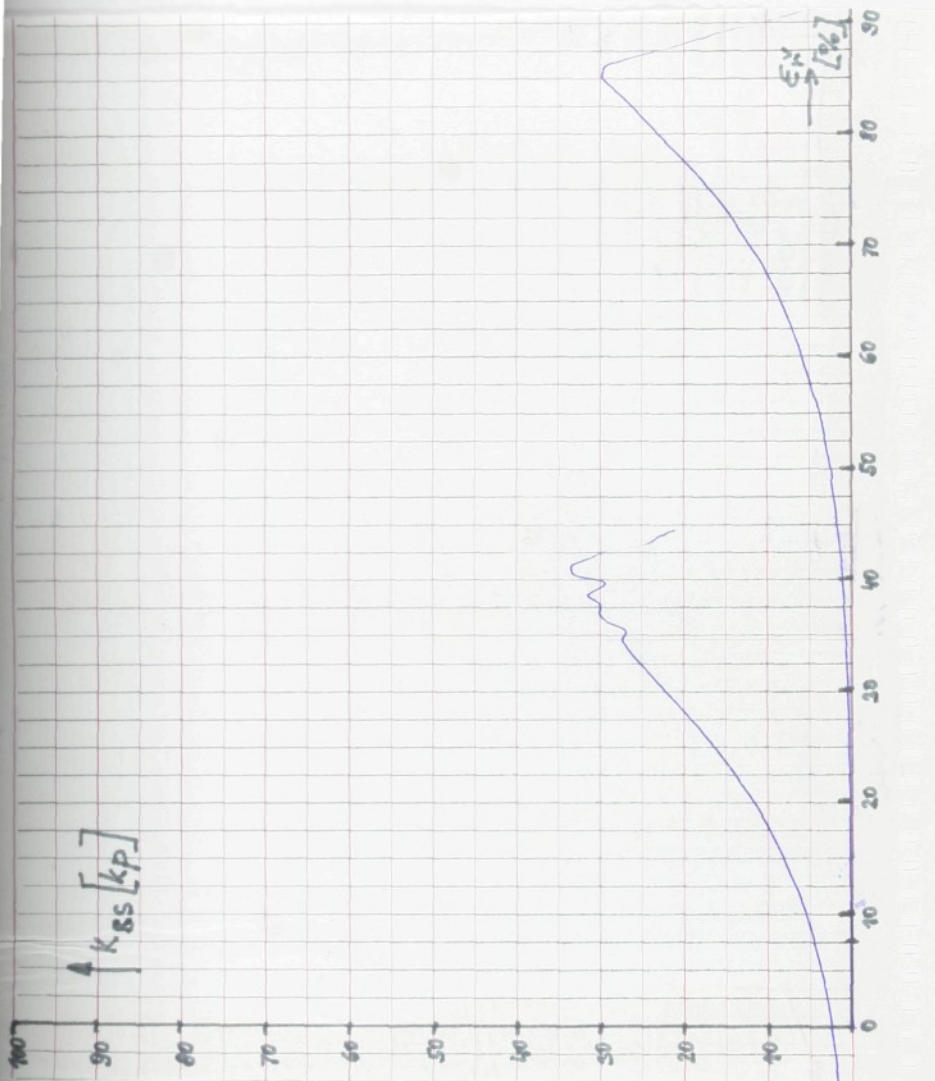
5

6

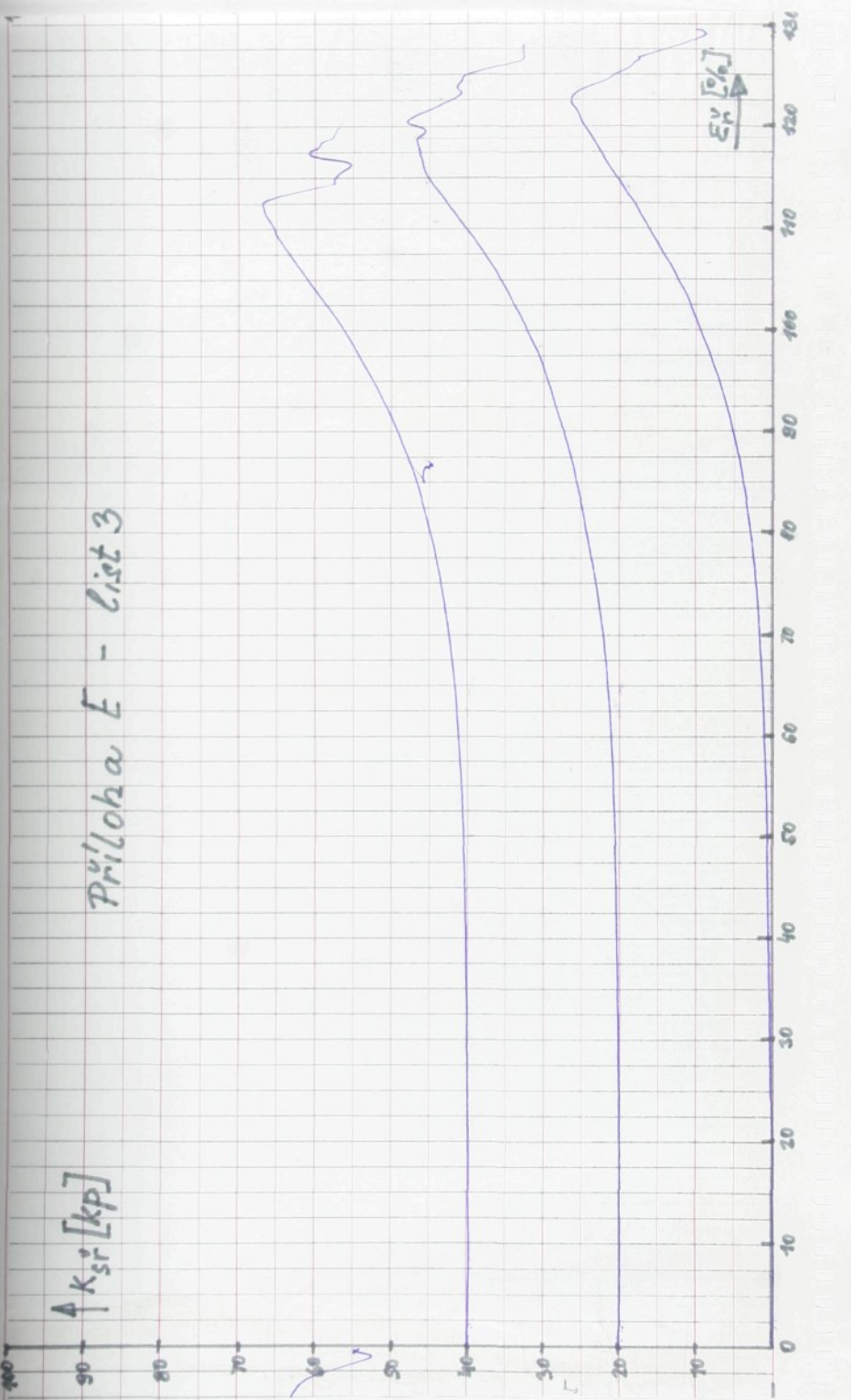
7



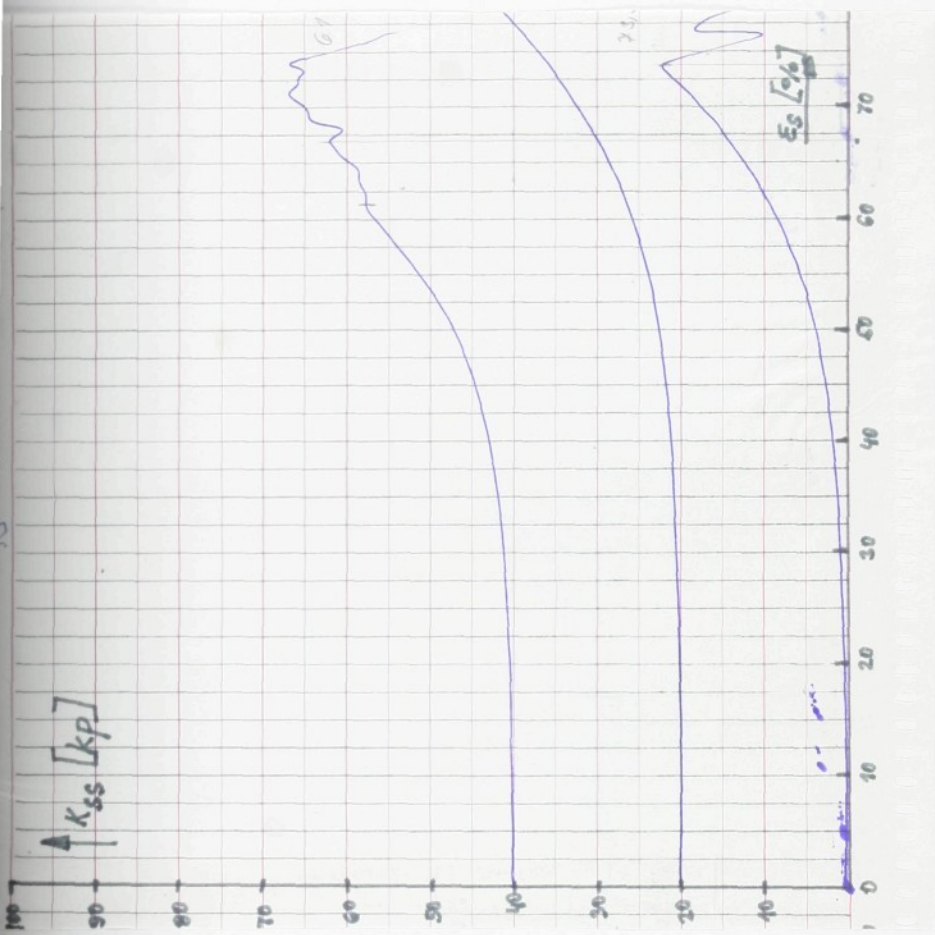
Práloha E - List 2



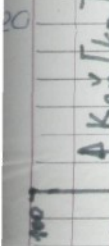
$\Delta k_{sr} [kp]$



Prüfloha E - List 3



$k_{sr}^y [kp]$



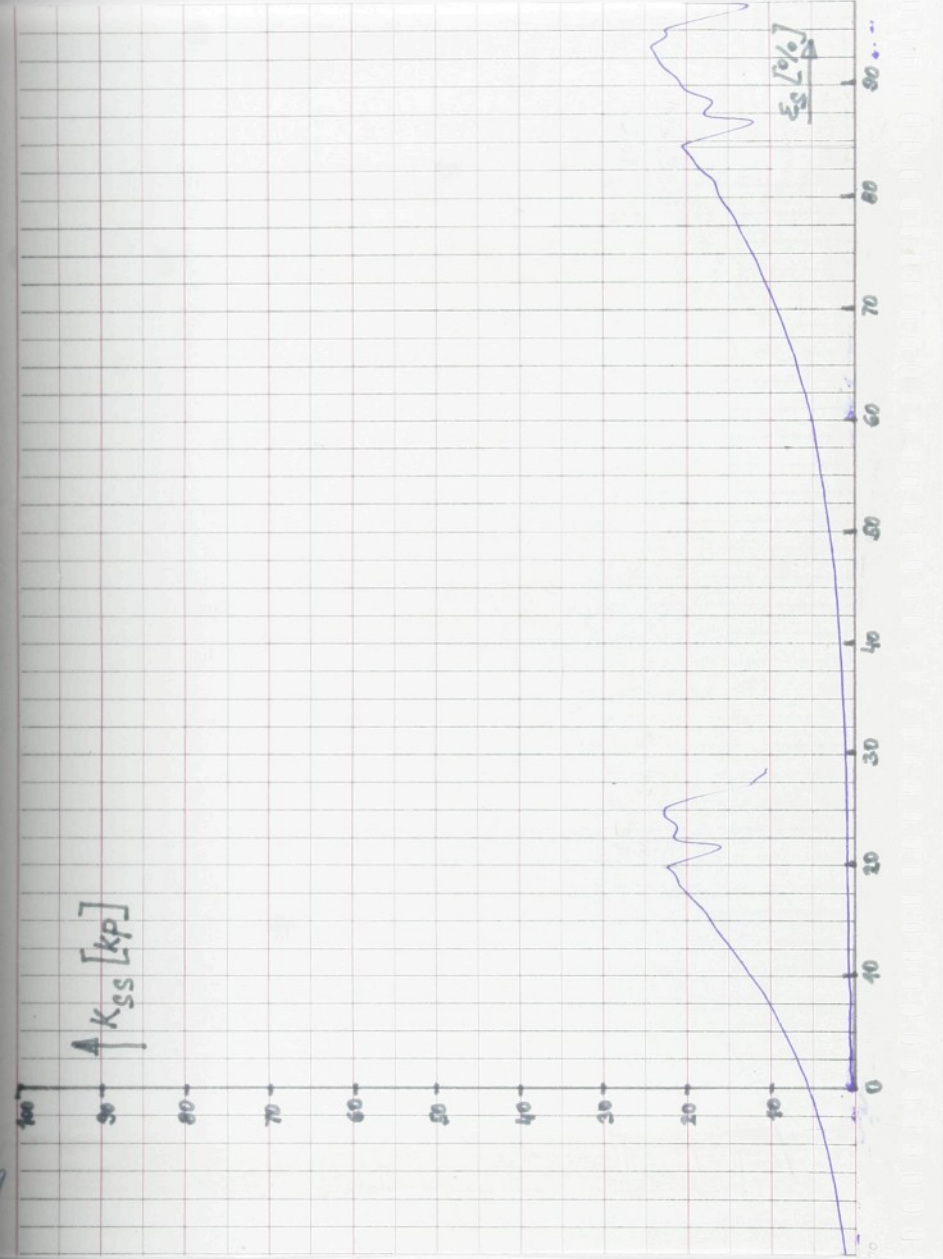
Prvilo ka E - list 4

100
80
60
40
20
0

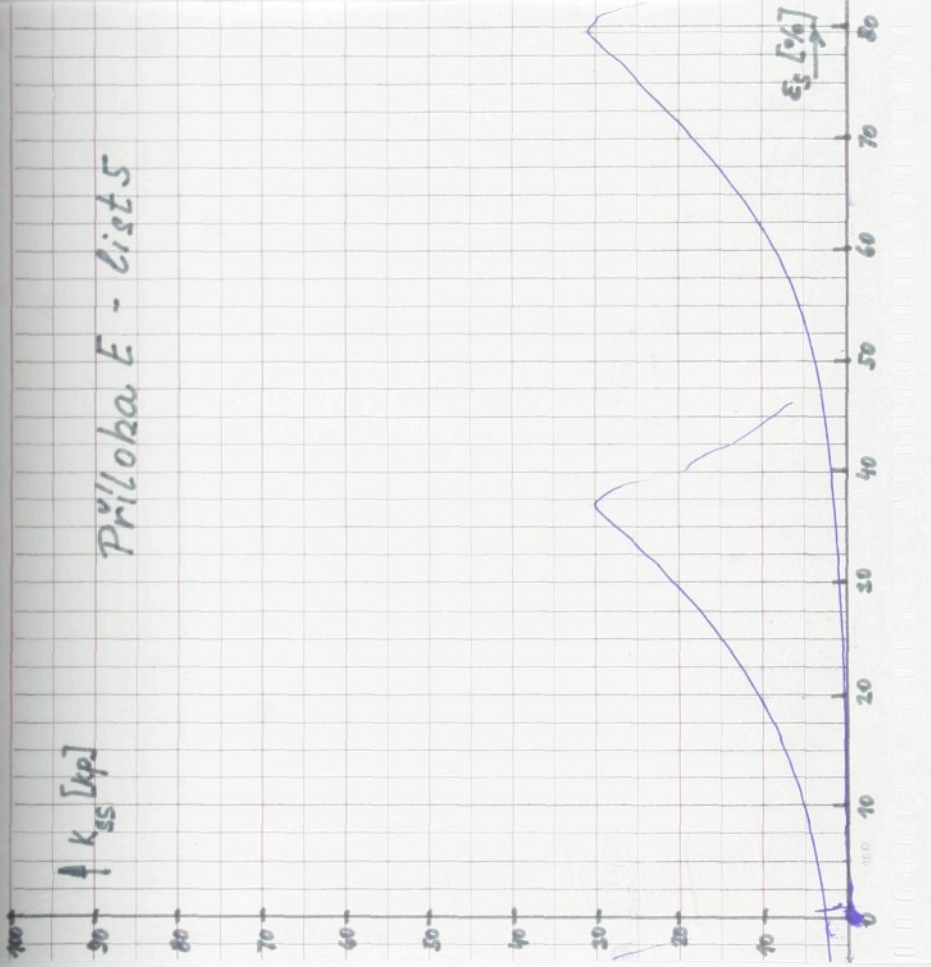
100
80
60
40
20
0

100
80
60
40
20
0

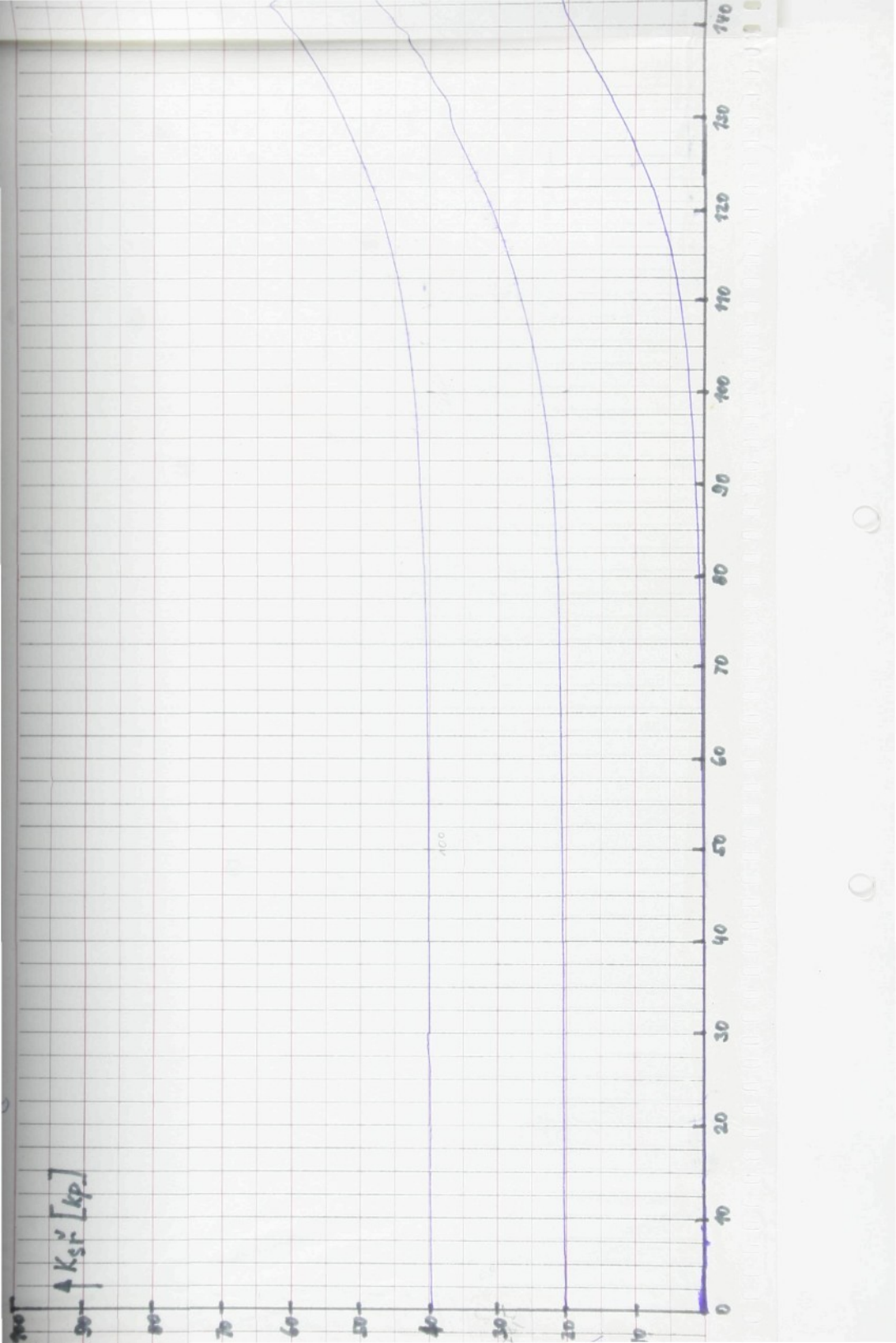




k_{ss} [kp]

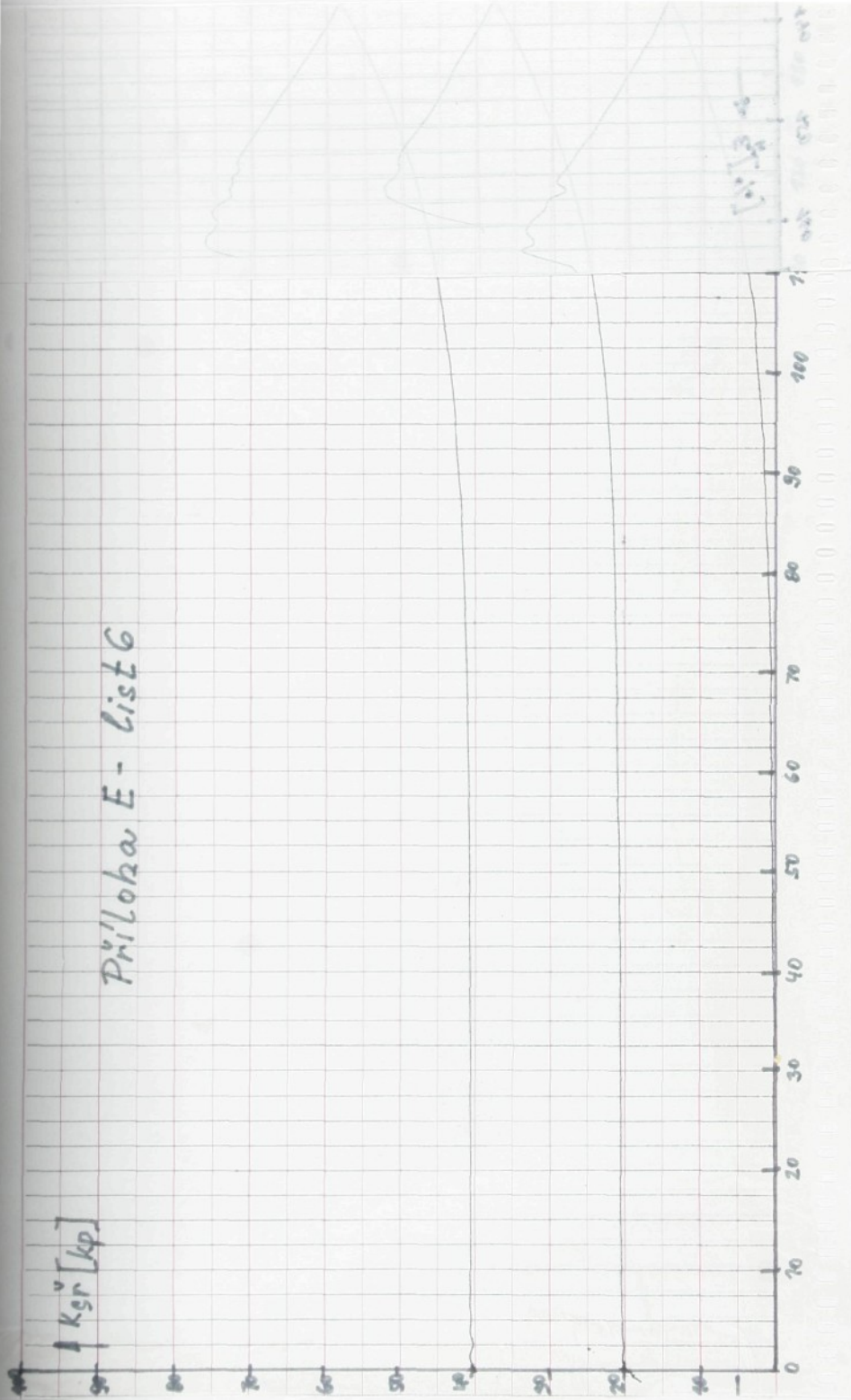


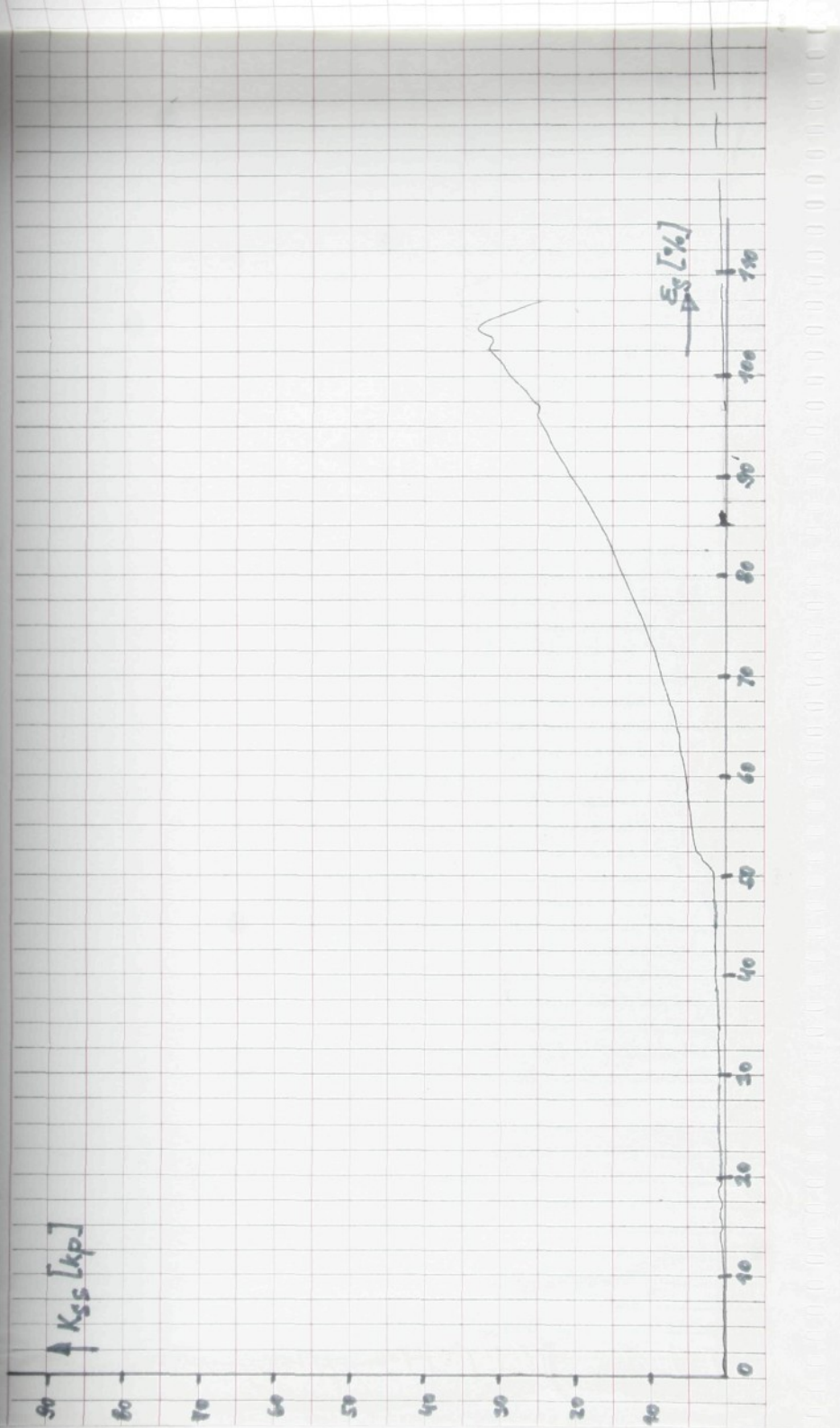
Pričloha E - list 5



$|Ker [kp]|$

Philoka E - List 6





$K_{Sv} [kp]$

-30

-20

-10

0

10

20

30

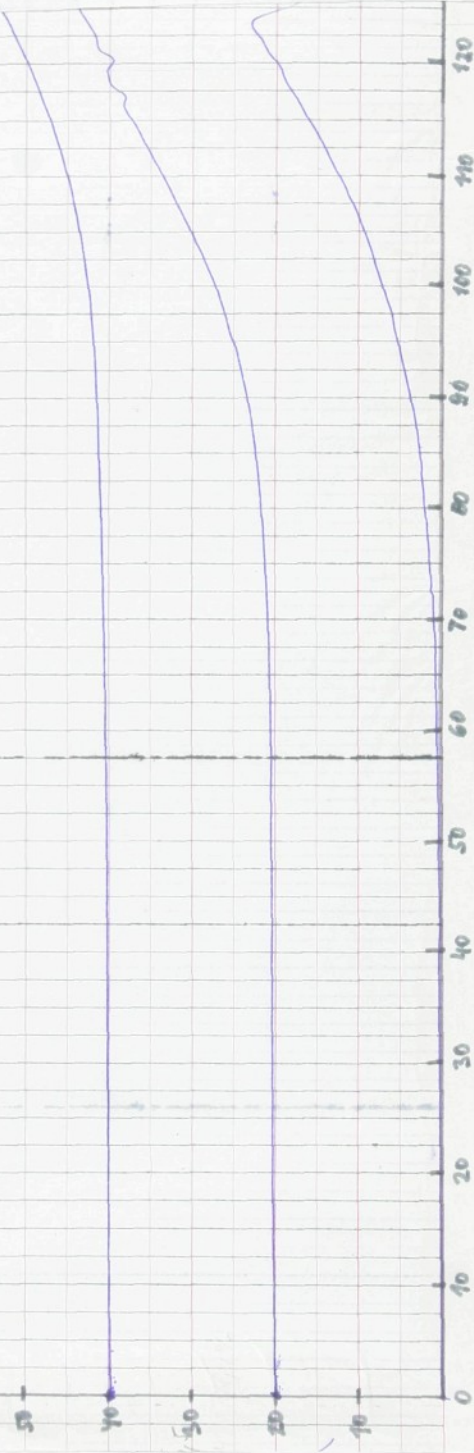
40

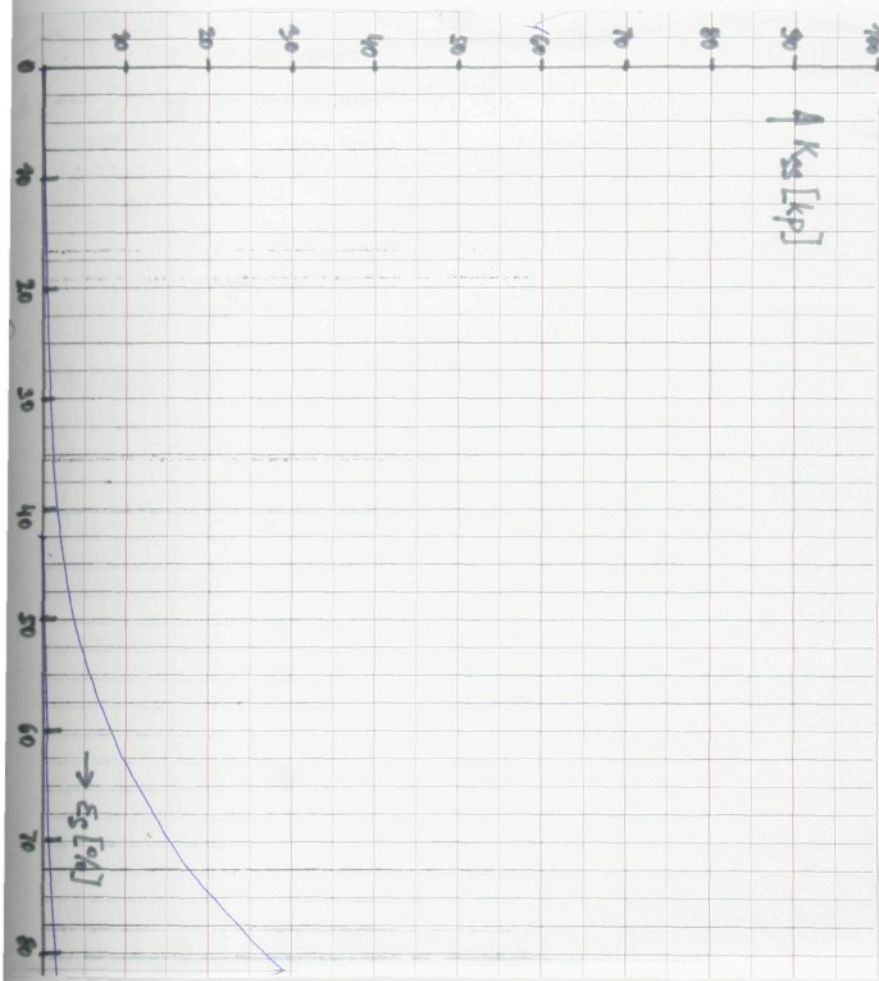
50

60

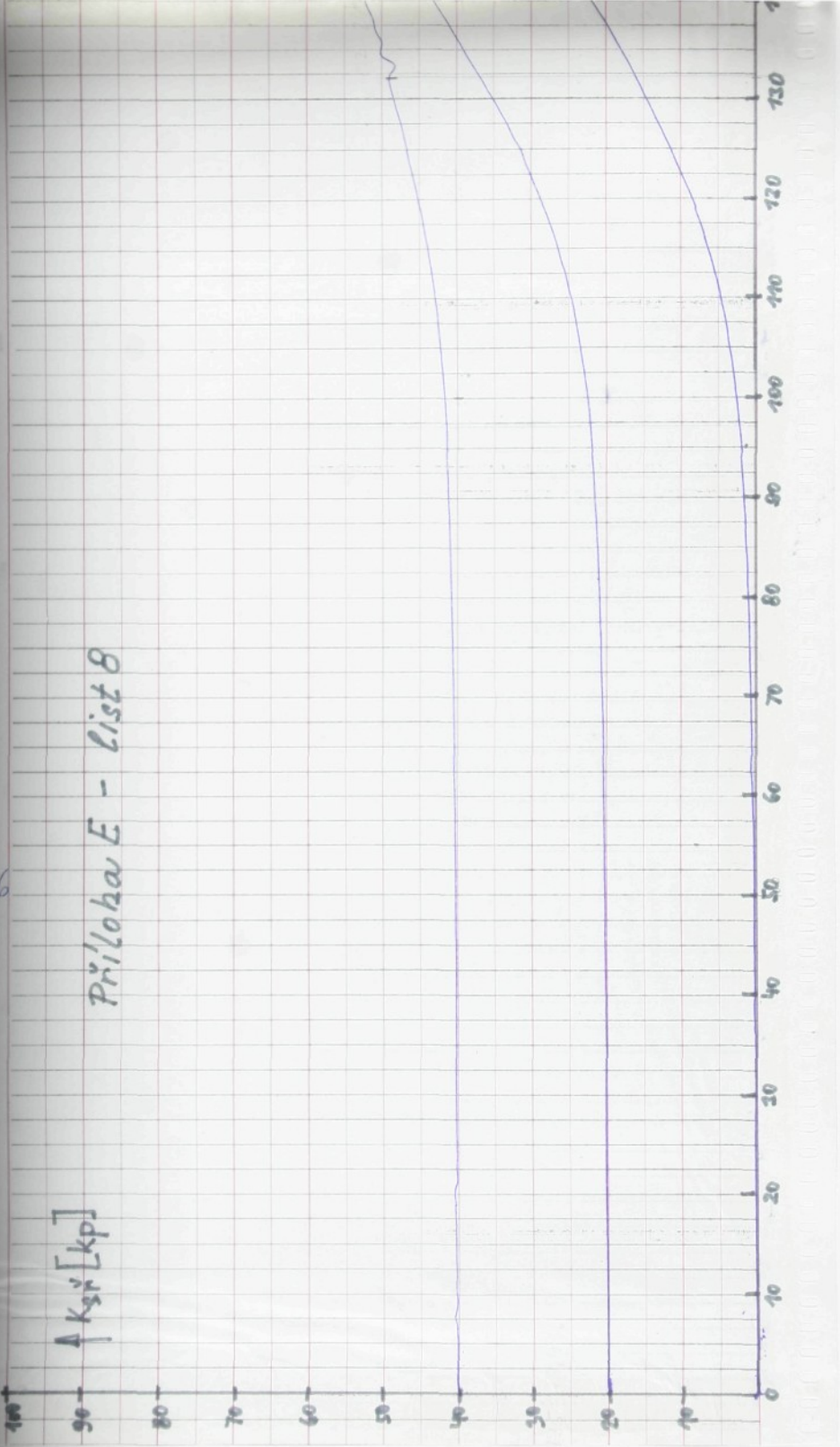
70

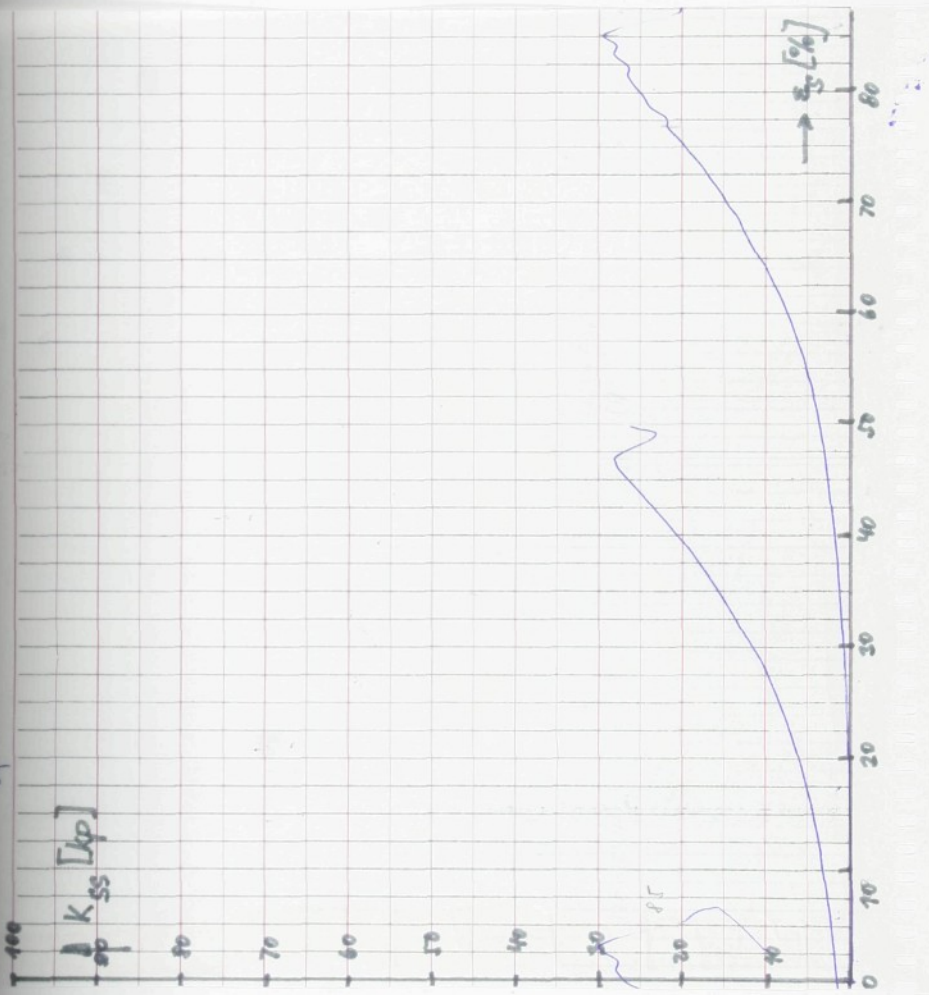
Philloha E - list 7





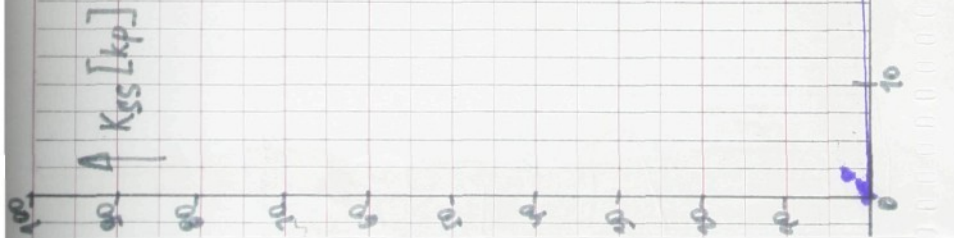
36
Príloha E - list 8



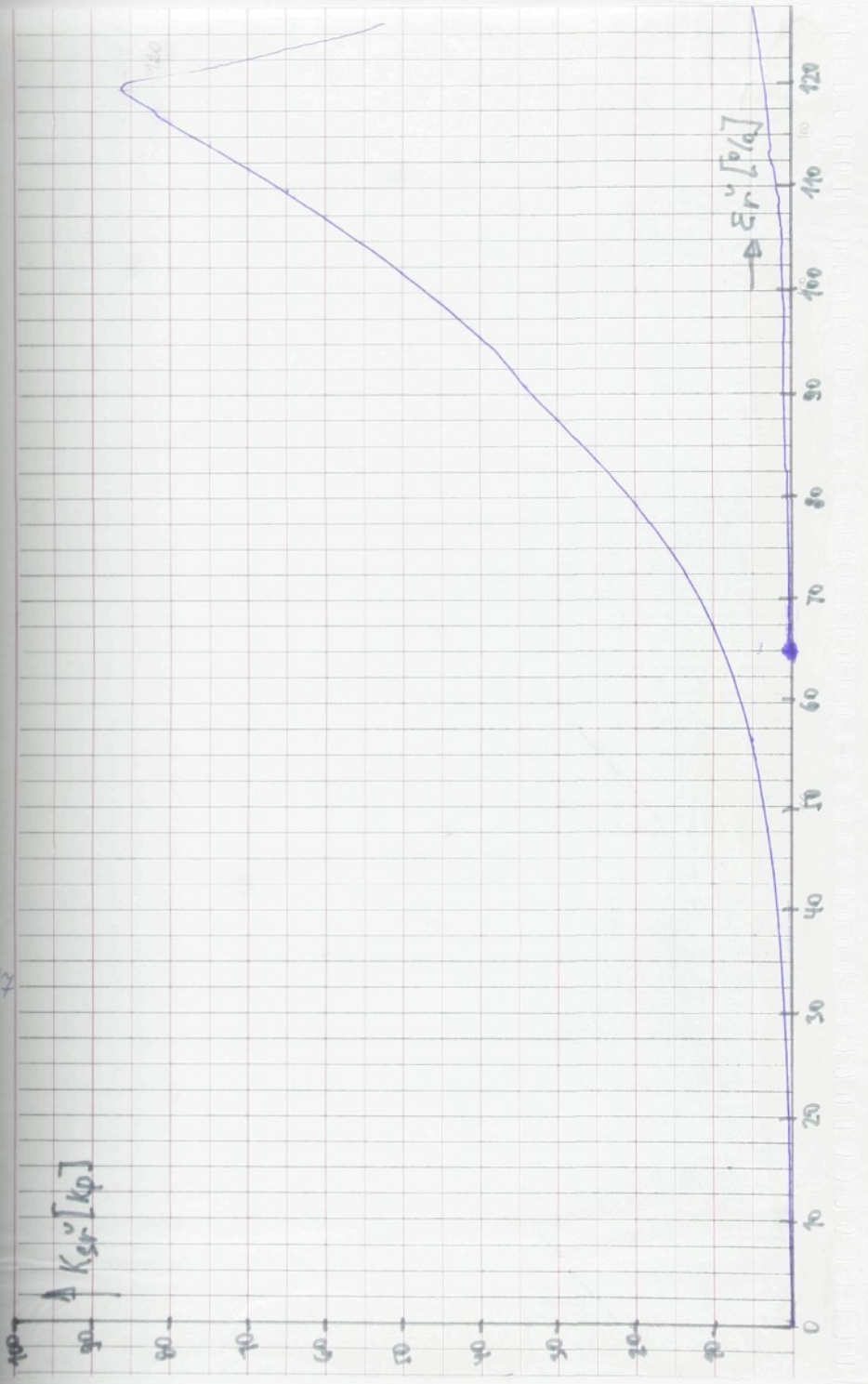


18

Prüfholz F - List 1

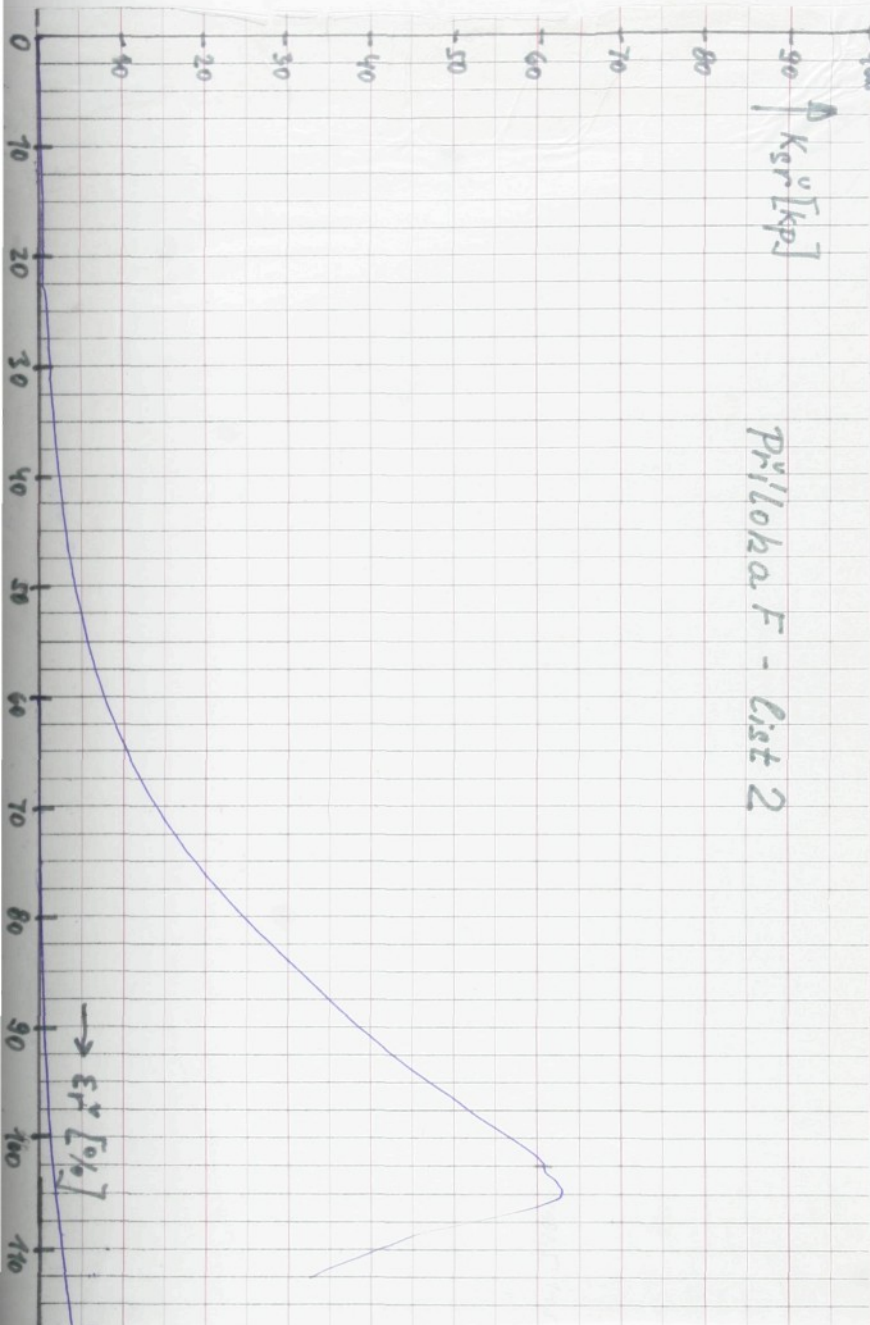


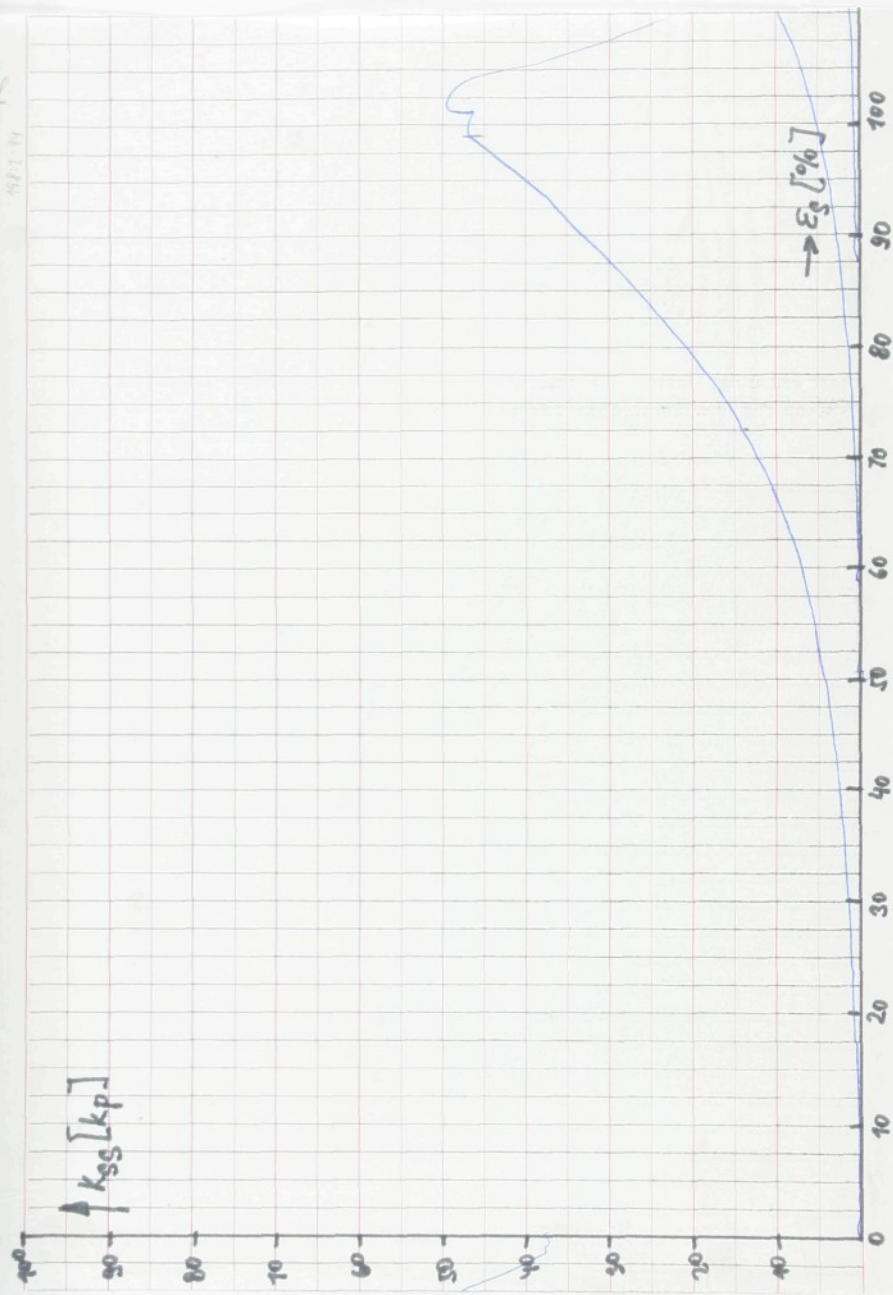
17



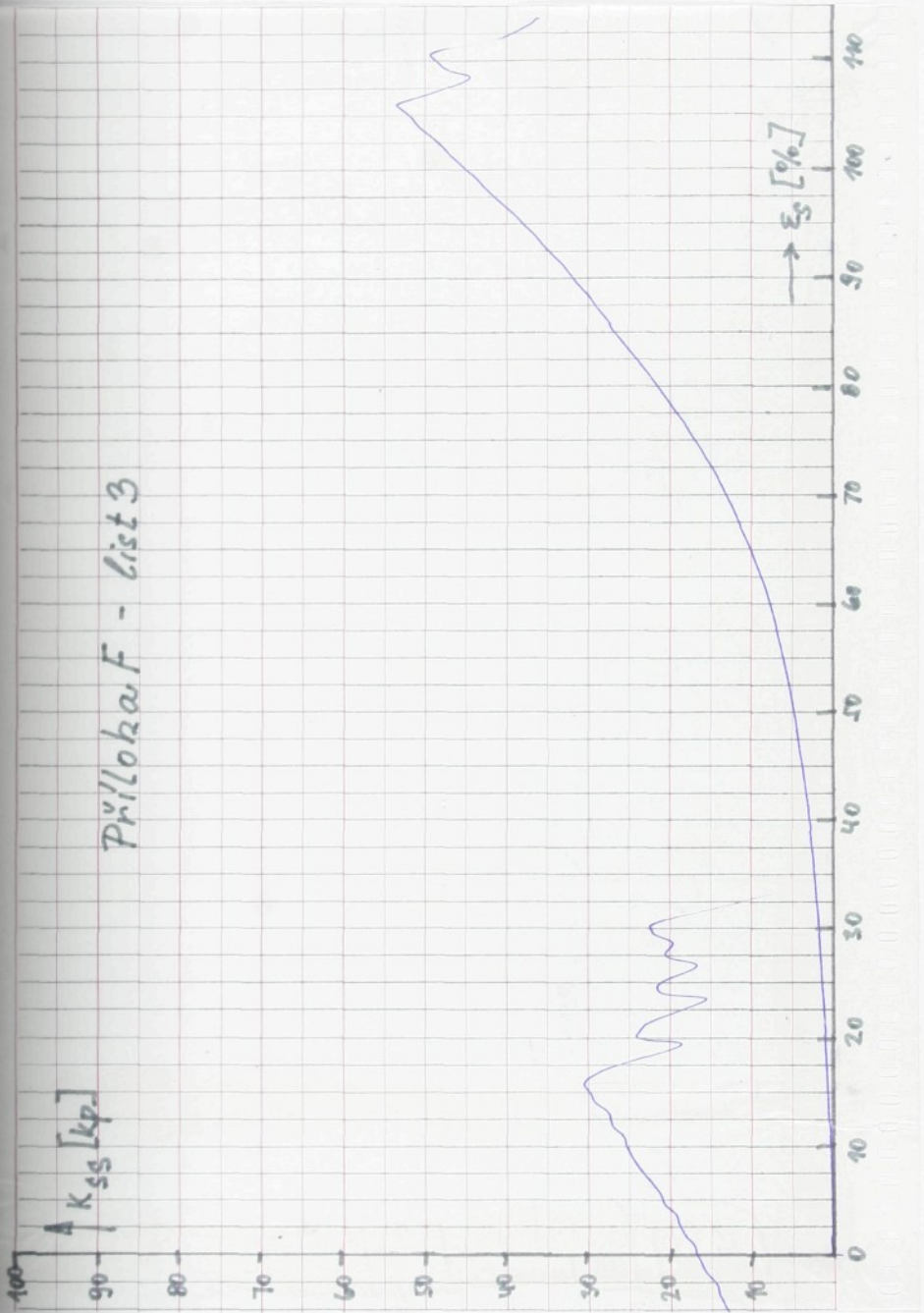
$\uparrow K_{sr}^{\circ}[kp]$

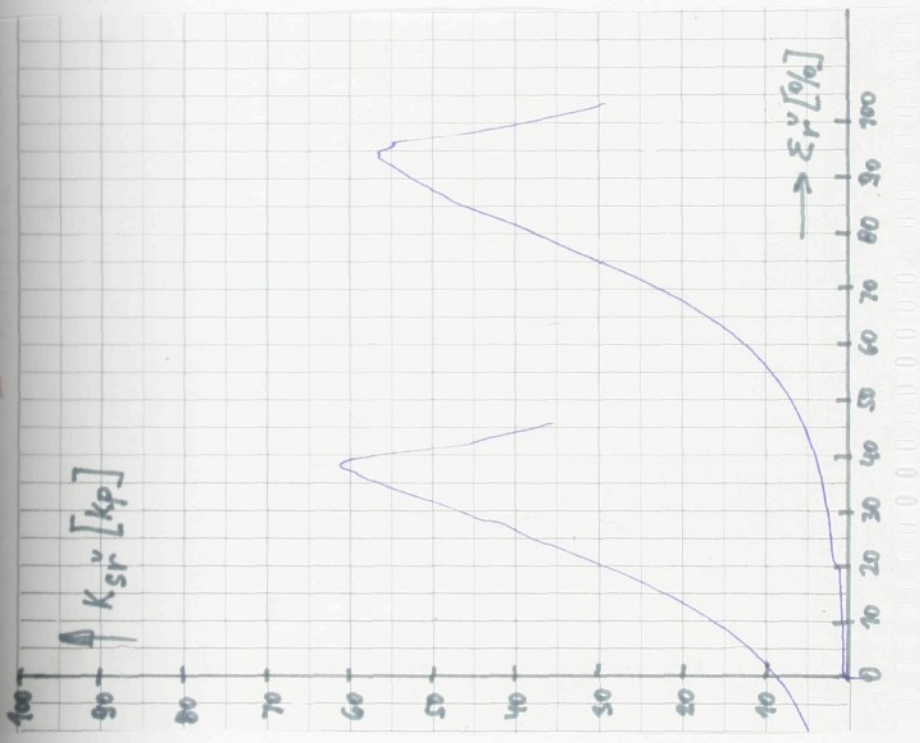
Příloha F - Čist 2



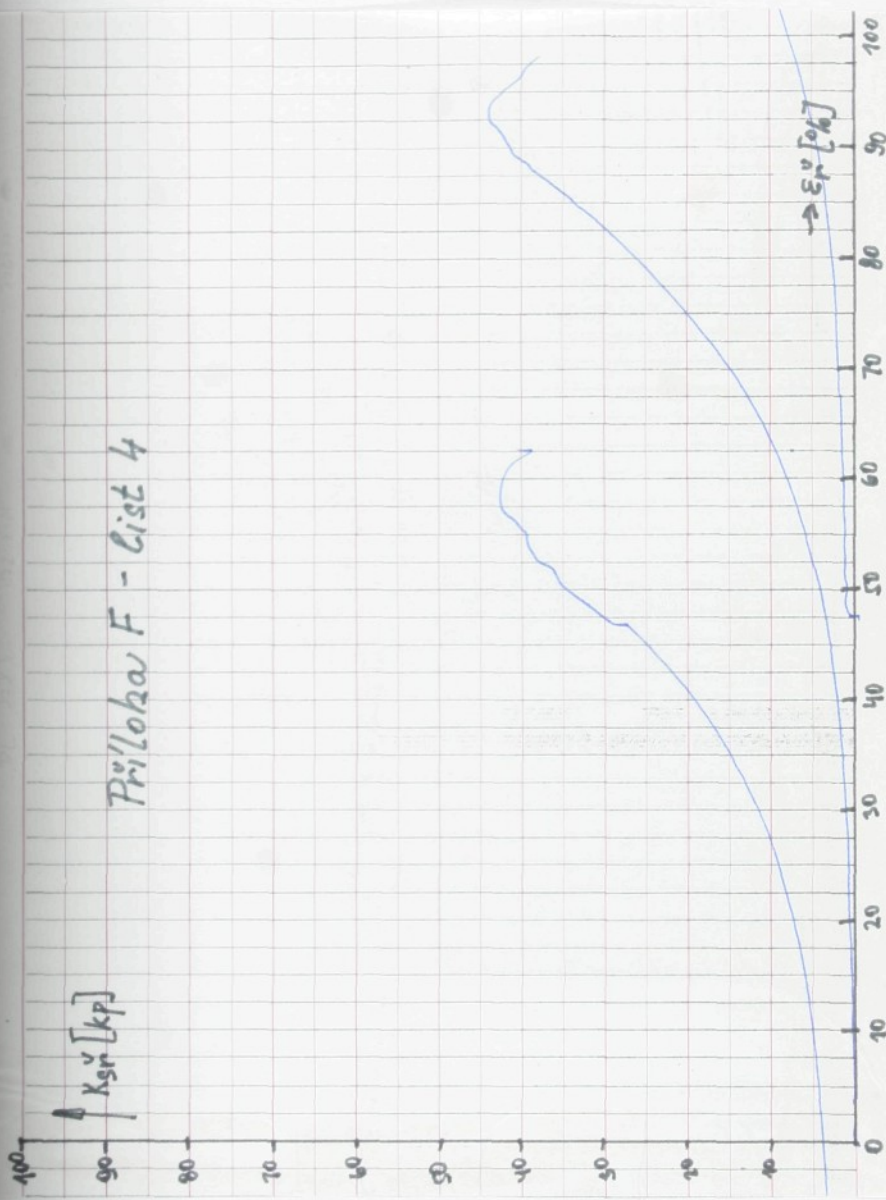


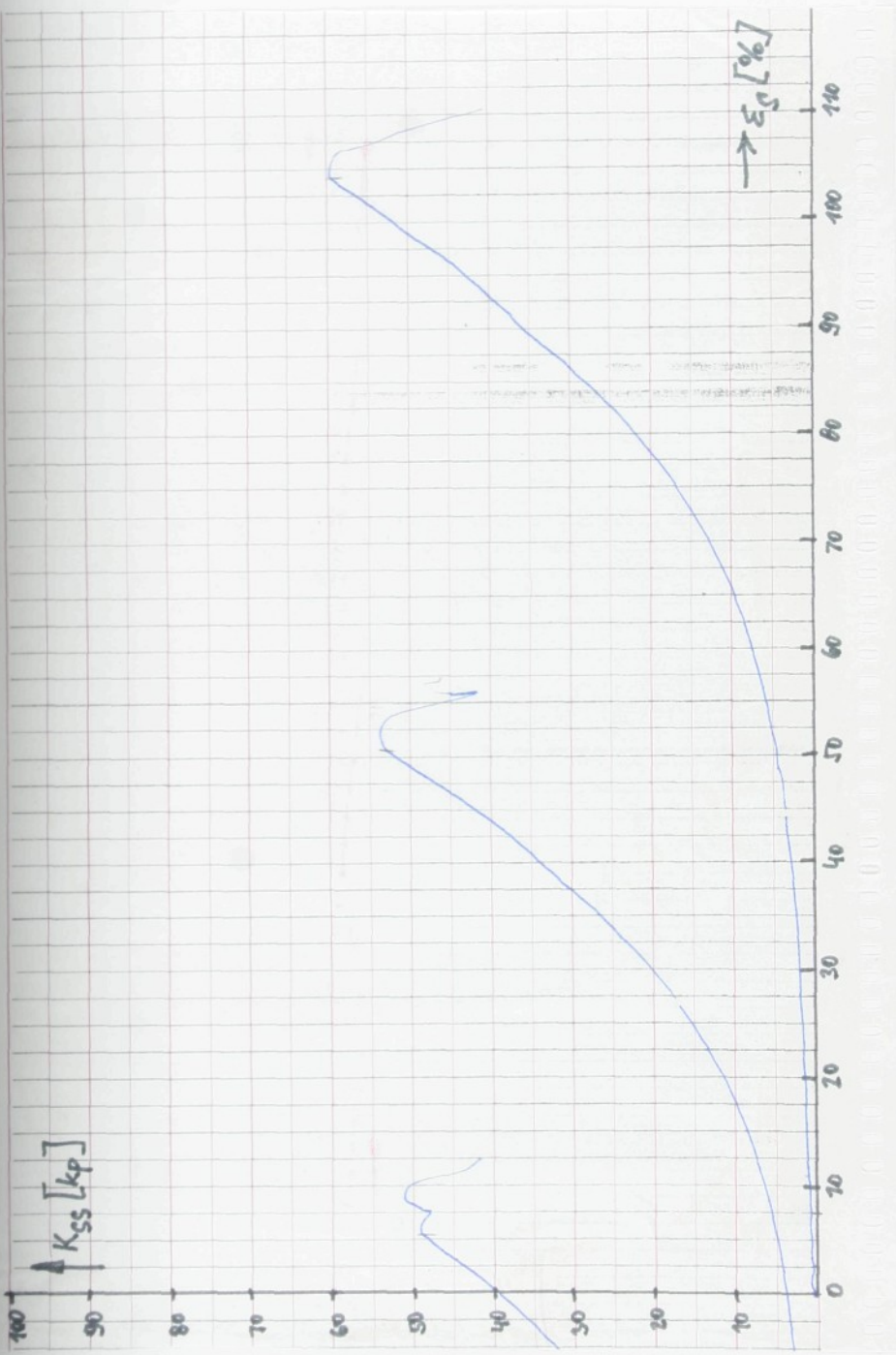
Prüfholm - List 3



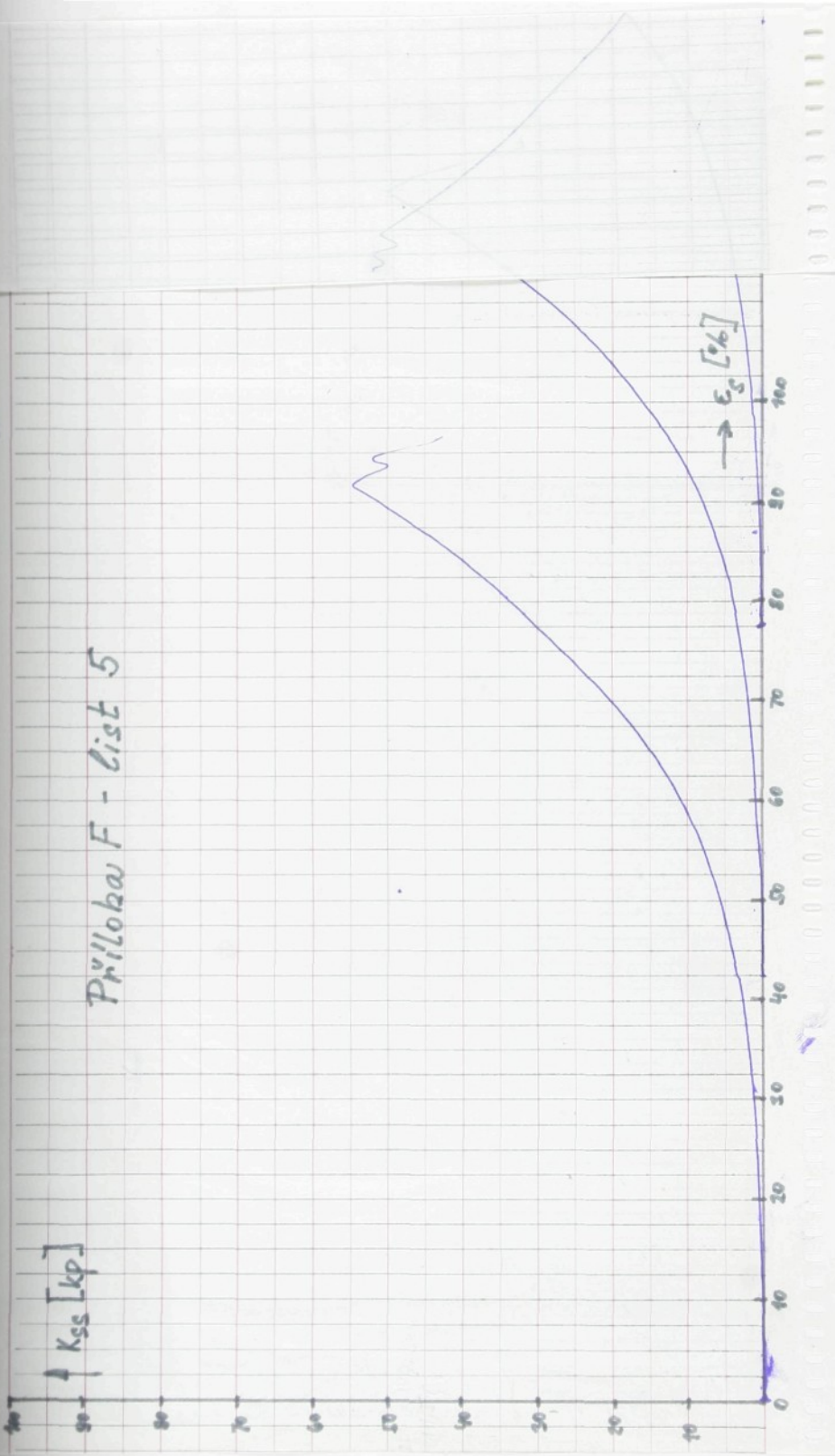


Prüflinie F - List 4

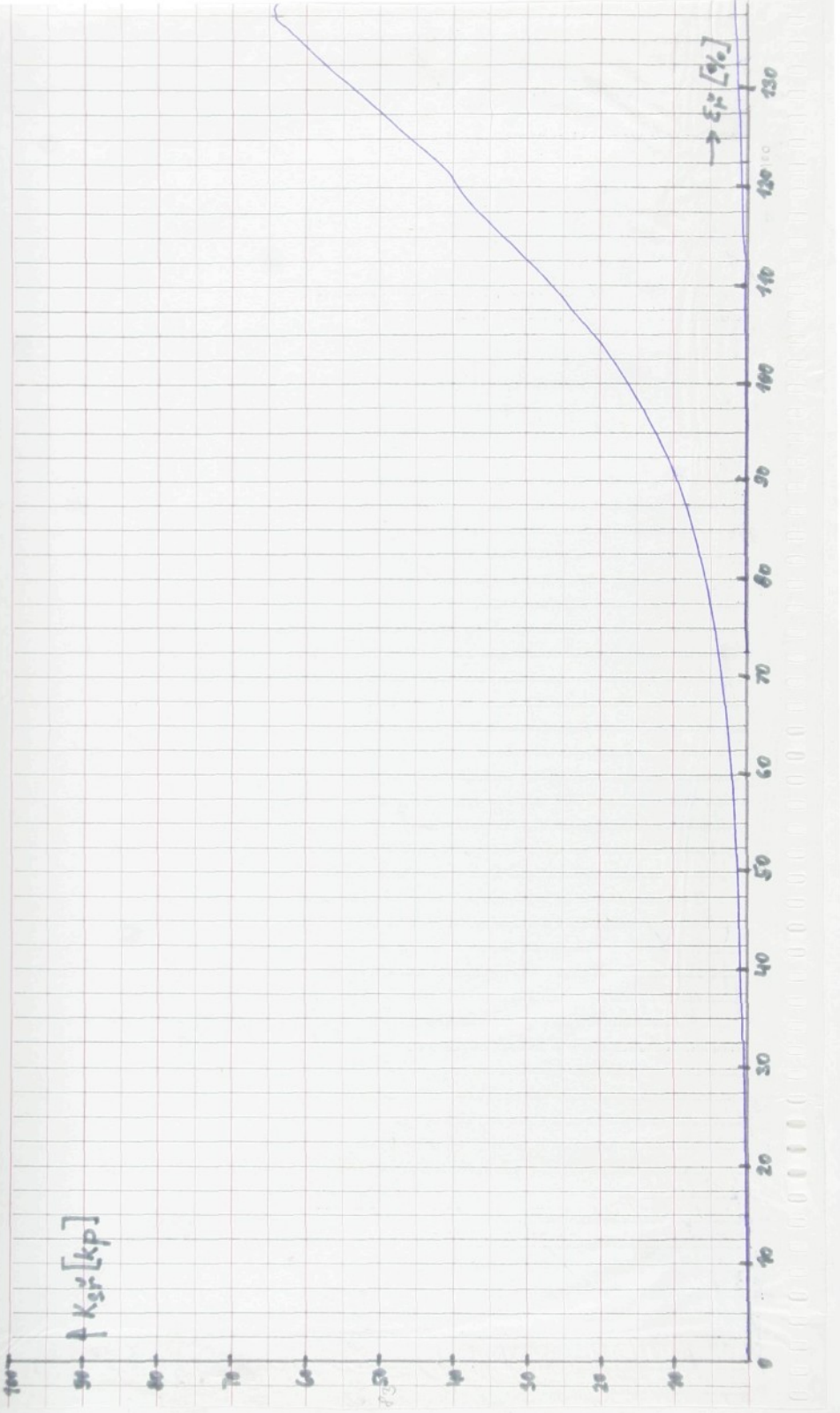


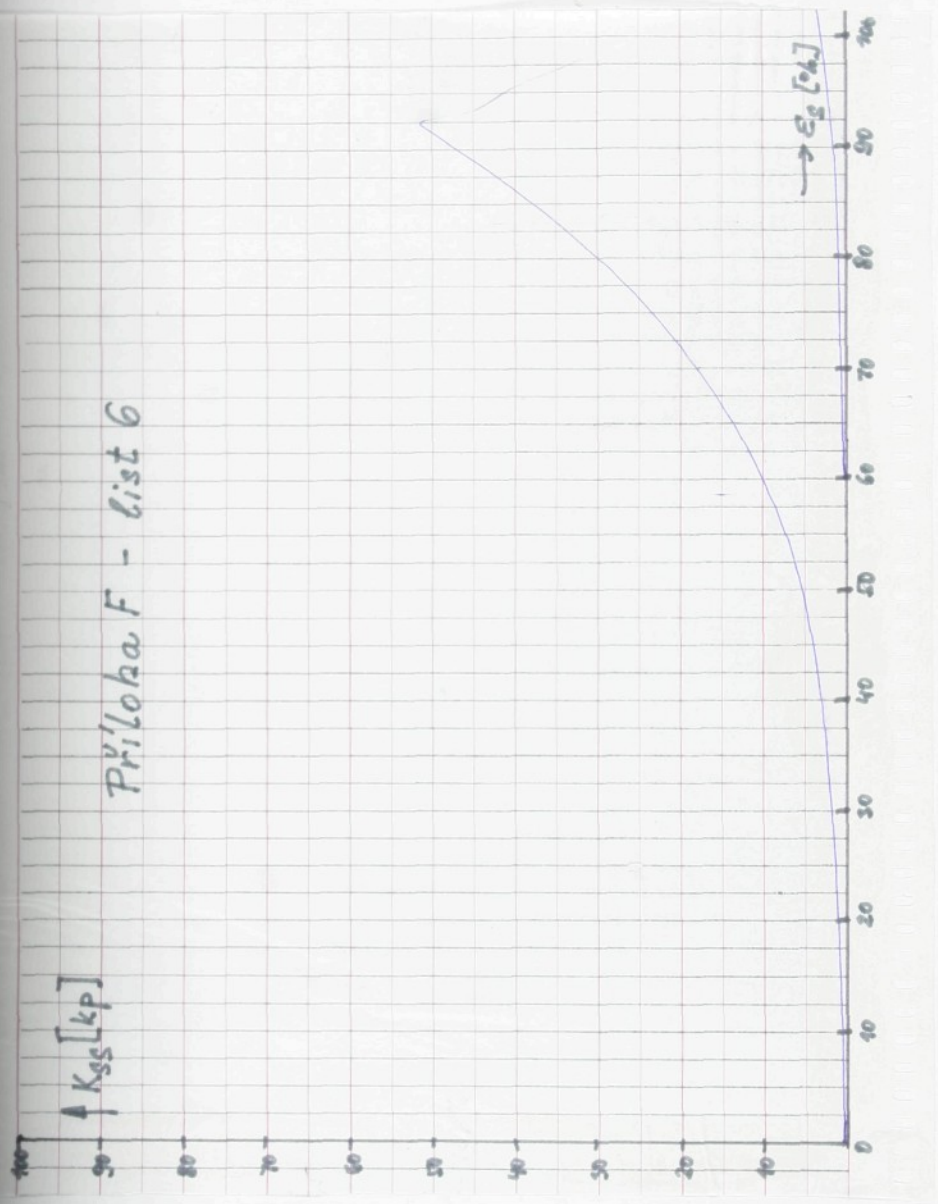


Prüfloku F - List 5

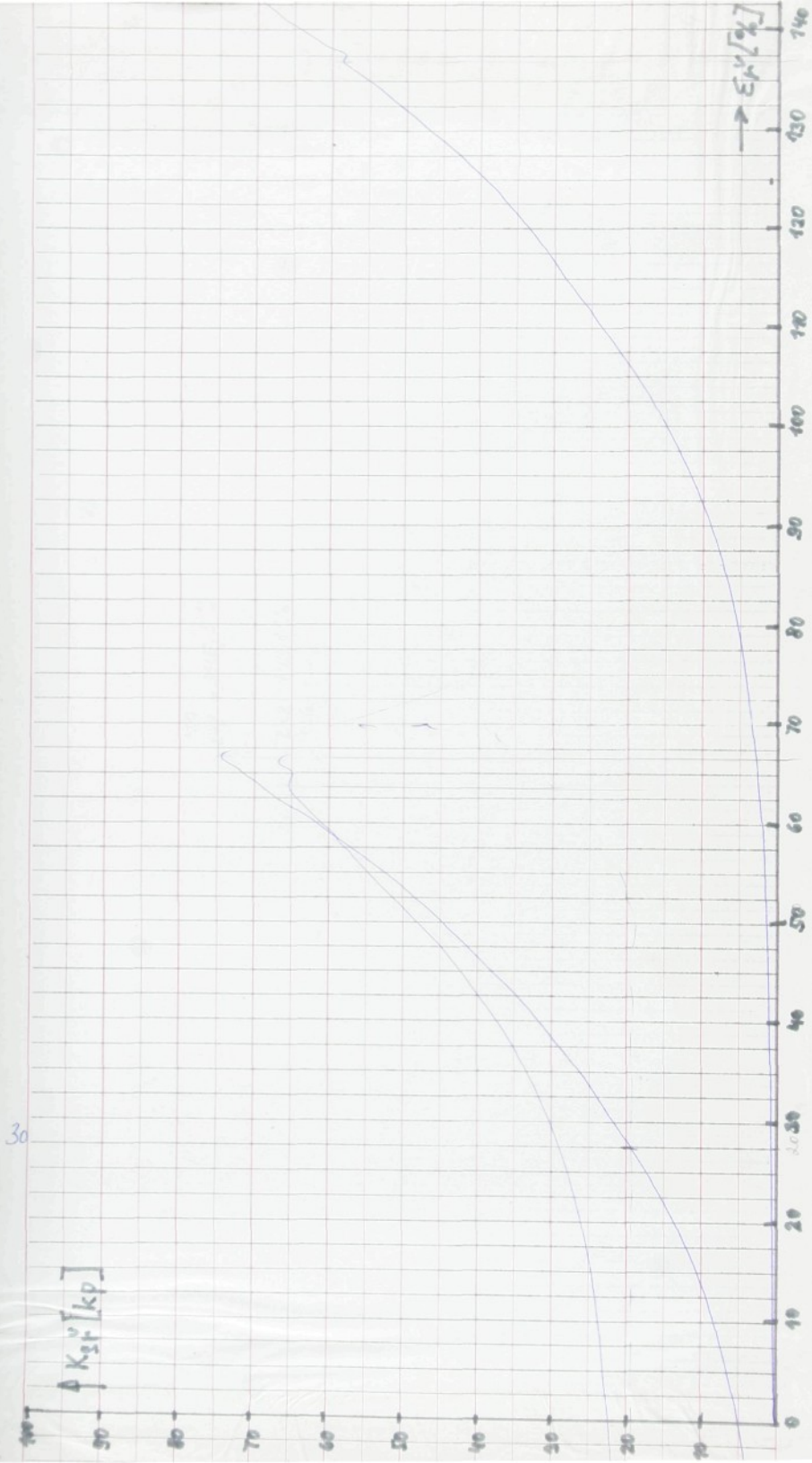


$K_{\text{gr}} [\text{kP}]$



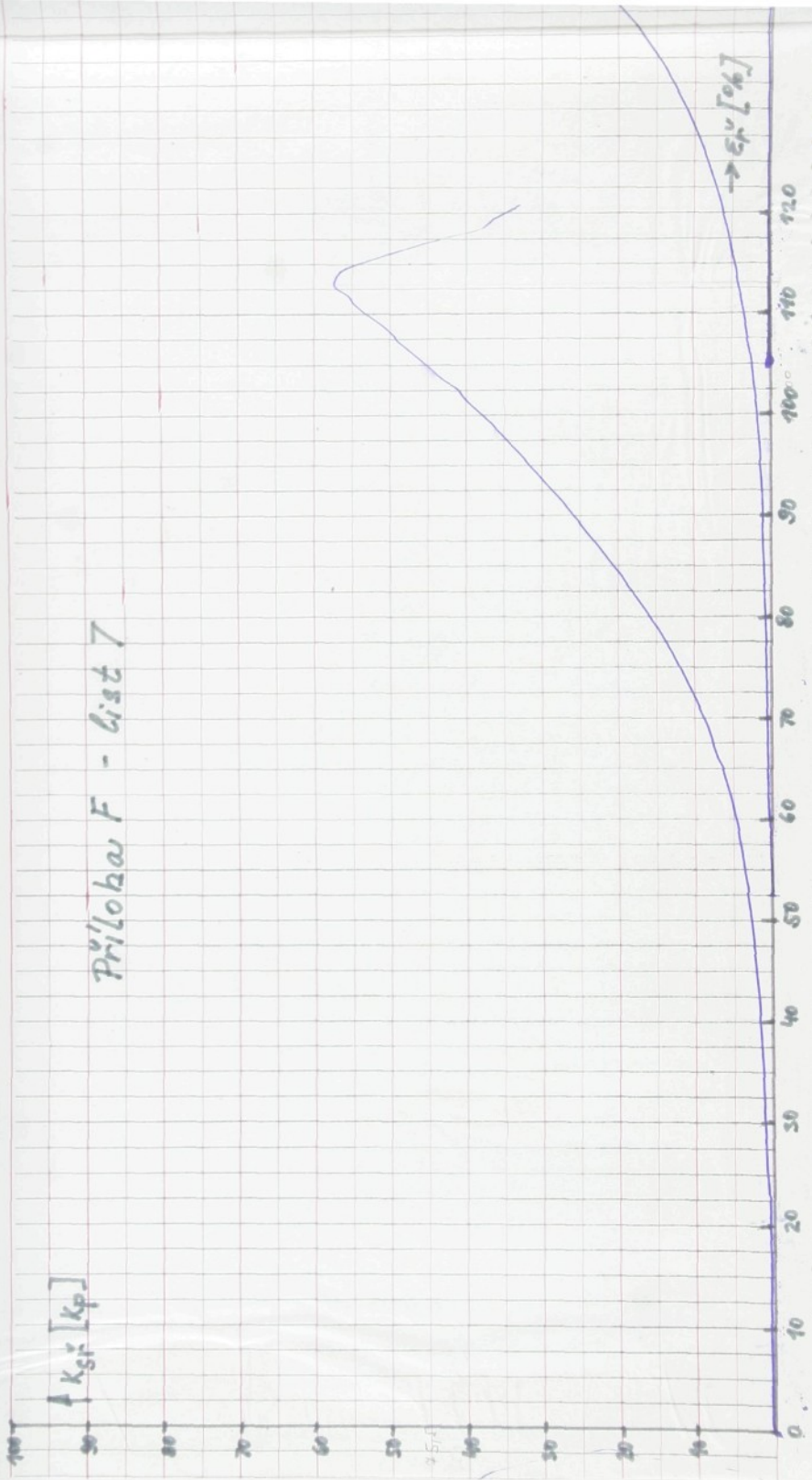


30

 $K_{2r}^{\nu} [kp]$ 

$k_{\text{SP}}^{\nu} [\text{k}_p]$

Prüfobau F - List 7

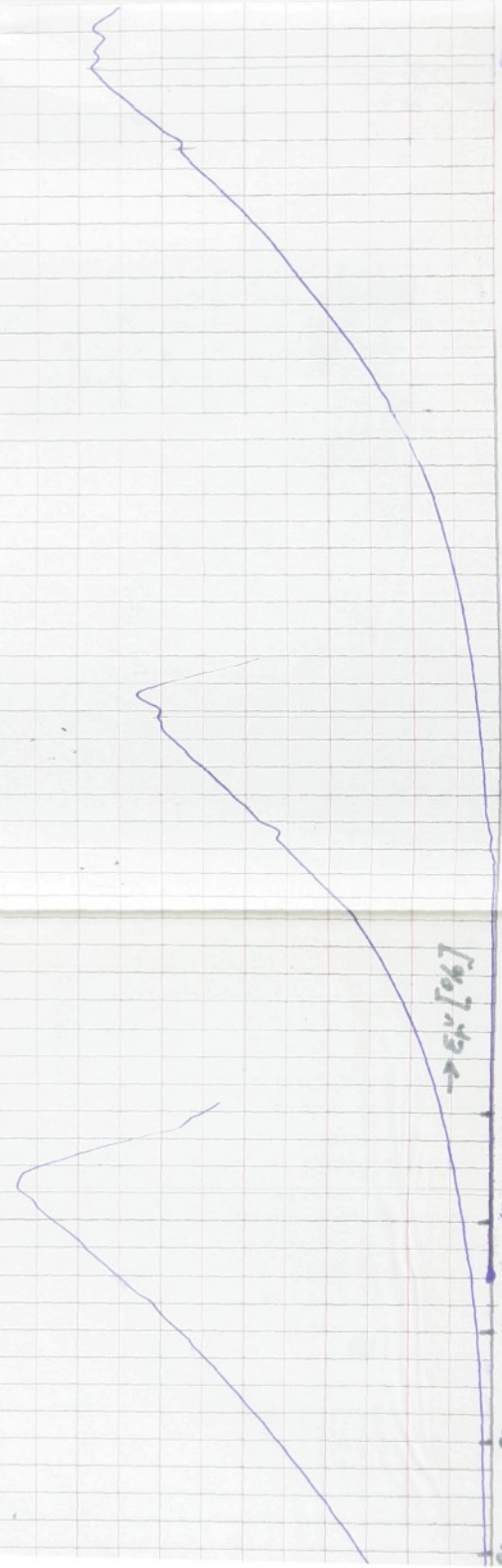


$\rightarrow \varepsilon_{\text{f}} [\%]$

100 110 112 120

90 80

32

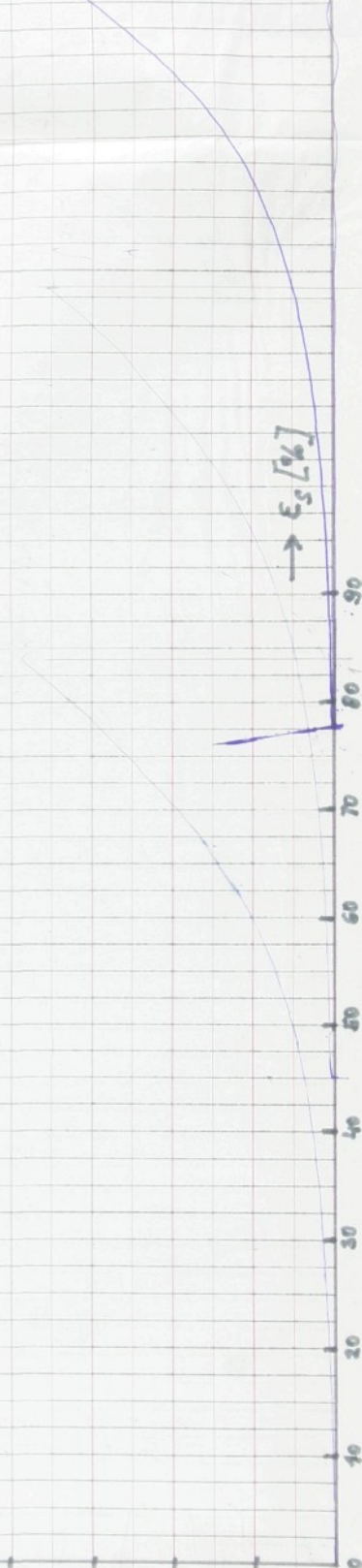


$k_{gg} [k_P]$

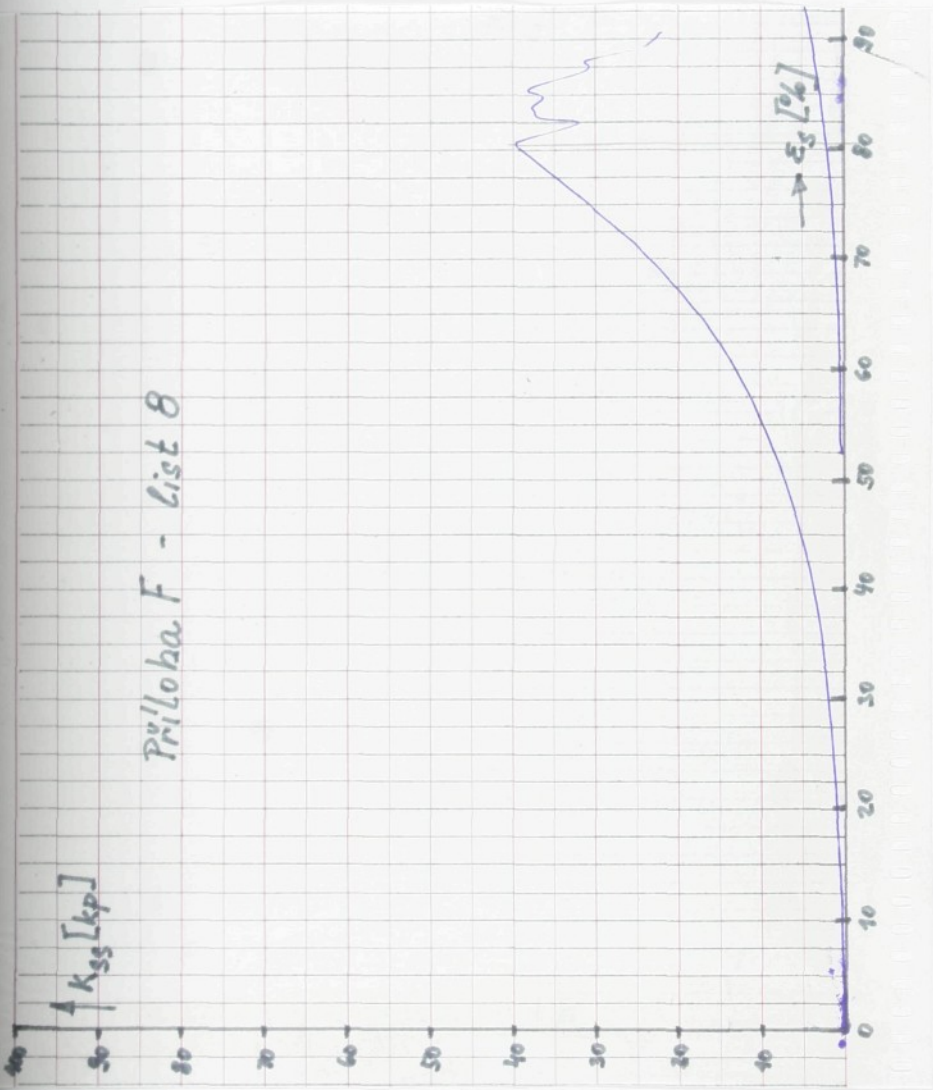
31

$\rightarrow \epsilon_s [\%]$

100
90
80
70
60
50
40
30
20
10
0

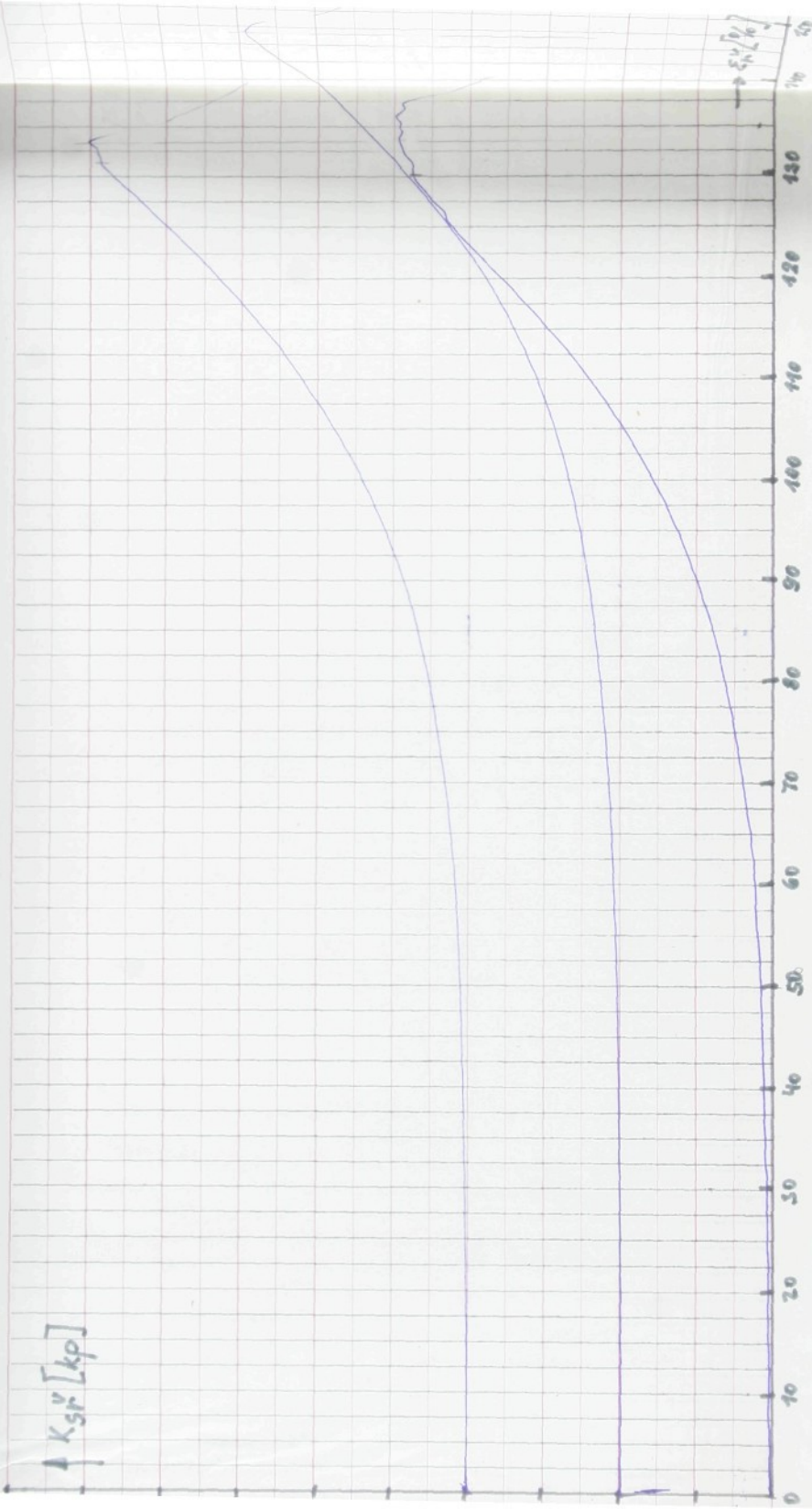


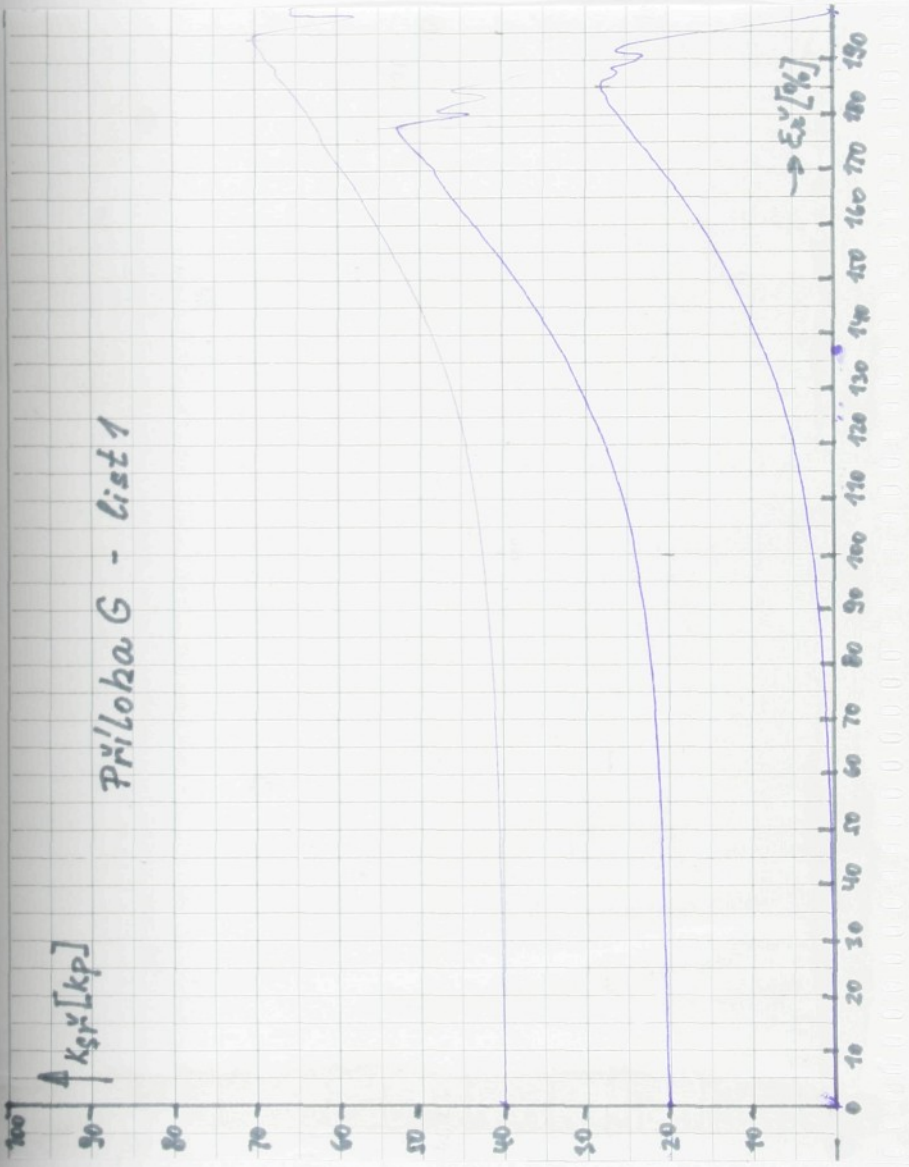
Prüflohn F - list θ

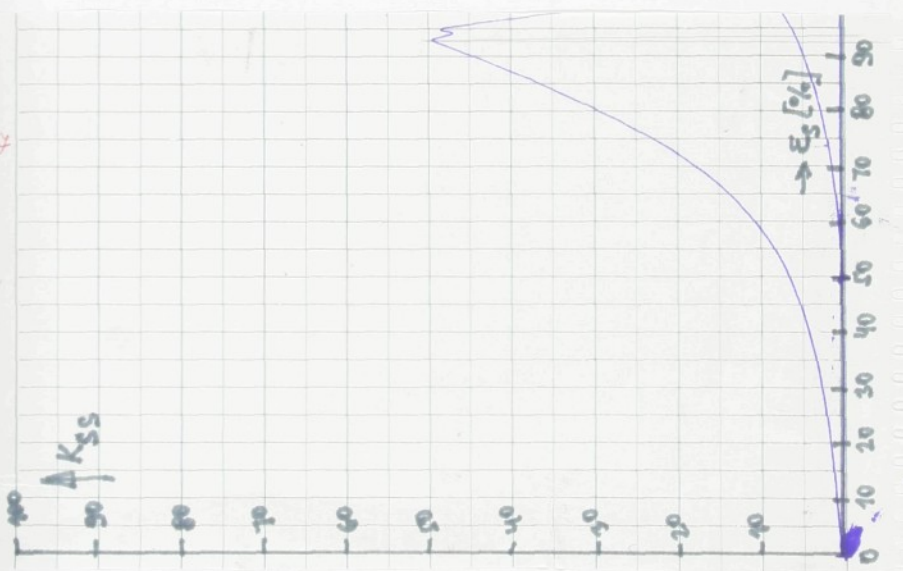


28

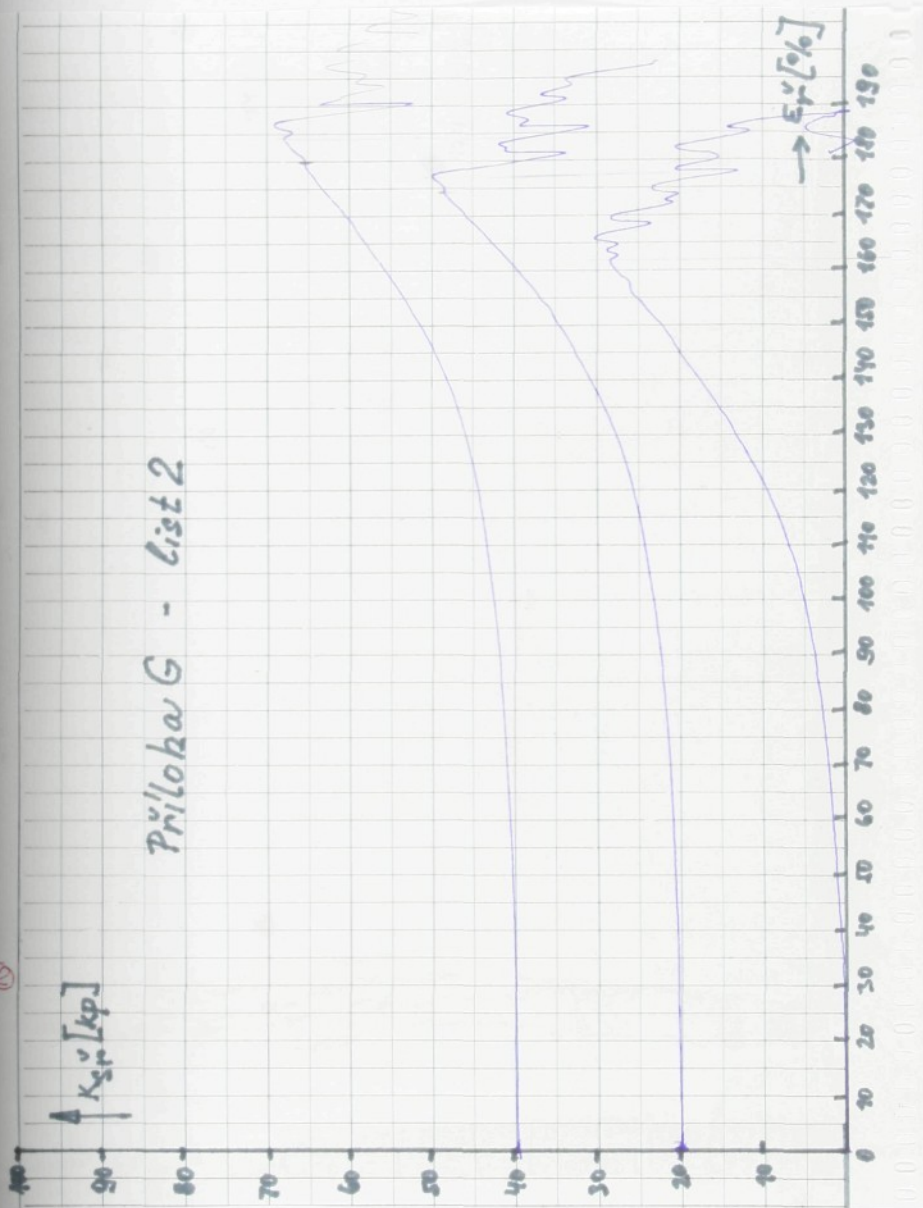
$K_{SP}^V [kp]$

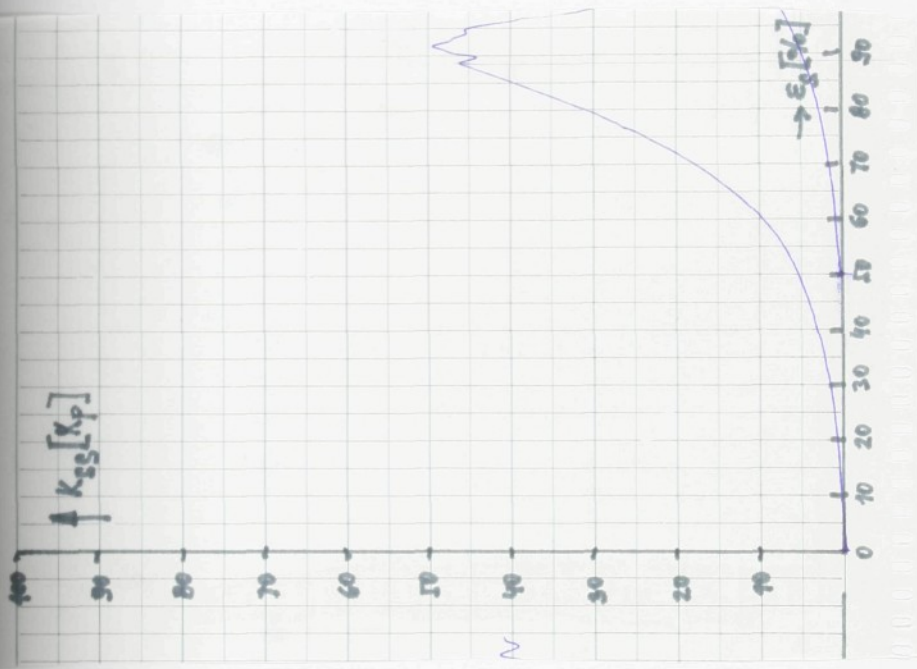


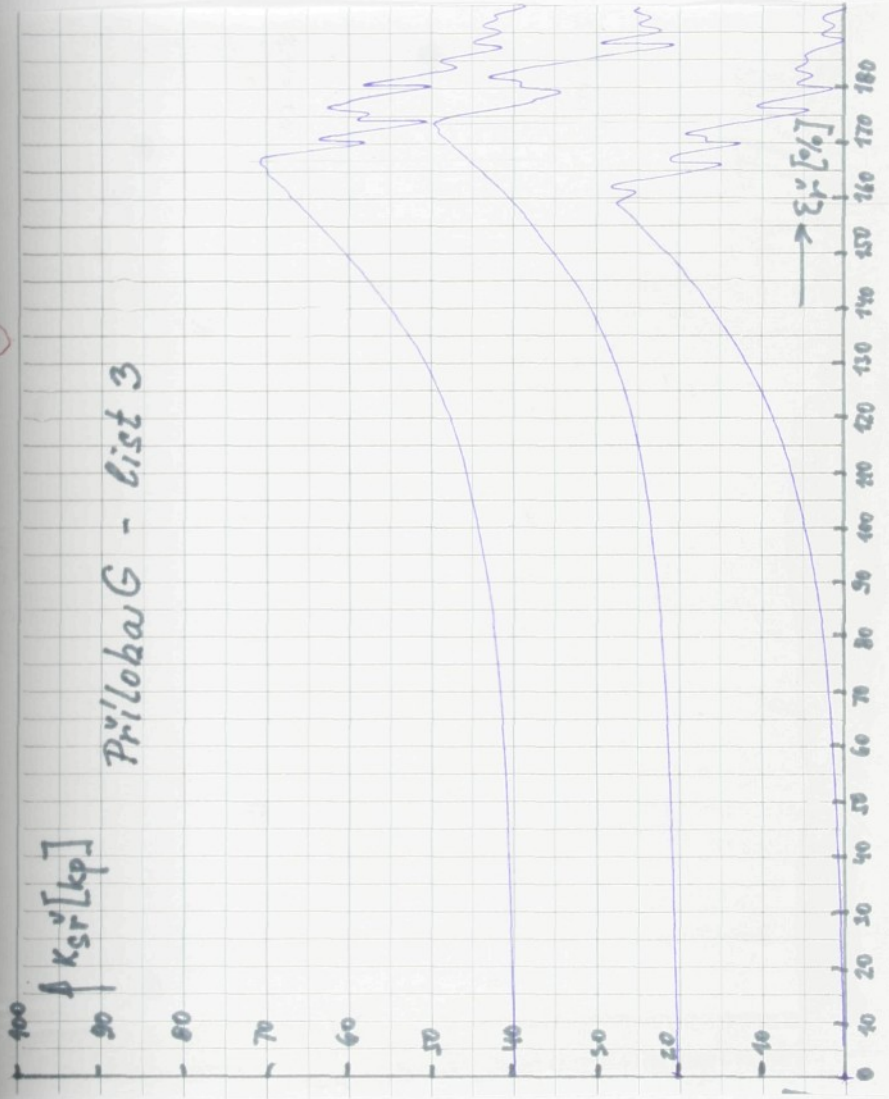


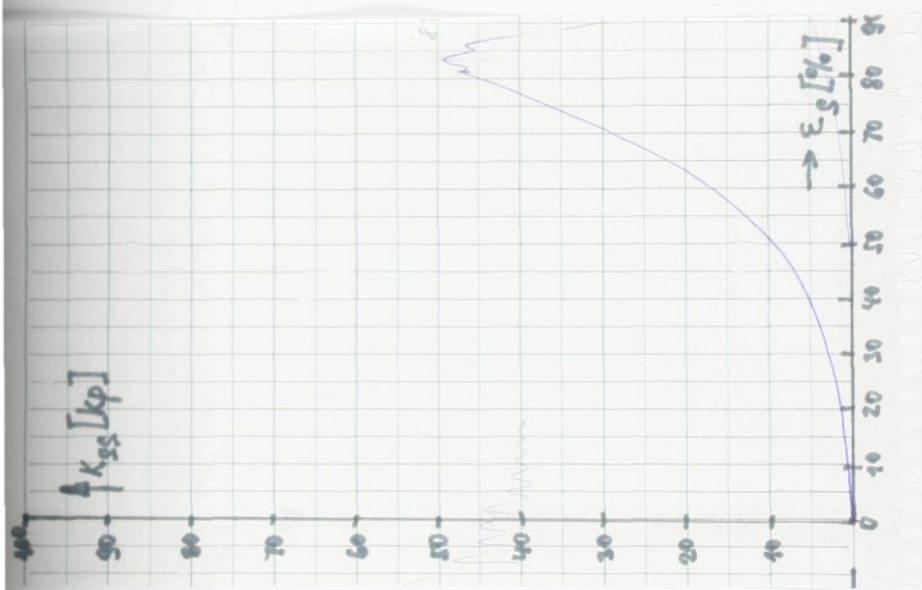


Prüfloch G - List 2



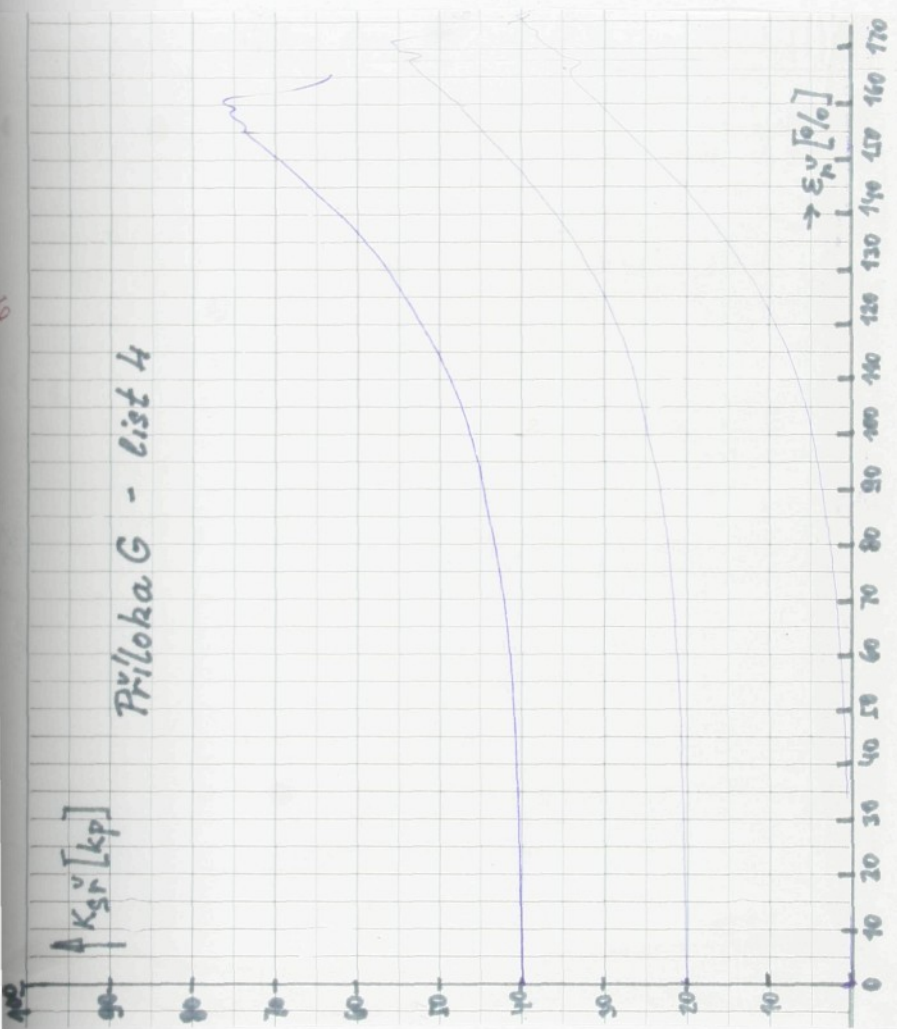


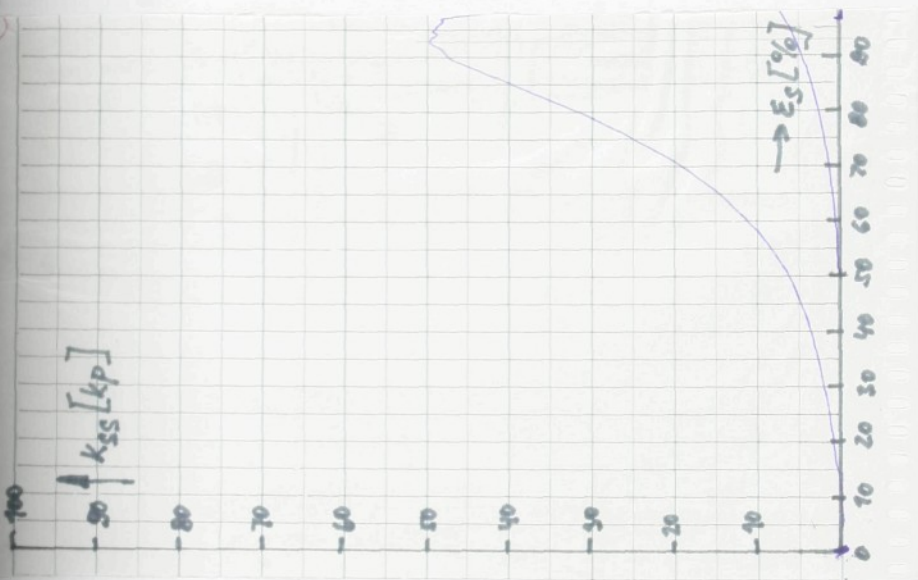




6

Príloha G - list 4





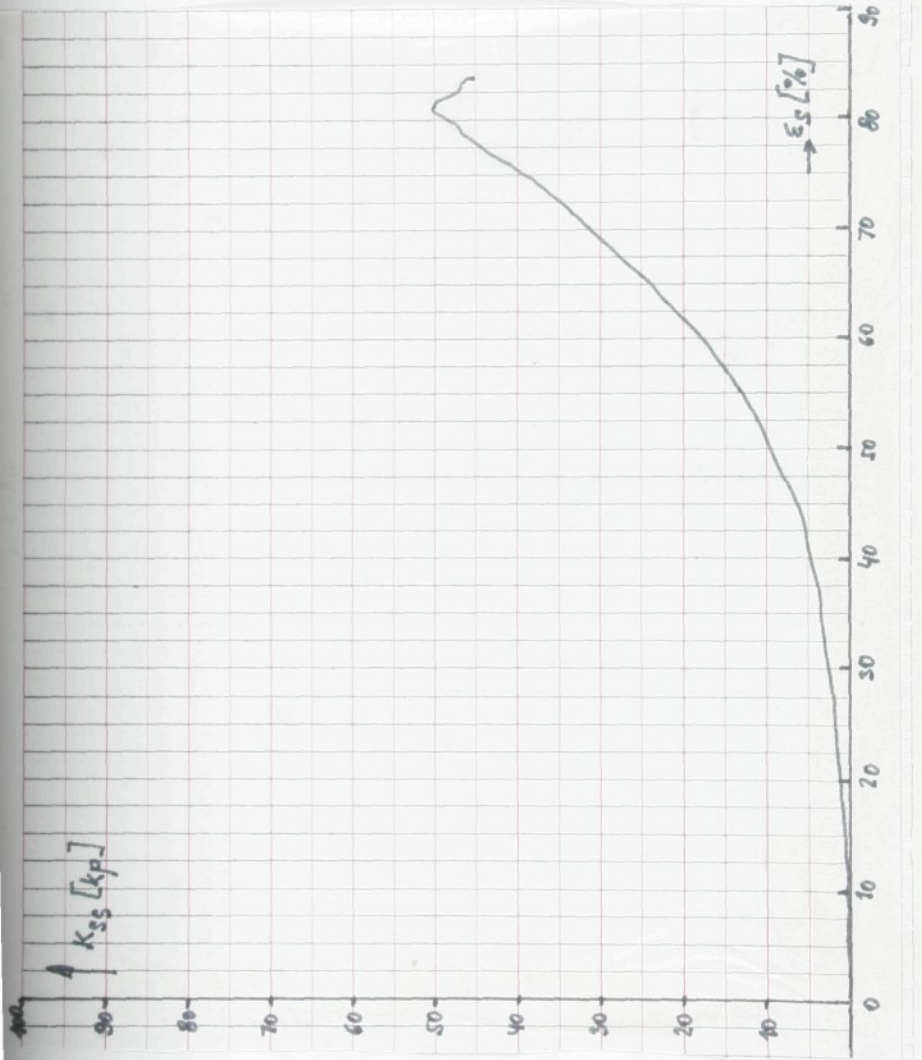
$\Delta K_{S^2} [kp]$

Philohar G - list 5



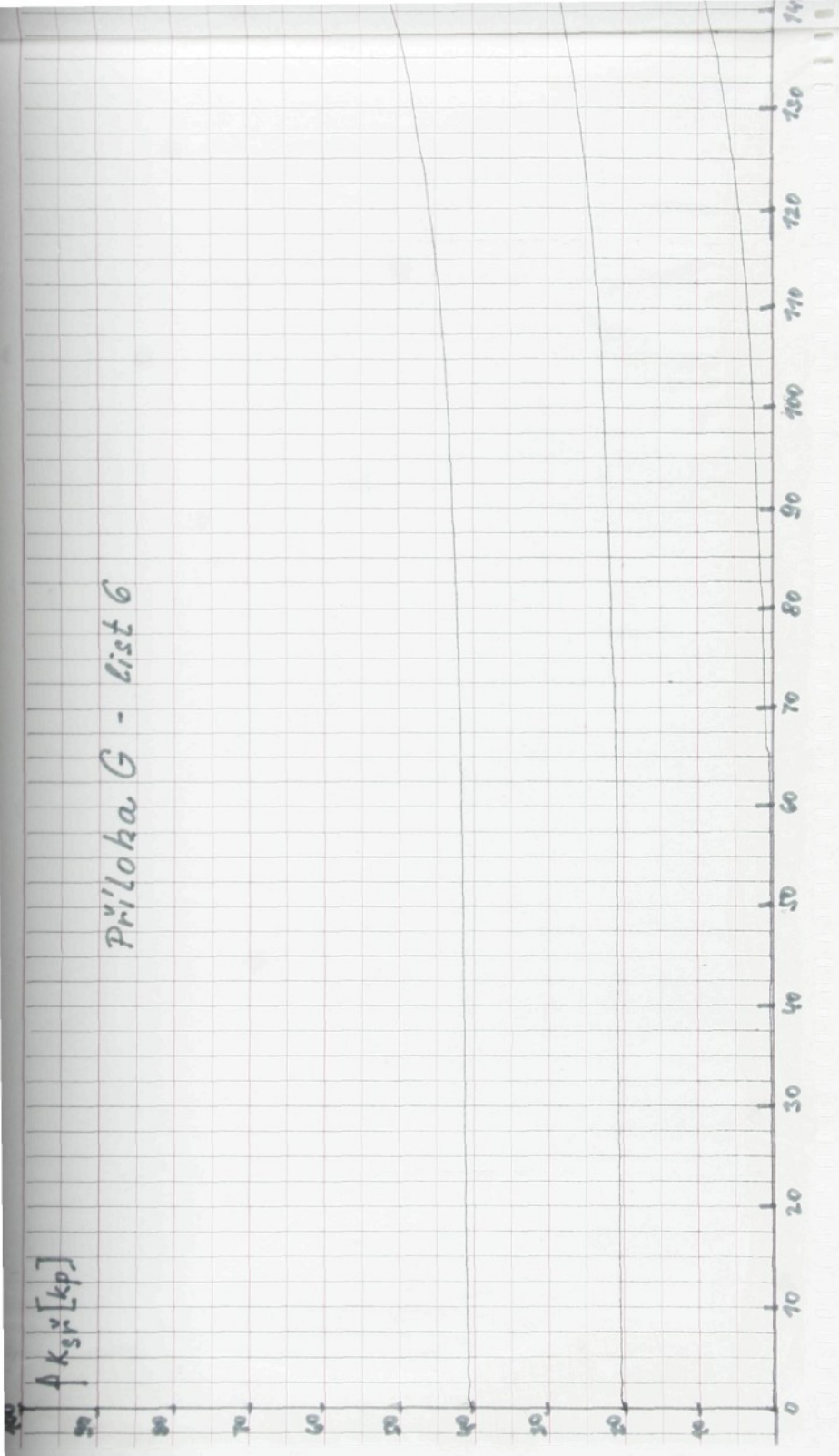
Hiloba G - list 5



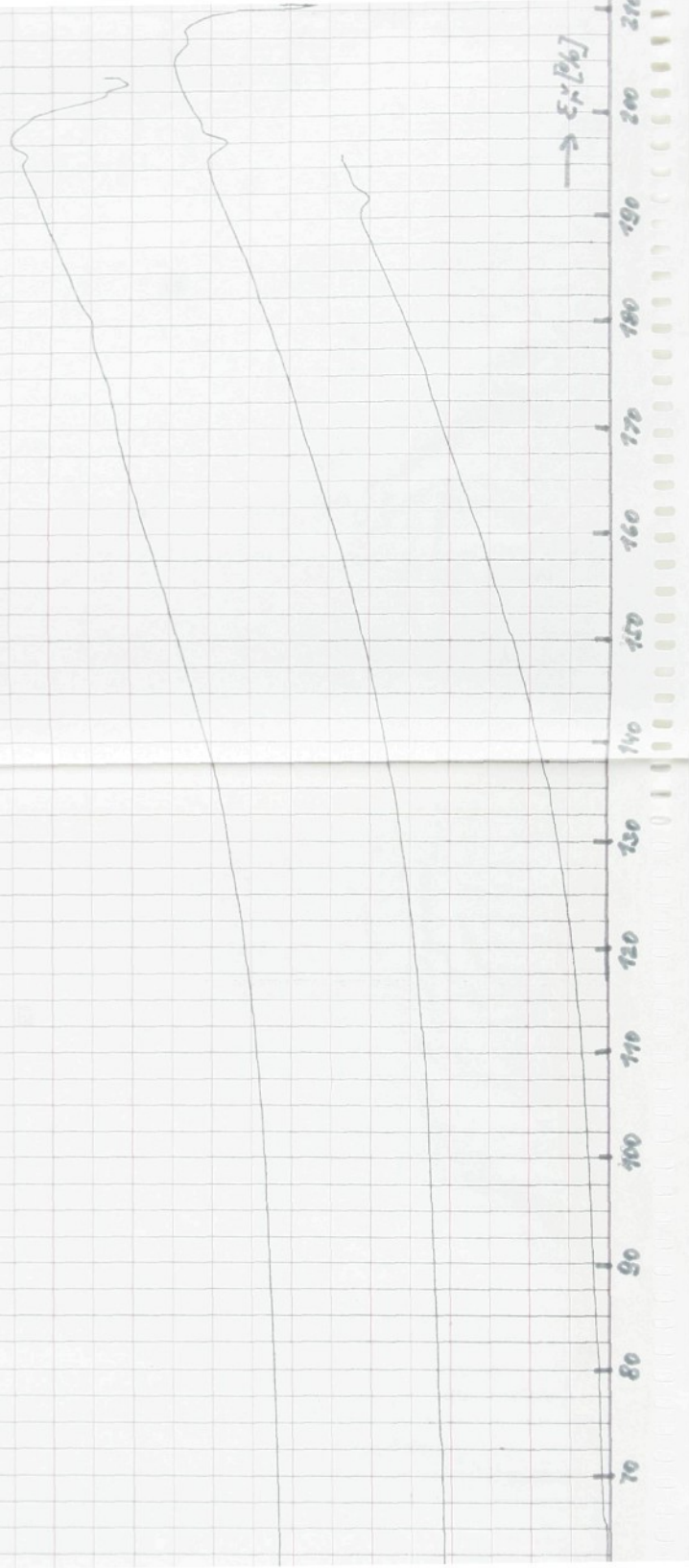


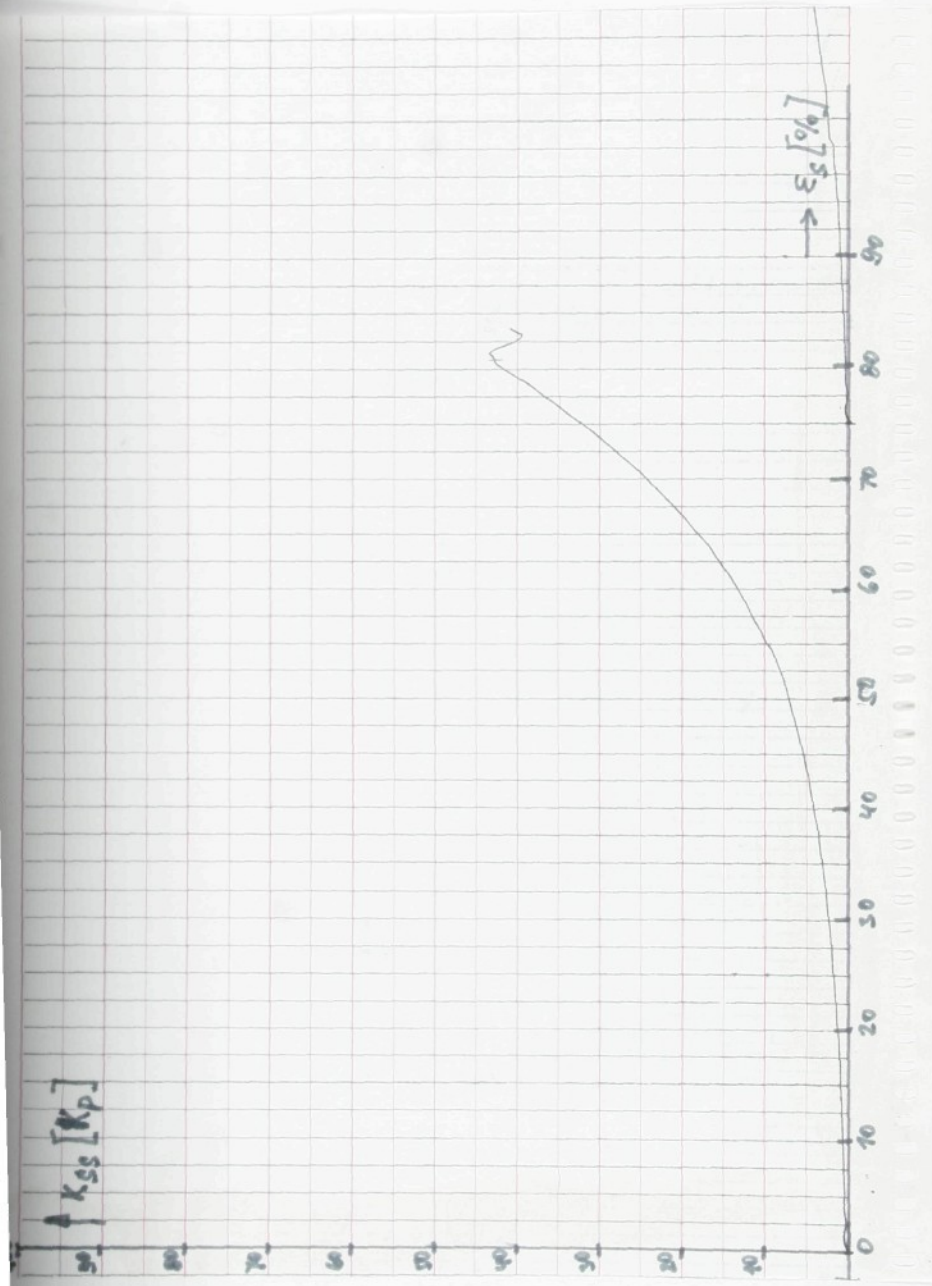
Príloha G - list 6

$k_{sp}^x [kp]$

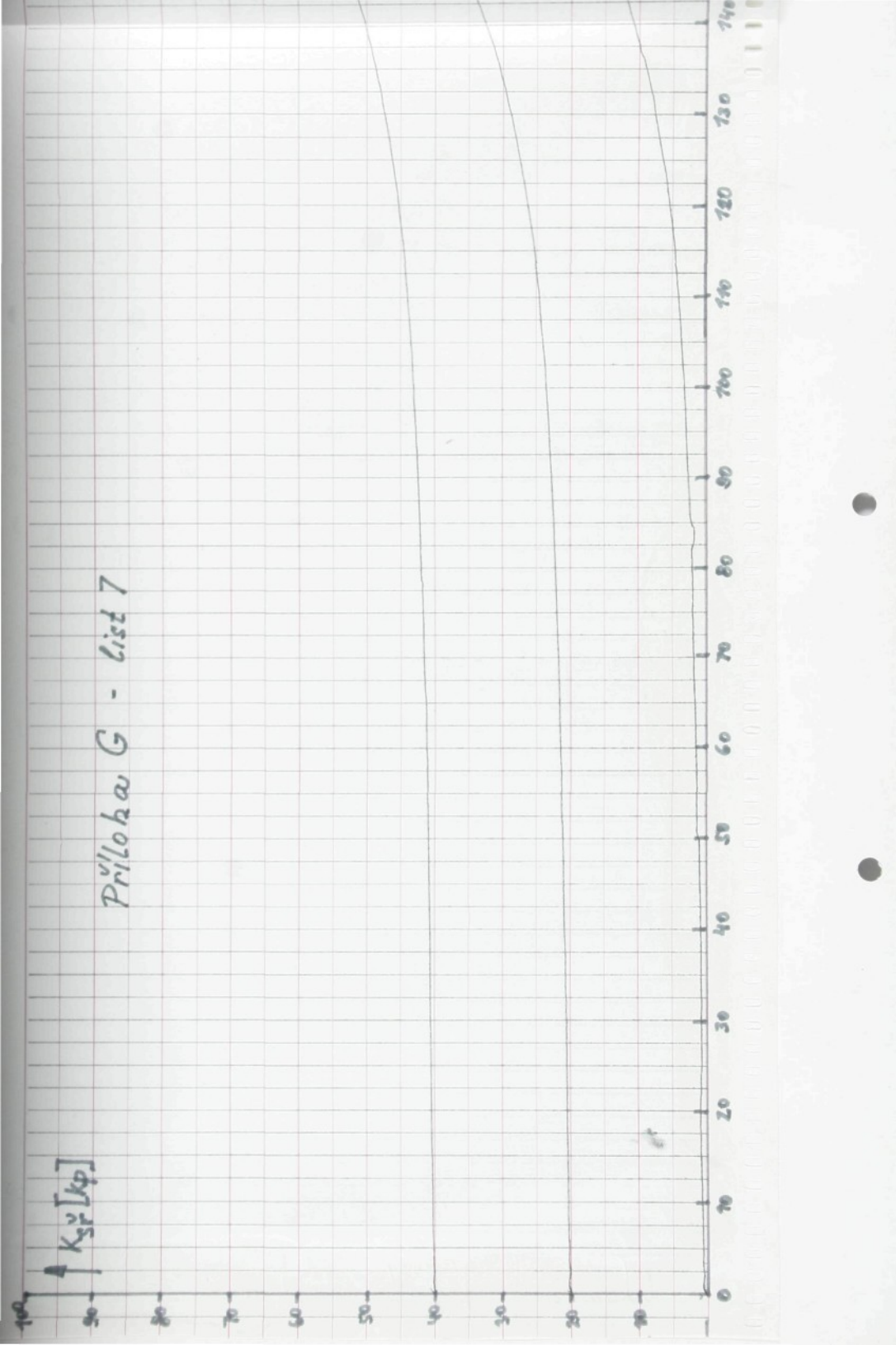


G - List 6

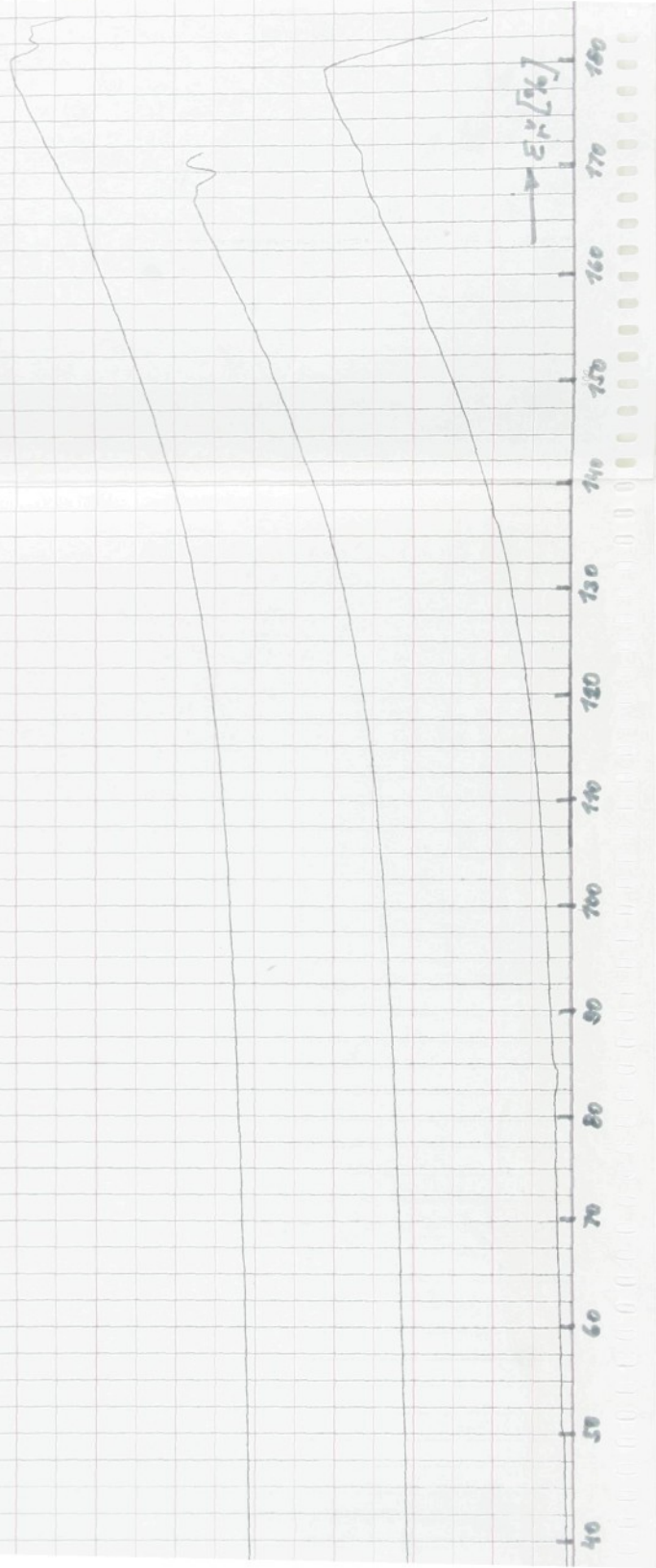


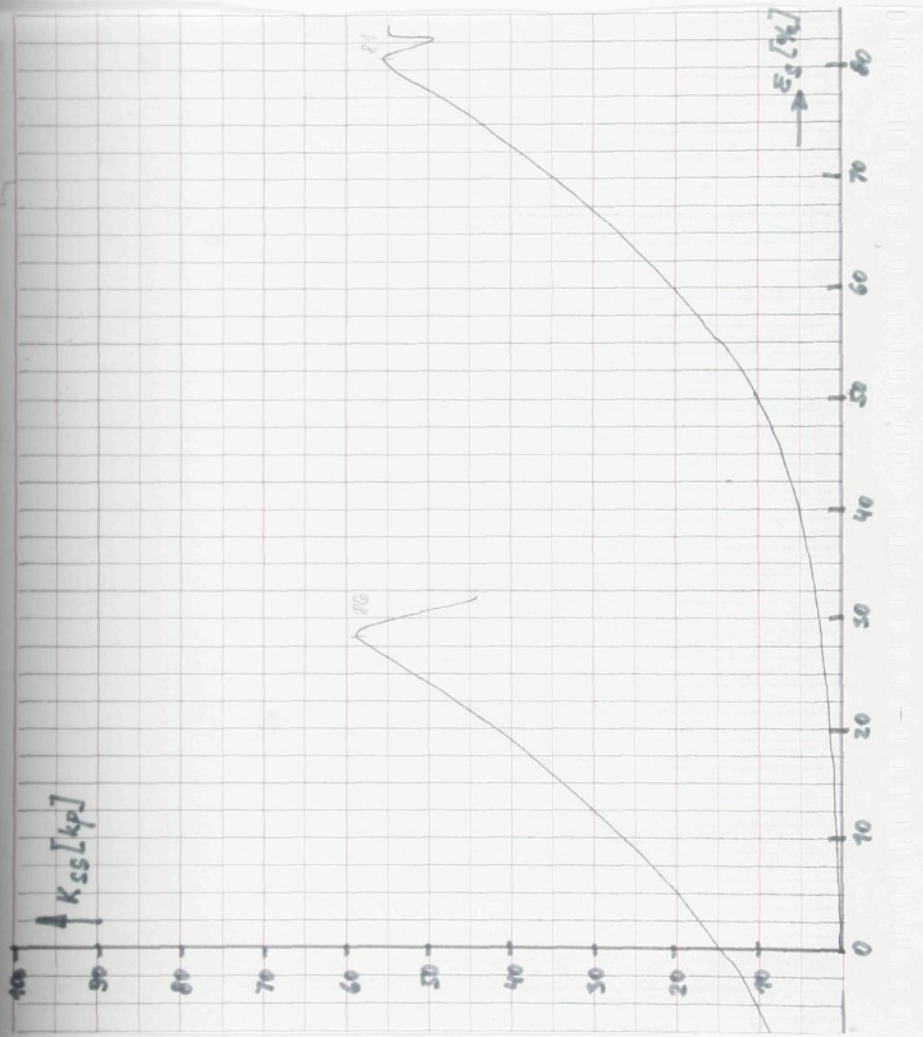


Prüfloch G - List 7

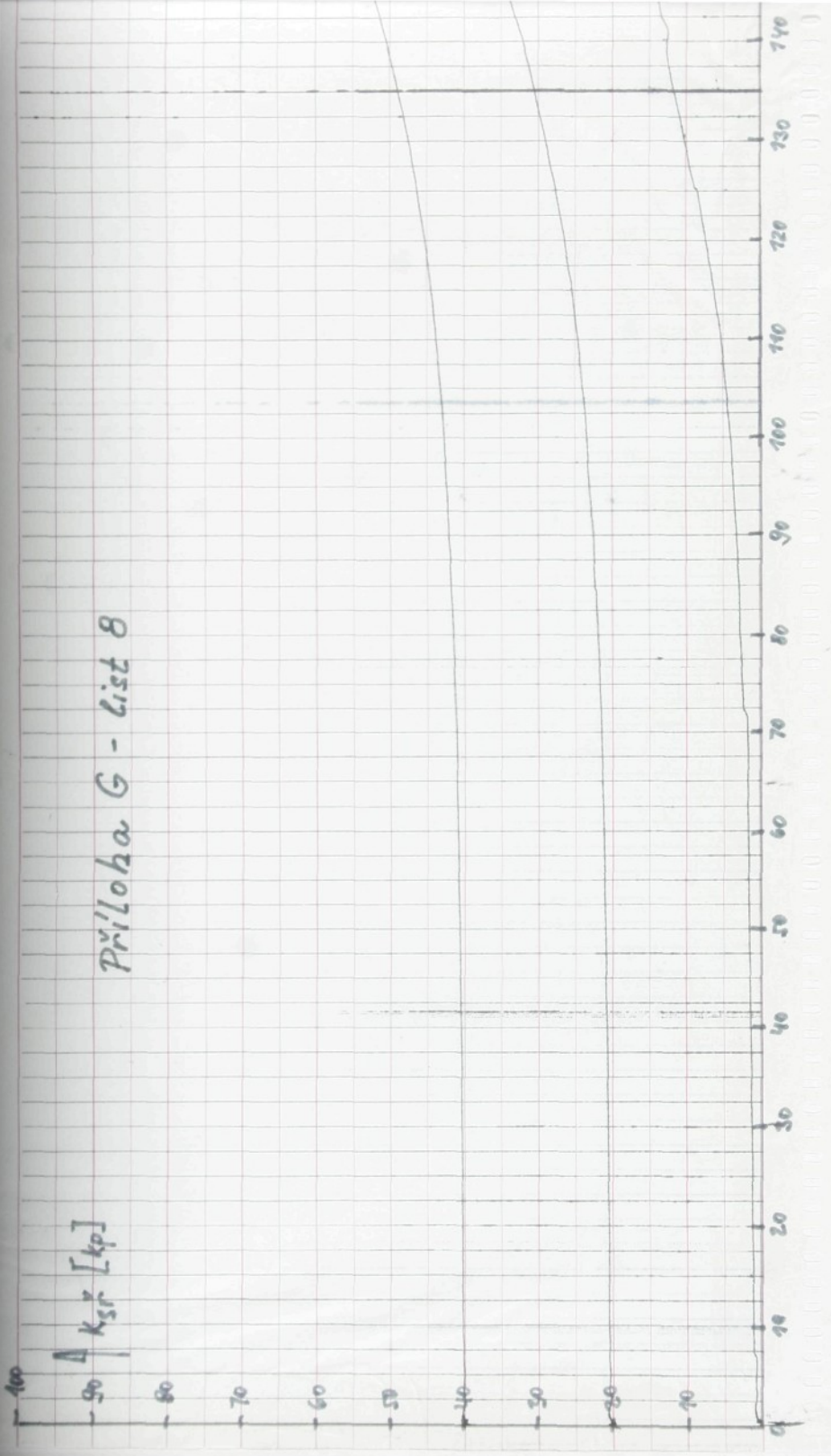


Prüfholz G - List 7

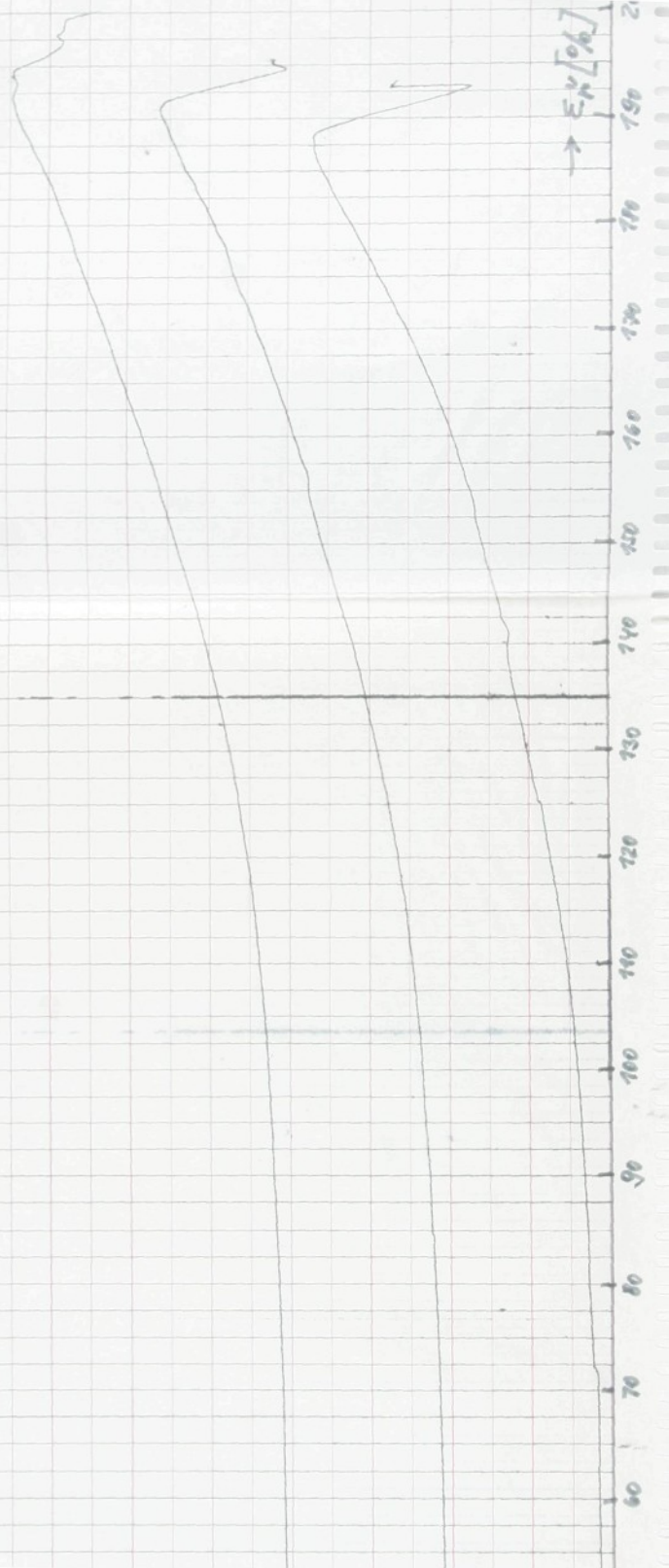




Prv'loha G - list 8



sh a G - list 8



Príloha G - list 8

